

4

การวิเคราะห์เชิงพลศาสตร์ (Dynamic Analysis)

- 4.1 กลวิธีวิเคราะห์
- 4.2 แรงภายใต้ผิวโลก
- 4.3 ชนิดแรง
- 4.4 แรงเค้น
- 4.5 ความสัมพันธ์ระหว่างความเค้นกับความเครียด
- 4.6 สมบัติของหิน
- 4.7 สมบัติแรงเค้นและความเครียดของแผ่นเปลือกโลก

บทที่ 4

การวิเคราะห์เชิงพลศาสตร์ (Dynamic Analysis)

4.1 กลวิธีวิเคราะห์

ความสำคัญอย่างหนึ่งในการศึกษาระบบวิชาโครงสร้างก็คือ การวิเคราะห์เชิงพลศาสตร์ ซึ่งในที่นี้เราให้ความหมายว่าเป็นการวิเคราะห์ปริมาณแรงเค้นที่มีผลต่อการเปลี่ยนแปลงลักษณะของวัตถุ เพื่อบอกถึงที่มาของแรงเค้นและผลของแรงกระทำต่อความแกร่งหรือความแข็งแรงของหิน ดังนั้น การวิเคราะห์เชิงพลศาสตร์จึงเน้นถึง **“แรงที่มากระทำจนทำให้วัตถุเปลี่ยนแปลงลักษณะและความแข็งแรงของหินที่จะต่อต้านการเปลี่ยนแปลงลักษณะ”** ในที่นี้แรง(force) มีหลายรูปแบบ เช่น แรงที่ทำให้วัตถุเคลื่อนที่หรือหยุดนิ่ง แรงที่ทำให้วัตถุเปลี่ยนมุมไป หรือเปลี่ยนรูปร่างไป ในความเป็นจริงแล้วเรารู้จักคุ้นเคยกับแรงมาตั้งแต่เด็กๆ ด้วยกันทุกคน การที่เราต้องการทำให้วัตถุเคลื่อนที่ เราต้องออกแรงยกหรือถ้าเราปล่อยวัตถุจากที่สูงให้ตกลงสู่พื้นก็เป็นผลจากแรงดึงดูดของโลก(gravitational force) ความเค้นอย่างหนึ่งที่เราเคยพบเห็นมา ก็คือถ้าเราใช้แรงเท่าๆ กันกระทำต่อวัตถุในสถานะเดียวกัน (เช่น เป็นของแข็งเหมือนกัน) และมีขนาดเท่ากัน แต่ผลที่ได้อาจไม่เหมือนกันเสมอไป เช่น เราใช้หนังสือตีกันเดียวกัน แต่ใช้ลูกยิงแตกต่างกัน ลูกหนึ่งเป็นก้อนดิน อีกลูกเป็นก้อนหินที่ขนาดเท่ากัน เราจะพบว่าก้อนดินเหนียว ซึ่งเบากว่าก้อนหิน ยิ่งไปได้ไกลกว่าที่เป็น เช่นนี้เพราะก้อนดินเบากว่า จึงเคลื่อนที่ไปได้ไกลกว่า ซึ่งในเรื่องของแรงมีกฎสำคัญเกี่ยวกับแรงอยู่ 3 กฎด้วยกัน และเป็นที่รู้จักกันดีว่า “กฎ 3 ข้อ ของนิวตัน” (Newton’s laws of motion) กฎดังกล่าวเป็นผลมาจากความช่างสังเกตของเซอร์ไอแซค นิวตัน(Isac Newton) เพื่อหาทางตอบคำถามที่ว่าทำไมผลแอปเปิลจึงหล่นสู่พื้นดินได้ โดยไม่ลอยไปในอากาศ ในทางธรณีวิทยา โครงสร้างจึงอาจกล่าวได้ว่ากฎการเคลื่อนที่ของนิวตันมีความสัมพันธ์โดยตรงกับการวิเคราะห์เชิงพลศาสตร์ ปี พ.ศ. 2228 เซอร์ไอแซค นิวตัน ได้ตั้งกฎการเคลื่อนที่ไว้ 3 กฎ ในหนังสือของเขาชื่อ Principia ซึ่งได้แก่

กฎข้อที่ 1 กล่าวว่า “วัตถุจะอยู่ในสภาพหยุดนิ่งหรือเคลื่อนที่ด้วยความเร็วคงที่ตลอดไปโดยไม่มี ความเร่ง (acceleration, a) ถ้าไม่มีแรงภายนอกมากระทำกับวัตถุนั้น” ซึ่งบอกให้เราทราบว่า มีเพียงแรงเพียงอย่างเดียวที่จะเปลี่ยนแปลงลักษณะของวัตถุทุกชนิดได้

กฎข้อที่ 2 กล่าวว่า “ความเร่ง (a) ของวัตถุหรืออัตราการเปลี่ยนแปลงโมเมนตัมเป็นปฏิภาคโดยตรง กับแรงภายนอก (F) ที่มากระทำต่อวัตถุ โดยมีทิศทางเดียวกัน แต่จะเป็นปฏิภาคผกผันกับมวล (mass, m) ของวัตถุ” โดยมีที่มาของสมการ 4.1 ดังนี้

$$a \propto F, a \propto 1/m \text{ หรือ } a \propto F/m \text{ หรือ } F \propto am$$

$$\text{นั่นคือ } F = kam \quad (4.1)$$

เมื่อ k คือค่าคงที่และในหน่วยของ SI ค่า $k=1$ เราจึงทราบกันในรูปของสมการ 4.2

$$F=ma \quad (4.2)$$

กฎข้อที่ 3 กล่าวว่า “แรงกระทำย่อมมีขนาดเท่ากับแรงต้านการกระทำ (หรือแรงปฏิกิริยา) แต่มีทิศตรงข้ามกันเสมอ”

สรุปกล่าวอย่างง่ายก็คือ กฎข้อ 1 ของนิวตัน กล่าวถึงการเคลื่อนที่ของวัตถุเมื่อไม่มีแรงกระทำ กฎข้อ 2 กล่าวถึงการเคลื่อนที่เมื่อมีแรงกระทำ และกฎข้อ 3 กล่าวถึงแรงกระทำระหว่างมวลวัตถุ (mass) และน้ำหนักวัตถุ (weight, W)

มวล (mass) ของวัตถุ คือปริมาณเนื้อสารที่อยู่ในวัตถุ ซึ่งมีหน่วยเป็นกิโลกรัม สำหรับหน่วย SI โดยที่มวลคือผลคูณระหว่างความหนาแน่น (density, ρ) กับปริมาตรวัตถุ (Volume, V) ดังสมการ 4.3

$$m=\rho V \quad (4.3)$$

กำหนดให้น้ำหนักวัตถุ (weight หรือ W) มีค่าเท่ากับผลคูณระหว่างมวลวัตถุกับค่าแรงดึงดูดของโลก (ค่า g) ดังสมการ 4.4

$$W=mg \quad (4.4)$$

$$\text{เมื่อ } g=9.8 \text{ m/s}^2$$

โดยปกติแรงมีหน่วยเป็น นิวตัน(Newton, N) โดยที่ 1 นิวตัน (ดูรายละเอียดในตาราง 4.1) ใช้อธิบายว่า ถ้าเราออกแรงดัน 1 กิโลกรัม ทำให้วัตถุเกิดความเร่งหรือความหน่วง 1 เมตรต่อวินาที กำลังสอง(m/s^2) การคิดหน่วยของแรงก็เพื่อให้จดจำง่ายขึ้นเอง ดังสมการ 4.5

$$F = ma = \text{mass} \times \text{acceleration} = \text{kg}/(\text{m/s}^2) = \text{Newton(N)} \quad (4.5)$$

ตาราง 4.1 หน่วยที่ใช้วัดและการเปลี่ยนค่าหน่วยวัด (Davis & Reynolds, 1996)

เปลี่ยนหน่วย (Convert)	สัญลักษณ์ (Symbol)	ไปเป็น (to)	คูณด้วย (Multiply by)
<i>Length</i>			
centimeter	(cm)	inch	0.39370
centimeter	(cm)	meter	10^{-2}
meter	(m)	feet	3.2808
meter	(m)	centimeter	10^2
kilometer	(km)	mile	0.621371
kilometer	(km)	meter	10^3
mile	(mi)	kilometer	1.6093
feet	(ft)	meter	0.3048
inch	(in.)	centimeter	2.54
micrometer	(μ)	meter	10^{-6}
<i>Area</i>			
square meter	(m^2)	cm^2	10^4
square meter	(m^2)	ft^2	10.7636
<i>Volume</i>			
cubic meter	(m^3)	cm^3	10^6
cubic meter	(m^3)	ft^3	35.3134
<i>Weight</i>			
gram	(g)	pound	0.0022046
pound	(lb)	kilogram	0.453592
kilogram	(kg)	pound	2.20462
<i>Mass</i>			
kilogram	(kg)	gram	10^3
kilogram	(kg)	slug	68.521×10^{-3}
<i>Acceleration</i>			
meter/second (sec)	(m/s^2)	ft/s^2	3.2808
<i>Force</i>			
newton	(N)	$kg\cdot m\cdot s^{-2}$	1
dyne	(d)	$g\cdot cm\cdot s^{-2}$	1
newton	(N)	dyne	10^5
dyne	(d)	newton	10^{-5}
newton	(N)	poundal	7.2330
<i>Pressure, Stress</i>			
pound/sq inch	(psi)	bar	0.0689
bar	(b)	psi	14.5038
bar	(b)	atmosphere	0.98692
bar	(b)	$dyne/cm^2$	10^6
newton/ m^2	(N/m^2)	pascal	1
pascal	(Pa)	$newton/m^2$	1
kilopascal	(KPa)	Pa	10^3
megapascal	(MPa)	Pa	10^6
gigapascal	(GPa)	Pa	10^9
bar	(b)	Pa	10^5
bar	(b)	megapascal	10^{-1}

แรงที่มากกระทำมักคิดเป็นปริมาณเวกเตอร์ (รูป 4.1) ซึ่งหมายถึงต้องกำหนดขนาด (magnitude) และทิศทาง (orientation) ของแรง ดังนั้นเมื่อแรงใดอยู่ในทิศทางเดียวกันแรงจะเสริมกัน แต่ถ้าอยู่ในทิศตรงข้ามกับแรงจะหักล้างกัน

4.2 แรงภายใต้ผิวโลก

โดยทั่วไปแรงที่กระทำทำให้เปลือกโลกเปลี่ยนแปลงลักษณะมี 2 ลักษณะ (1) แรงกระทำที่ทำให้วัตถุเคลื่อนที่อย่างช้าๆแบบค่อยเป็นค่อยไป เช่น การเคลื่อนที่ของแผ่นเปลือกโลกที่มีความเร็วเพิ่มจาก 5 เซนติเมตร ต่อปีไปเป็น 6 เซนติเมตรต่อปี ในทุกๆ หลายพันปี แสดงว่าความเร่งของเปลือกโลกเกิดขึ้นได้น้อยมาก และ (2) แรงมหาศาลที่ทำให้เปลือกโลกเคลื่อนที่อย่างรุนแรงและรวดเร็ว เช่น แรงที่ทำให้เกิดแผ่นดินไหว หรือภูเขาไฟระเบิด ซึ่งทำให้หินเปลี่ยนแปลงลักษณะโดยฉับพลันในเวลาอันสั้น

ดังนั้นในการศึกษาธรณีวิทยาโครงสร้างเราจึงนิยมศึกษาผลของแรงแบบค่อยเป็นค่อยไปอย่างช้าๆ จนทำให้วัตถุเกิดการเปลี่ยนตำแหน่งโดยการเคลื่อนที่ การหมุน การยืดหด หรือการบิดเบี้ยว โดยที่วัตถุนั้นไม่สามารถคืนสู่สภาพเดิมได้เมื่อถูกแรงกระทำ และทำให้ปรากฏเป็น “ผลลัพธ์ของแรงที่บันทึกไว้ในหิน” นั่นเอง

4.3 ชนิดของแรง

แรงที่มีผลต่อวัตถุทางธรณีวิทยา(หิน) มีหลักๆ อยู่ 2 ชนิด ได้แก่ (1) แรงจากมวลวัตถุ (body force) และ (2) แรงจากผิวสัมผัส (contact force)

4.3.1 แรงจากมวลวัตถุ เป็นแรงกระทำที่เกิดขึ้นจากมวลวัตถุนั้นโดยตรง และไม่เกี่ยวข้องกับแรงที่เกิดจากวัตถุข้างเคียง เช่น แรงดึงดูดของโลกหรือแรงจากสนามแม่เหล็กไฟฟ้าต่างก็กระทำกับวัตถุได้ แต่ผลของแรงจากมวลวัตถุทำให้วัตถุเปลี่ยนแปลงลักษณะในแบบที่เรามองเห็นได้ ส่วนผลของแรงจากสนามแม่เหล็กไฟฟ้ามีผลต่อวัตถุเฉพาะในส่วนของอะตอมซึ่งเป็นการยากที่เรามองเห็นได้ ตัวอย่างผลจากการกระทำของแรงจากมวลวัตถุ เช่น การเคลื่อนไถลของหินหรือธารน้ำแข็งลงตามความลาดชัน การตกผลึกของแร่จากหินหนืด การผลักดันแผ่นเปลือกโลกในบริเวณสันสมุทร(ridge push) และแรงดึงของแผ่นเปลือกโลกบริเวณมุดตัว(slab pull)

4.3.2 แรงจากผิวสัมผัส เป็นแรงผลักหรือแรงดันบริเวณสัมผัสของวัตถุ เช่น ระบายรอยเลื่อนระหว่างผนังด้านบน (hanging wall)และผนังด้านล่าง (foot wall) โดยทั่วไปถือว่าน้ำหนักมวลสาร (load) เป็นตัวทำให้เกิดแรงจากผิวสัมผัส ซึ่ง J. Suppe (1985) ได้จัดแบ่งการกดทับตามกลไกการเกิดออกเป็น 3 แบบ คือ

(1) แรงกดทับจากน้ำหนัก (gravitational loading) เป็นแรงที่เกิดจากน้ำหนักที่กดทับเหนือบริเวณผิวสัมผัส

(2) แรงกดทับจากความร้อน (thermal loading) เป็นแรงที่เกิดจากหินร้อนขึ้นหรือเย็นลงภายในสถานะที่จำกัดจนทำให้หินมีการขยายหรือหดตัวขึ้น และ

(3) แรงกดทับจากการเคลื่อนที่ (displacement loading) เป็นแรงที่เกิดจากผลการเปลี่ยนแปลงลักษณะในหินขนาดใหญ่เนื่องจากการเคลื่อนที่ เช่น การชนกัน (collision) ของแผ่นเปลือกโลกทำให้หินหรือชั้นหินเกยซ้อนกัน จนเกิดรอยเลื่อนย้อน การมุดตัวของแผ่นเปลือกโลกที่ทำให้เกิดการคดโค้ง การแทรกดันของหินหนืด หรือการตกกระแทกของอุกกาบาต เป็นต้น

อาจกล่าวได้ว่าผลของแรงจากมวลวัตถุและจากผิวสัมผัสนั่นเองที่เป็นตัวการหรือปัจจัยหลักทำให้หินเปลือกโลก (crustal rocks) เปลี่ยนลักษณะไป

4.4 แรงเค้น

ถ้ามีแรงมากระทำขนาดเท่ากันแต่มีทิศตรงข้ามต่อวัตถุรูปลูกบาศก์ 2 ลูก ที่มีขนาดไม่เท่ากัน ลูกบาศก์เล็กจะรับรู้แรงได้มากกว่าลูกบาศก์ขนาดใหญ่ (รูป 4.2) หรือกล่าวอีกนัยหนึ่งว่าแรงเค้น (stress, σ) เป็นสัดส่วนกับแรง (force, F) และเป็นสัดส่วนผกผันกันกับพื้นที่ (area, A)

$\sigma \propto F$ และ $\sigma \propto 1/A$ ซึ่งทำให้เราเขียนเป็นสมการ 4.6 ได้

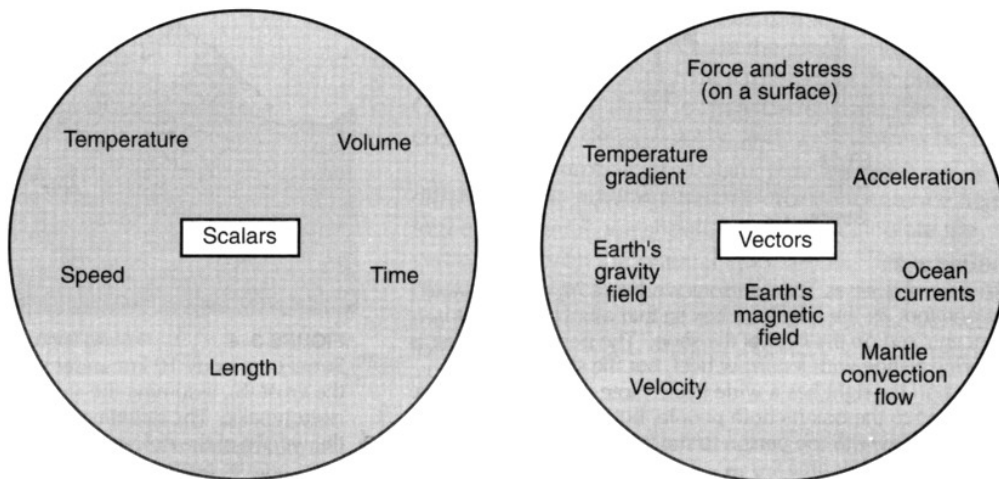
$$\sigma = F/A \quad (4.6)$$

โดยทั่วไปเรากำหนดหน่วยความเค้นให้เป็น ปาสคาล (pascal, Pa) โดยที่ 1 ปาสคาล หมายถึง แรง 1 นิวตันกระทำบนพื้นที่ 1 ตารางเมตร แต่บางครั้งแรงเค้นที่มากระทำต่อวัตถุมีผลต่อการเปลี่ยนแปลงลักษณะมากๆ เรามักเรียกว่ากิโลปาสคาล (kilopascal หรือ kPa = 10^3 Pa) เมกะปาสคาล (megapascal หรือ MPa = 10^6 Pa) หรือกิกะปาสคาล (gigapascal หรือ GPa = 10^9 Pa) โดยเราคิดเทียบหาหน่วยจากสมการ 4.7

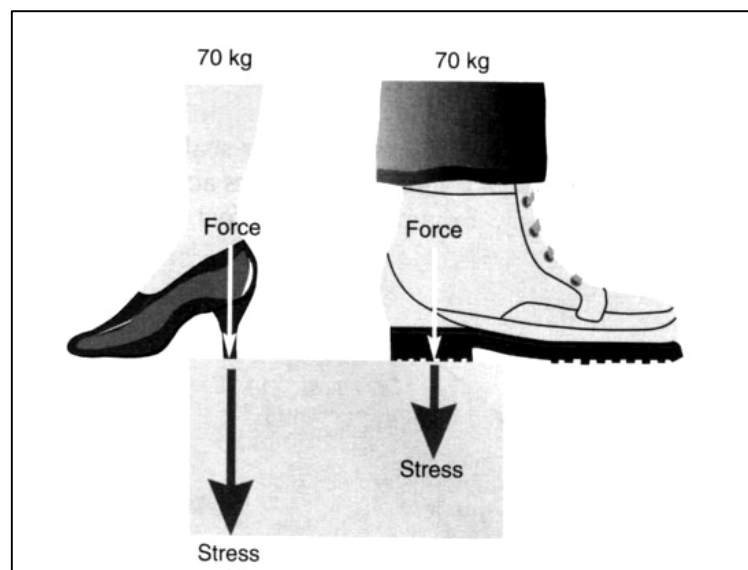
$$\sigma = \frac{F}{A} = \frac{kg(m/s^2)}{m^2} = \frac{N}{m^2} = Pascal \quad (4.7)$$

พึงระลึกว่า 1 เมกะปาสคาล = 10^6 ปาสคาล = 10 บาร์ (bar) = 9.869 atm (บรรยากาศ) และแรงมีสภาพเป็นเวกเตอร์ด้วย ซึ่งเราเรียกว่า “ทิศแรงเค้น (stress vector)” หรือ “ทิศครูดึง (traction vector)” นั่นเอง

ดังนั้นถ้าเราพิจารณาจากรูป 4.3 อีกครั้งเราจะทราบว่าแรงเค้นที่กระทำต่อแท่งลูกบาศก์เล็กย่อมมีค่าสูงกว่าที่กระทำต่อลูกบาศก์ใหญ่เพราะพื้นที่ในการรับแรงกระทำน้อยกว่านั่นเอง ลองมาคำนวณดูเล่นๆว่า แท่งแกรนิตรูปลูกบาศก์กว้างตัวยูบนแท่งหินอ่อนรูปทรงกระบอกได้อย่างไร



รูป 4.1 วงกลม(ซ้าย) แสดงสเกลาร์ (Scalars) ข้อมูลเชิงตัวเลขที่บอกขนาด (เป็นหน่วยวัด) และไม่จำเป็นต้องอาศัยทิศทาง และวงกลม (ขวา) แสดงเวกเตอร์ (vectors) –ข้อมูลเชิงตัวเลขที่บอกขนาด (เป็นหน่วยวัด) และอาศัยทิศทางกำหนดบางครั้งเรียกว่า “ขนาดทิศ” (Hatcher, 1995)



รูป 4.2 แรง (forces) และแรงเค้น (stresses) ชาย-หญิงสองคนน้ำหนักประมาณ 70 กิโลกรัม ยืนใส่รองเท้าข้างกลองสี่เหลี่ยม โดยที่น้ำหนักของเขาไปบนสันเท้า ผู้หญิงใส่รองเท้าส้นสูง ส่วนผู้ชายใส่รองเท้าพื้นแบนสันเตี้ยให้สังเกตแรงที่กระทำบนกลองโดยเขาทั้งสอง แรงเค้นที่กระทำบนกลองจากผู้หญิงมีมากกว่าแรงเค้นจากผู้ชายเนื่องจากการกดอยู่บนพื้นที่น้อยกว่า (Davis & Reynolds, 1996)

สมมติแกรนิตมีขนาดกว้าง (W) ยาว (L) และสูง (H) 2 เมตร และหินอ่อนมีรัศมี 1 เมตร ชั้นแรกเราคำนวณหาปริมาตรแกรนิต = $W \times L \times H = 2 \times 2 \times 2 \text{ เมตร}^3 = 8 \text{ ลูกบาศก์เมตร (หรือ เมตร}^3)$

และเราทราบว่าแกรนิตมีความหนาแน่น (ρ) = 2.7 กรัม/ลบซม = 2,700 g/ลบม

$$\text{ดังนั้นมวลแกรนิต} = V\rho = 8 \text{ ม}^3 \times 2,700 \text{ กก/ม}^3$$

$$= 21,600 \text{ กก}$$

ถ้าให้อัตราเร่งของแรงโน้มถ่วง หรือความเร่ง(g) = 9.8 ม/ว²

และเราทราบว่า แรง(F) = มวล(m) x ความเร่ง(g) = mg

$$= 21,600 \text{ กก} \times 9.8 \text{ ม/ว}^2 = 211,680 \text{ กก ม/ว}^2$$

$$= 211,680 \text{ N}$$

และเมื่อเราทราบว่าแรงเค้น(σ) = $\frac{\text{แรง(F)}}{\text{พื้นที่(A)}}$

ดังนั้นแรงเค้นที่เกิดจากน้ำหนักกดทับของก้อนหินแกรนิตลงบนแท่งหินอ่อน

$$\text{พื้นที่(A)} = \pi r^2 = 3.14 \times (0.5 \text{ ม}^2) = 0.79 \text{ ม}^2$$

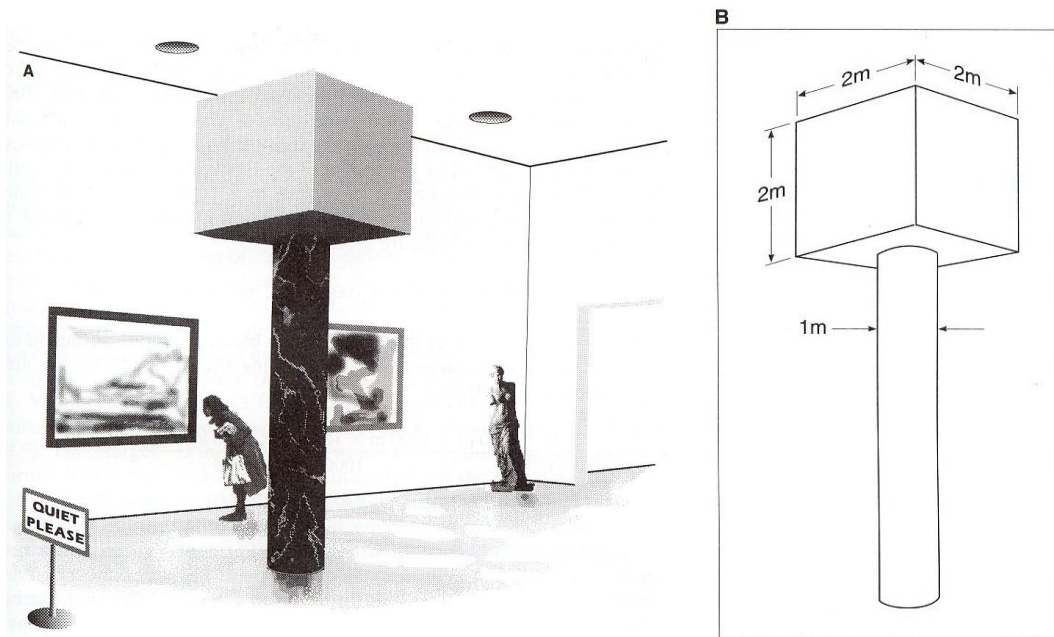
$$\begin{aligned} \text{ดังนั้น} \quad \sigma &= \frac{F}{A} = \frac{211,680 \text{ N}}{0.79 \text{ ม}^2} = \frac{267,949 \text{ N}}{\text{ม}^2} \\ &= 267,949 \text{ Pa} = 268 \text{ kPa} \end{aligned}$$

ดังนั้นแรงเค้นที่เกิดจากก้อนแกรนิตพยายามทำให้แท่งหินอ่อนเปลี่ยนลักษณะ ซึ่งแท่งหินอ่อนอาจเปลี่ยนลักษณะได้ก็ต่อเมื่อความจุต่อการยืดหยุ่นคล้ายสปริงมีค่าน้อยกว่าแรงเค้นนั่นเอง แต่จริงๆ แรงเค้นจากแกรนิตมีน้อยเกินไป จึงทำให้แท่งหินอ่อนรับน้ำหนักก้อนโตของหินแกรนิตได้ (รูป 4.3) โดยทั่วไปถ้าวัตถุอยู่ในภาวะที่สมดุล แรงที่กระทำต่อวัตถุจะมีค่าเท่ากันในทุกทิศทาง ณ จุดใดจุดหนึ่ง หรือความลึกใดความลึกหนึ่ง โดยที่ถ้าเป็นหินแข็งมักหมายถึง ความดันหินแข็ง (lithostatic pressure) ซึ่งมีค่าเท่ากับน้ำหนักของหินที่กดทับลงบนขนาดพื้นที่ 2 ตารางหน่วย ณ ความลึกหนึ่งๆ และถ้าเป็นน้ำมักหมายถึงความดันน้ำ (hydrostatic pressure) ซึ่งมีค่าเท่ากับน้ำหนักของน้ำที่กดทับลงบนพื้นที่ 1 ตารางหน่วย ณ ความลึกหนึ่งๆ (ดูรูป 4.4) ซึ่งความแตกต่างของความดันทั้งสองในตัวกลางก็คือความแตกต่างเนื่องจากน้ำหนักเป็นสำคัญ

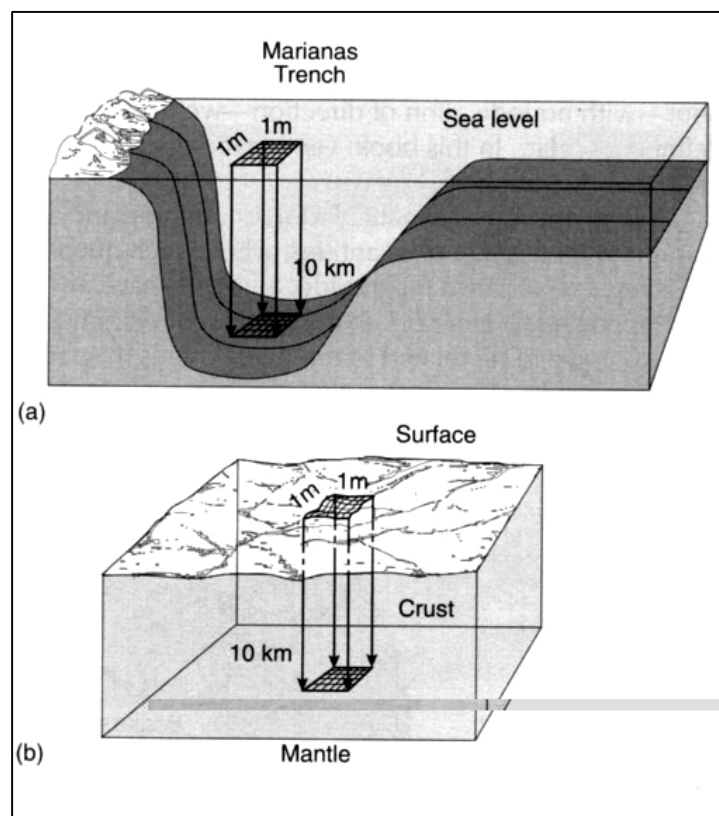
4.4.1 ความเค้นบนระนาบ

ในรูป 4.5 ถ้าเราให้ระนาบ P อยู่ที่ระดับใดระดับหนึ่งใต้ผิวดิน ปริมาณแรงเค้นที่ระนาบขึ้นอยู่กับแรง (force) ที่กระทำลงบนระนาบต่อพื้นที่ระนาบ ขนาดและปริมาณแรงเค้นที่กระทำในแนวตั้ง (σ_v) บนระนาบนั้นๆ จากรูป 4.6 กรณีระนาบมีขนาดเล็กมากๆ (เหมือนเป็นจุด) เราอาจคำนวณแรงเค้นที่เกิดขึ้นได้จากสมการ 4.8

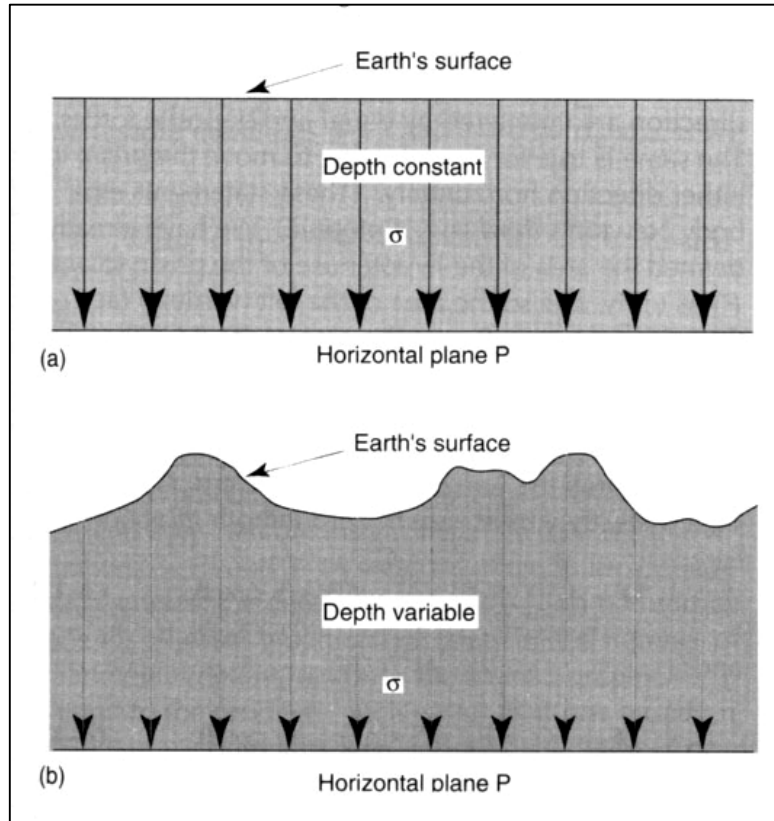
$$\sigma = \frac{\Delta F}{\Delta A} \quad (4.8)$$



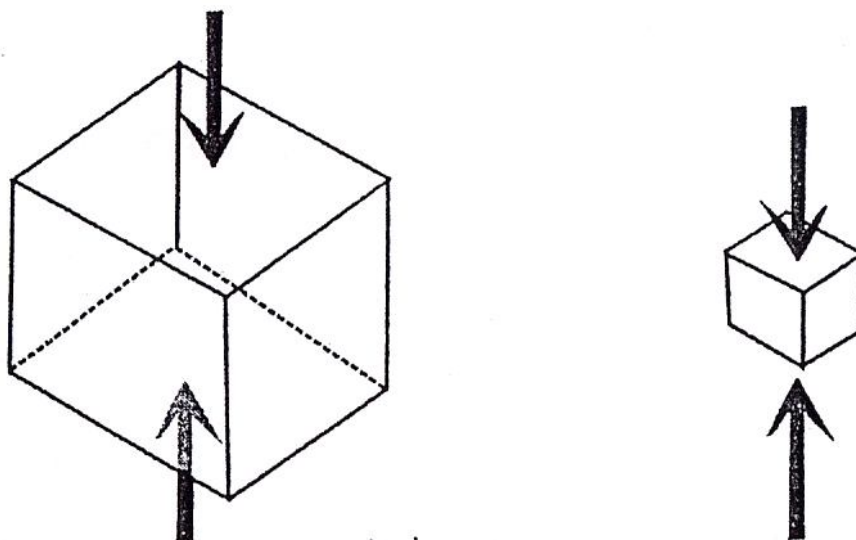
รูป 4.3 (A) รูปหล่อหินแกรนิตที่ตั้งอยู่บนแท่งหินอ่อน สามารถคำนวณหาแรงที่กระทำโดยแกรนิตและแรงเค้นจากหินแกรนิตที่กระทำบนยอดของหินอ่อน (B) เราสามารถหาแรงได้จากปริมาตรคูณความหนาแน่นและคูณแรงโน้มถ่วงของหินแกรนิต ส่วนแรงเค้นสามารถคำนวณหาได้โดยแรงหารด้วยขนาดพื้นที่หน้าตัดของวงกลม (Davis & Reynolds, 1996)



รูป 4.4 สภาพแรงเค้นบนวัตถุเล็ก 10 กมใต้น้ำ (a) และ 10 กมใต้เปลือกโลก (b) โดยสมมติให้แรงเค้นกระจายตัวอยู่เท่าๆกัน ความแตกต่างของแรงเค้นจึงเกิดจากน้ำหนักของคอลัมน์น้ำ (a) และหิน (b) เนื้อพื้นที่ 1 ตารางเมตร (Hatcher, 1995)



รูป 4.5 ขนาดทิศแรงเค้นที่กระทำบนแนวราบ P (a) กรณีที่พื้นผิวโลกราบเรียบ (b) กรณีผิวโลกไม่สม่ำเสมอเนื่องจากสภาพภูมิประเทศ ลูกศรแสดงถึงน้ำหนักแรงเค้นกดทับ (loading stress) (Hatcher, 1995)



รูป 4.6 แรง (force) ขนาดเท่ากันที่กระทำกับแท่งลูกบาศก์ที่มีขนาดต่างกัน ถ้าหากลูกบาศก์มีการเปลี่ยนลักษณะ ผลของแรงที่กระทำกับลูกบาศก์ขนาดเล็กจะมากกว่าลูกบาศก์ขนาดใหญ่ (เพียงดา สาทรรักษ์, 2546)

เมื่อ $A =$ พื้นที่ และถ้าสมมติพื้นที่ให้มีขนาดเล็กมากๆ (infinitesimal size) แต่ถึงขนาดเล็กอย่างไร ก็ยังปรากฏให้เห็นค่าความมี “อัตรา” หรือ “มีตัวตน” คือ “มีพื้นที่” อยู่ดี ดังนั้นแรงเส้นที่ตั้งฉากกับพื้นที่ (รูป 4.4) จึงคำนวณได้จาก

$$\sigma = \lim_{\Delta A \rightarrow 0} \frac{\Delta F}{\Delta A}$$

$$\text{หรือ} \quad \sigma = \frac{dF}{dA}$$

กรณีที่ระนาบลาดชันเราอาจแตกแรงเส้น (stress) ที่กระทำบนระนาบได้ในรูปแรงเส้นฉาก (normal stress, σ_n) และแรงเส้นเฉือน (shear stress, σ_s) (รูป 4.7, 4.8, 4.9 และ 4.12)

จากรูป 4.12 และ 4.13 เราให้แรง ในแนวตั้ง ($F = 5 \times 10^5$ Newton) กระทำต่อระนาบบนพื้นที่ 2,184 ตารางเมตร ดังนั้น $\sigma = 5.0 \times 10^5 / 2,184 = 229$ Pa เราสามารถคำนวณหาปริมาณ σ_n และ σ_s ได้จาก

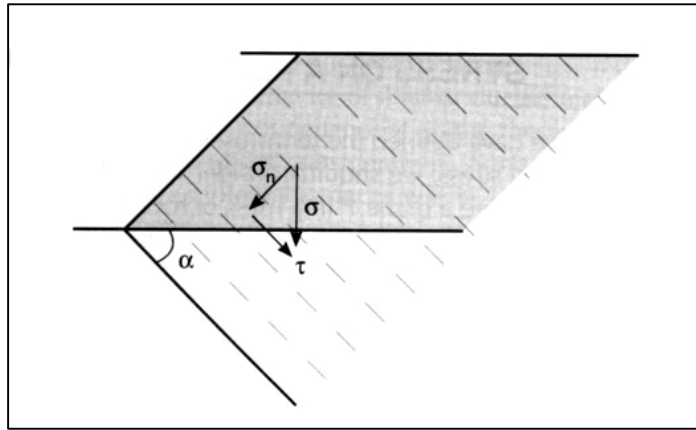
$$\begin{aligned} \sigma_n &= \sigma \cos 30^\circ & \sigma_s &= \sigma \sin 30^\circ \\ \sigma_n &= 229 \cos 30^\circ & \text{และ} & \sigma_s = 229 \sin 30^\circ \\ \sigma_n &= 198 \text{ Pa} & & \sigma_s = 115 \text{ Pa} \end{aligned}$$

4.4.2 แรงเค้นบนจุด

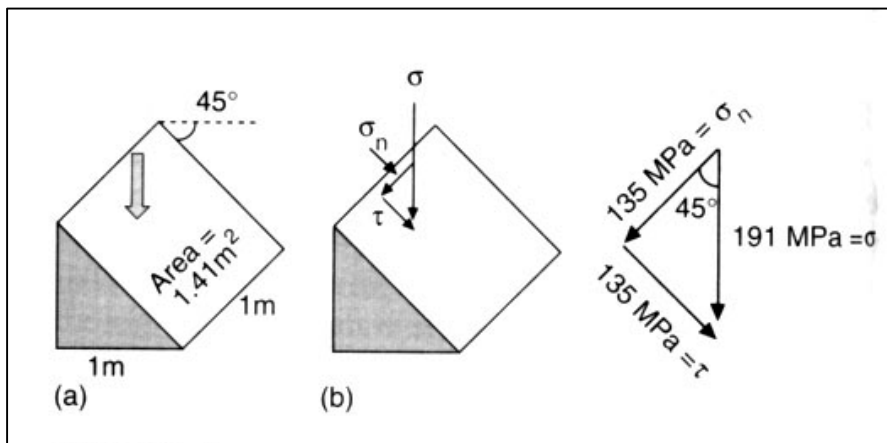
ในกรณีที่เราพิจารณาแรงเค้นในระบบสามมิติ ซึ่งจำเป็นต้องมีแกนหลัก (*principal stresses*) สามแกนโดยที่ $\sigma_1 \geq \sigma_2 \geq \sigma_3$ บนพิสัยของแกน x, y, และ z (รูป 4.10) ดังนั้น เมื่อมีแรงเค้นภายนอกกระทำที่จุด O โดยมีพื้นที่เล็กๆ เป็นรูปลูกบาศก์ แรงเค้นที่กระทำในลูกบาศก์จึงประกอบด้วยแรงเค้นตั้งฉากและแรงเค้นเฉือนตามแกน x, y และ z โดยประกอบด้วย 9 เวกเตอร์ ซึ่งเราสามารถเขียนในลักษณะเวกเตอร์ได้ในรูปแบบของเมทริกซ์คือ

$$\sigma_{ij} = \begin{bmatrix} \sigma_{xx} & \sigma_{xy} & \sigma_{xz} \\ \sigma_{yx} & \sigma_{yy} & \sigma_{yz} \\ \sigma_{zx} & \sigma_{zy} & \sigma_{zz} \end{bmatrix}$$

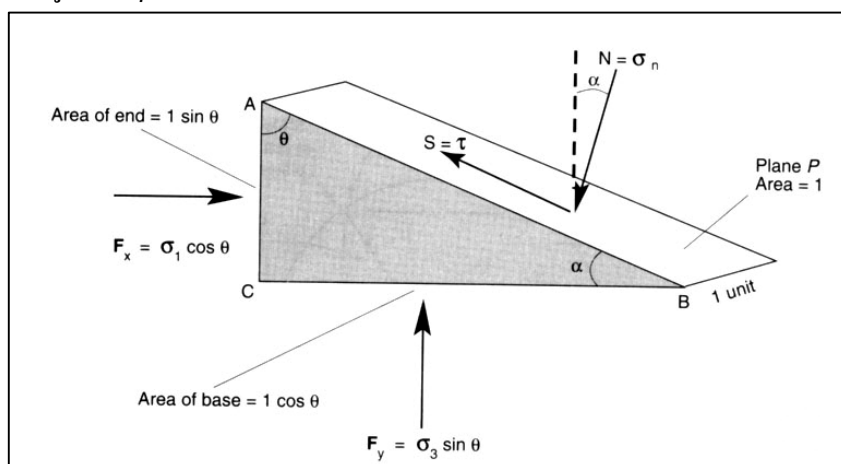
โดยเราเรียก σ_{ij} ว่า **แรงความเค้น (stress tensors)** ซึ่งประกอบด้วยแนวแรง 9 แนว ซึ่งถ้าหากลูกบาศก์อยู่ในสภาวะสมดุล ลูกบาศก์ก็จะไม่หมุน ทำให้เราได้



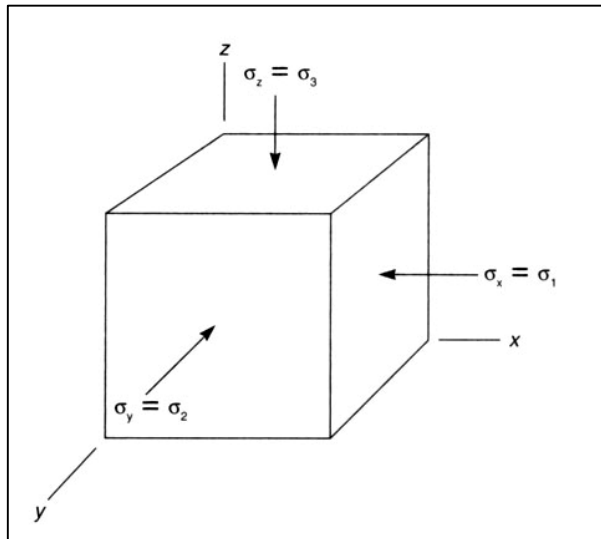
รูป 4.7 ขนาดทิศแรงเค้นที่กระทำบนระนาบเอียง เช่นผังระนาบรอยเลื่อน ๓ ความลึกหลายกิโลเมตรจากผิวดิน ในกรณีนี้แรงเค้นจึงเป็นเส้นดิ่ง และสามารถแตกแรงออกเป็นแรงเค้นฉากซึ่งตั้งฉากกับพื้นผิว และแรงเฉือนซึ่งขนานไปกับพื้นผิว (Hatcher, 1995)



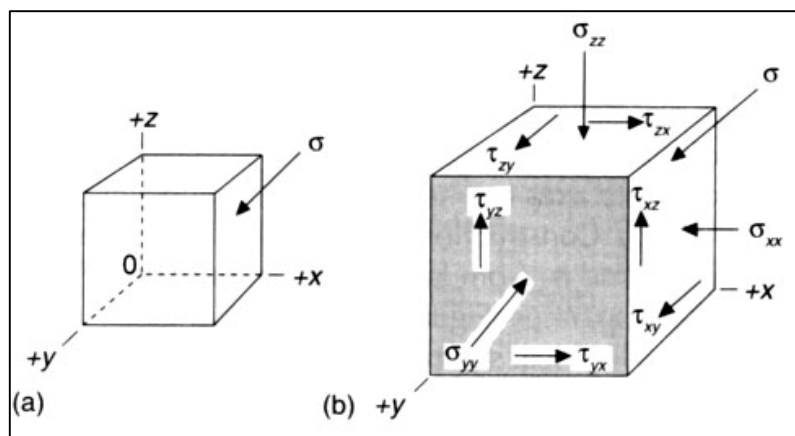
รูป 4.8 (a) แรงเค้นดิ่งที่กระทำบนระนาบเอียง 45 องศา ที่มีพื้นที่ 1.41 ตารางเมตร (b) แยกแรงเค้นดิ่ง 191 MPa ออกมาเป็นแรงฉากพื้นที่ 135 MPa และแรงเฉือน 135 MPa (รูปขวาสุด) (Hatcher, 1995)



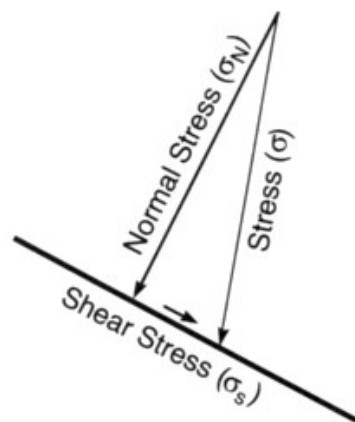
รูป 4.9 แผนภาพสามมิติแสดงความสัมพันธ์ระหว่าง แรงที่มากระทำบนระนาบเอียง P ที่มีพื้นที่ da โดยการแตกแรงออกเป็นแรงเค้นฉาก (σ_n) และแรงเค้นเฉือน (σ_n หรือ τ) และมีมุม α ระหว่าง σ_n และ σ_3 และมุม θ ระหว่าง σ_s และ σ_1 (Hatcher, 1995)



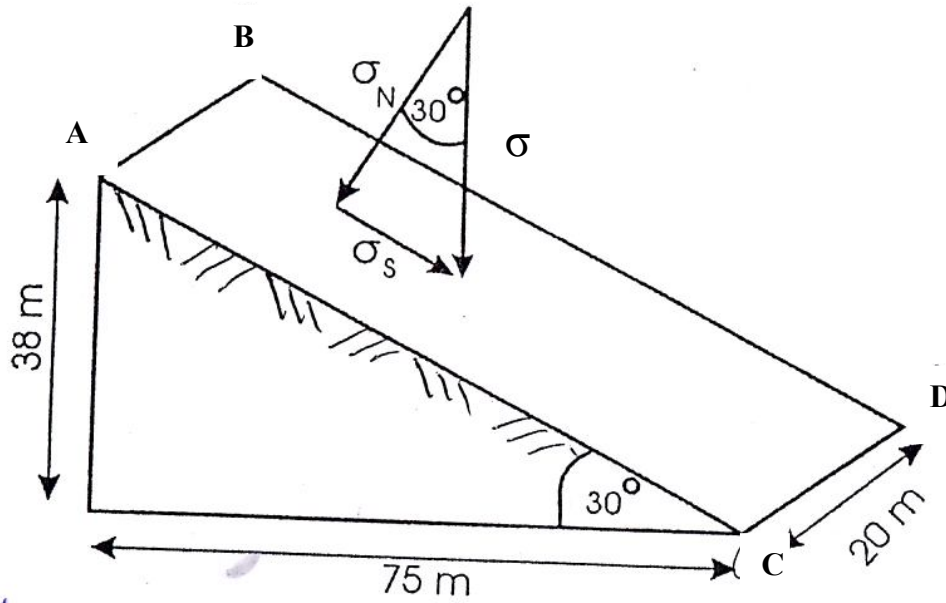
รูป 4.10 ขนาดทิศแรงเค้นตั้งฉากหลักที่วางตัวขนานกับขอบลูกบาศก์ ในระนาบ x - y - z ให้สังเกตว่าตำแหน่งของลูกเต๋าเมื่อเทียบกับแกน x , y และ z สอดคล้องกันพอดี (Hatcher, 1995)



รูป 4.11 เมื่อมีแรงเค้นแบบไร้ทิศทาง ที่มากระทำบนวัตถุลูกเต๋ารายขนาดเล็กละมาก (แทบเป็นจุด) ให้สังเกตทิศทางแรงทั้งหมด 9 ทิศ (Hatcher, 1995)



รูป 4.12 แรงจัดแนวคิ่ง (stress หรือ traction, σ) ซึ่งสามารถแตกแรงออกเป็นแรงฉากที่ (σ_n) และแรงเค้นเฉือน (σ_s) (Davis & Reynolds, 1996)



รูป 4.13 แรงเค้นในแนวตั้ง (vertical stress) ที่กระทำกับระนาบ ABCD ที่มีความลาดชัน 30° จากแนวอนบนพื้นที่ 2,184 ตารางเมตร (เพียงตา สาตวรรษ, 2546)

$$\sigma_{yx} = \sigma_{xy}, \sigma_{zy} = \sigma_{yz}, \sigma_{xz} = \sigma_{zx}$$

ดังนั้นจึงมีแรงเค้นอยู่ 6 แรง ที่เป็นตัวแปรอิสระ และมีอยู่สามคู่ที่มีแรงเค้นที่มีค่าเท่ากัน ด้วยเหตุนี้ถ้ากรณีมีแรง σ กระทำตั้งฉากกันและกันจะทำให้ค่าความเค้นเฉือน=0 ซึ่งเราอาจเขียนเมทริกซ์ของเวกเตอร์ความเค้นได้ดังนี้

$$\sigma_{ij} = \begin{bmatrix} \sigma_{xx} & \sigma & \sigma \\ \sigma & \sigma_{yy} & \sigma \\ \sigma & \sigma & \sigma_{zz} \end{bmatrix}$$

สำหรับค่าเฉลี่ยผลรวมความเค้นหลัก 3 แกน เรียกว่า “ค่าความเค้นเฉลี่ย (mean stress, σ_m)” ซึ่งคำนวณจากสมการ 4.9

$$\sigma_m = \frac{\sigma_1 + \sigma_2 + \sigma_3}{3} = \frac{\sigma_x + \sigma_y + \sigma_z}{3} \tag{4.9}$$

โดยที่แรงเค้นเป็นผลรวมของค่าแรงเค้นเฉลี่ย และค่าแรงเค้นเบี่ยงเบน (deviatoric stress) ดังสมการ

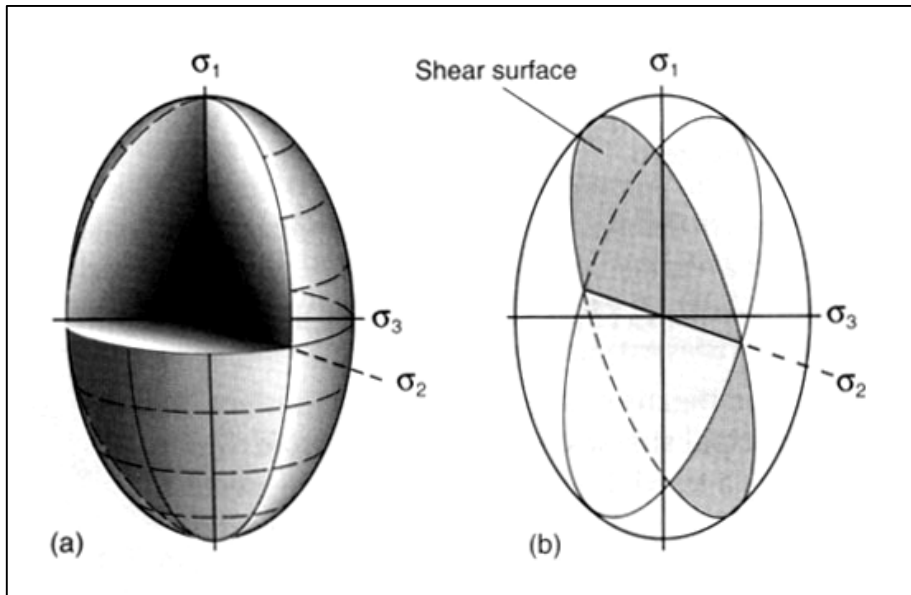
$$\sigma_{ij} = \begin{bmatrix} \sigma_{xx} & \sigma_{xy} & \sigma_{xz} \\ \sigma_{yx} & \sigma_{yy} & \sigma_{yz} \\ \sigma_{zx} & \sigma_{zy} & \sigma_{zz} \end{bmatrix} = \begin{bmatrix} \sigma_m & 0 & 0 \\ 0 & \sigma_m & 0 \\ 0 & 0 & \sigma_m \end{bmatrix} + \begin{bmatrix} \sigma_{xx} - \sigma_m & \sigma_{xy} & \sigma_{xz} \\ \sigma_{yx} & \sigma_{yy} - \sigma_m & \sigma_{yz} \\ \sigma_{zx} & \sigma_{zy} & \sigma_{zz} - \sigma_m \end{bmatrix}$$

แรงเค้น σ_{xx} , σ_{yy} , σ_{zz} หรือบางครั้งเขียนว่า σ_x , σ_y , σ_z หนังสือหลายเล่มใช้ว่า $\sigma_1, \sigma_2, \sigma_3$ จัดเป็นแกนความเค้นหลัก (principle stresses) ดังรูป 4.14

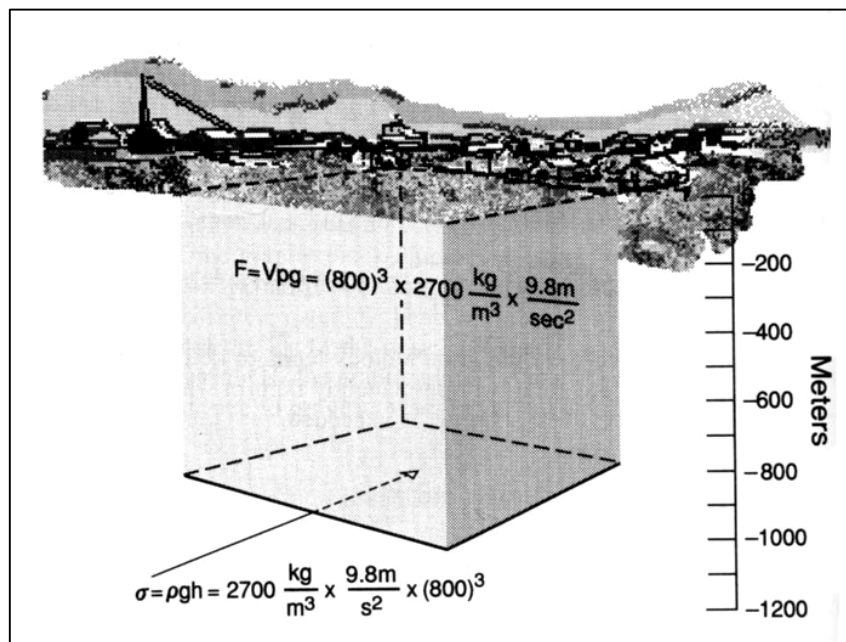
จากรูป 4.14 แกนความเค้นหลักค่ามากที่สุด (maximum principle stress) คือ σ_1 และ แกนความเค้นหลักค่ากลาง (intermediate principle stress) คือ σ_2 และแกนความเค้นหลักค่าน้อยสุด (minimum principle stress) ได้แก่ σ_3 ซึ่งมีลักษณะเป็นวงรีคล้ายคลึงกับแกนวงรีความเครียด (strain ellipse) ดังนั้นสำหรับความเค้นเราจะได้วงรีแรงเค้น (stress ellipse) โดยที่มี σ_1 , σ_2 และ σ_3 ตั้งฉากซึ่งกันและกันพร้อมทั้งมีความเค้นเฉือนเป็นศูนย์

4.4.3 ตัวอย่างการคำนวณแรงเค้นบนระนาบใดก็ได้

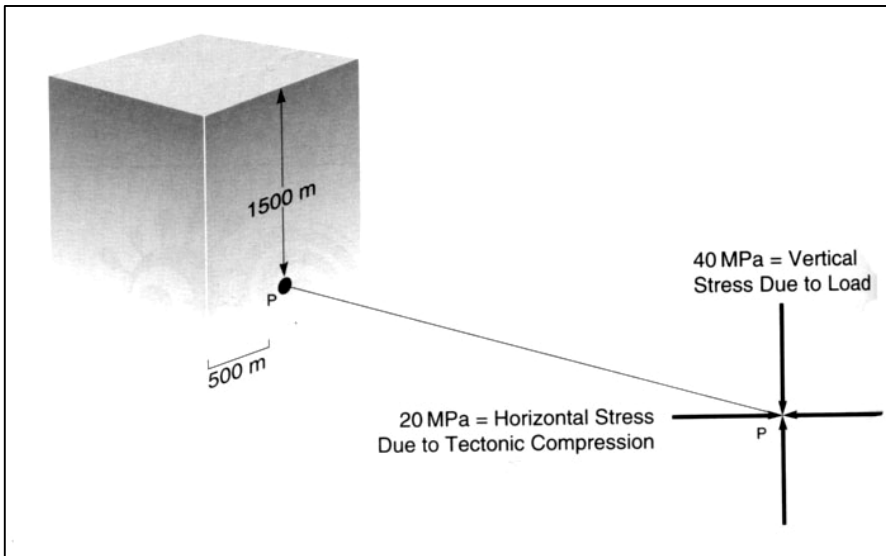
ที่นี้ลองดูรูป 4.15 กรณีก้อนหินแกรนิตใหญ่มาก มีขนาดเท่าภูเขา (ซึ่งเป็นส่วนประกอบสำคัญของเปลือกโลกส่วนทวีป) คุบ้าง แล้วลองคำนวณแรงเค้นที่เกิดจากหินแกรนิตก้อนยักษ์นี้บ้าง สมมติให้ หินแกรนิตมีขนาดกว้าง (W) ยาว (L) และสูง (H)



รูป 4.14 (a) วงรีแรงเค้น (stress ellipsoid) รูปรีกบี่ซึ่งมี 3 แกนหลักคือ σ_1 , σ_2 และ σ_3
 (b) ระนาบแรงเค้นเฉือนหลักซึ่งมีขนาดเท่ากับ σ_2 และทำมุม 45° กับ σ_1 และ σ_3 (Hatcher, 1995)



รูป 4.15 การคำนวณหาปริมาณหินแกรนิตภายใต้โลกที่มีชุมชนใหญ่! จากสูตร $F = vpg$ (ลองคิดดูมวลมหึมาขนาดนี้ เมื่อถูกแผ่นดินไหวกระทำตามแนวรอยเลื่อนเพียงชนิดเดียว ก็อาจทำให้เมืองทั้งเมืองพังพินาศได้ ถ้ามีรอยเลื่อนปรากฏอยู่ข้างใต้ใกล้ๆ เช่นรอยเลื่อนซานแอนเดรียส ใกล้เมืองซานฟรานซิสโกของอเมริกาไป) (Davis & Reynolds, 1996)



รูป 4.16 บล็อกแกรนิตที่มีจุด P อยู่ลึกกลงไปจากผิวดิน 1,500 เมตร (ซ้าย) โดยให้ห็นแสดงสมบัติแบบยืดหยุ่น ดังนั้นแรงเค้นที่จุด P (ขวา) จึงเกิดจากการรวมน้ำหนักกดทับจากแรงโน้มถ่วงและแรงอัดจากการแปรสัณฐานเปลือกโลก (Davis & Reynolds, 1996)

เราคำนวณหาแรงที่เกิดจากมวลแกรนิตยักษ์ = $W \times L \times H \times \rho \times g$
 $= 1,000 \text{ ม} \times 1,000 \text{ ม} \times 1,000 \text{ ม} \times 2,700 \text{ กก/ม}^3 \times 9.8 \text{ ม/ว}^2$

และเราทราบว่ $\sigma = \frac{F}{A} = \frac{1,000\text{m} \times 1,000\text{m} \times 1,000\text{m} \times 2,700\text{kg} / \text{m}^3 \times 9.8\text{m} / \text{ว}^2}{1,000\text{m} \times 1,000\text{m}}$

$$\sigma = 1,000 \text{ ม} \times 2,700 \text{ กก/ม}^3 \times 9.8 \text{ ม/ว}^2$$

$$= 26,460,000 \text{ Pa} = 26.5 \text{ MPa}$$

โดยทั่วไปเราเรียกแรงเค้นลักษณะนี้ว่า**“แรงเค้นใต้โลก”(lithostatic stress)** ซึ่งแปรผันไปตามความลึกที่เรียก **“ความลาดแรงเค้นใต้โลก” (lithostatic stress gradient)** ซึ่งมีค่าประมาณ 26.5 MPa/กิโลเมตร หรือเท่ากับ 265 บาร์ หรือ 0.265 kbar/km ซึ่งอาจพูดง่ายๆ ว่า ทุกๆ 3.8 กิโลเมตรจากผิวโลก แรงเค้นใต้โลกจะเพิ่มขึ้น 1 kbar หรือ 100 MPa ซึ่งเราอาจคำนวณแบบลัดคือ แรงเค้น (σ) เท่ากับ ความหนาแน่น (ρ) x แรงโน้มถ่วง (g) x ความลึก (h)

หรือ $\sigma = \rho gh = 2,700 \text{ กก/ม}^3 \times 9.8 \text{ ม/ว}^2 \times 1,000 \text{ กม.}$
 $= 26.5 \text{ Mpa}$

สมมติเรามีหินแกรนิตซึ่งมีความหนาแน่น 2,700 กิโลกรัมต่อลูกบาศก์เมตร ยาว

2,000 เมตร กว้าง 800 เมตร และลึก 1,500 เมตร เราสามารถคำนวณหาแรงเค้นที่ระดับลึก 1,500 เมตร ได้จากสมการ 4.6 ดังนี้

$$\sigma = \frac{F}{A} = \frac{v\rho g}{A} = \frac{2000 \times 1500 \times 800 \times 2700 \times 9.8}{2000 \times 800} = 39.7 \text{ MPa}$$

เมื่อพิจารณาสมการข้างต้น เราสามารถเขียนเป็นสมการ 4.10 ได้สั้นๆ ดังนี้

$$\sigma = \rho gh \quad (4.10)$$

โดยที่ $\sigma = \rho gh = 2700 \text{ (kg/m}^3) \times 9.8 \text{ (m/s}^2) \times 1500 \text{ (m)} = 39.7 \text{ MPa}$

ด้วยเหตุนี้ถ้าเราต้องการหาแรงเค้นใต้ผิวดินที่ระดับความลึกต่างๆ เราจำเป็นต้องทราบค่าความหนาแน่นของหินและค่าแรงดึงดูดของโลก ณ จุดหนึ่งเสียก่อน อนึ่งสำหรับการศึกษาเกี่ยวกับแรงเค้น เราจำเป็นต้องทำความเข้าใจและสามารถคำนวณแรงเค้นที่กระทำบนระนาบใดระนาบหนึ่งของจุดที่กำหนดในวัตถุที่เราสนใจและถูกแรงกระทำ การศึกษาของเราจึงเกี่ยวข้องกับการเปลี่ยนแปลงเปลือกโลก ตัวอย่างของเราจึงขอพิจารณาที่เปลือกโลกและเกี่ยวข้องกับหินเป็นหลัก

ถ้าเราสมมติให้ P เป็นจุดเล็กๆ อยู่ในหินแกรนิตที่ปรากฏ ณ ความลึก 1,500 เมตรจากผิวดิน (รูป 4.15) โดยมีแรงอัดเข้าหาทางตะวันออก-ตะวันตก และมีแรงจากน้ำหนักหินที่อยู่ด้านบนของจุด P ซึ่งคำนวณได้ดังรูป 4.16 ที่จุด P เราสามารถสร้างระนาบในแนวต่างๆ ได้มากมาย (ตั้งแต่ 0-360) หากพิจารณาแรงกระทำที่จุด P ที่ระนาบใดๆ เราจะพบว่าขนาดแรงที่กระทำลงไปอยู่ที่จุดต่างๆ มักไม่เท่ากัน ขึ้นอยู่กับทิศทางระนาบและขนาดแรง ดังนั้นถ้าหากเราพิจารณา ขนาดและทิศทางของแรงที่กระทำต่อจุด P บนพื้นที่ที่เล็กมากๆ เราก็จะสามารถหาอัตราส่วนของแรงต่อพื้นที่นั้นก็คือ ความเค้นที่กระทำกับจุด P

ที่นี้ถ้าพิจารณาในรูป 4.17A แรงเค้นอัดแนวตั้ง (σ_z ประมาณ 40 MPa) และแรงเค้นแนวนอน (σ_x ประมาณ 20 MPa) โดยที่ σ_z กระทำในแกน z และ σ_x กระทำในแกน x สมมติให้มีระนาบตัดผ่านจุด O ทำมุม 65° กับแกน z ในการคำนวณหาแรงเค้นบนระนาบนี้เรามักพิจารณาจากรูปร่างชิ้นส่วนที่เล็กที่สุด (differential elements) โดยกำหนดให้เป็นรูปสี่เหลี่ยมดังแสดงในรูป 4.17B โดยที่รูปสี่เหลี่ยมมีขนาดประมาณ 10^{-12} ตารางเมตร และแนว XZ เป็นแนวระนาบที่ทำมุม 65° กับแกน z (OZ) และมีความยาว $nx \times 10^{-6}$ ส่วน OX เป็นความยาวที่ฐานสี่เหลี่ยมในแนวนอน และ OZ เป็นความยาวในแนวตั้ง โดยที่ OX ขนานกับ σ_x และ OZ ขนานกับ σ_z หากเราพิจารณาในรูปสามมิติและกำหนดให้ XP มีความยาว 10^{-6} เมตร พื้นที่หน้าตัด XZQP มีค่าเท่ากับ $nx \times 10^{-12}$ ตารางเมตร ดังนั้นเราจะได้พื้นที่ของด้าน ORQZ เท่ากับ $nx \cos 65 \times 10^{-12}$ ตารางเมตรและพื้นที่ของด้าน OXP

เท่ากับ $n_x \sin 65 \times 10^{-12}$ ตารางเมตร เพื่อให้ง่ายจะตัด 10^{-12} ออกได้รูป 4.17 C เรากำหนดให้รูปสี่เหลี่ยม อยู่ในสภาวะสมดุล ขนาดของ σ_x ที่กระทำต่อ OZ มีค่าเท่ากับแรงกระทำตรงกันข้ามกับ σ_x นั่นคือ แรง F_{ox} ด้วยเหตุนี้ F_{xo} จึงเท่ากับ σ_x คูณด้วยพื้นที่หน้าตัดของสี่เหลี่ยม ORQZ หรือเขียนเป็นสมการ 4.11 ข้างล่างนี้ได้ว่า

$$F_{OX} = \sigma_x A_{ORQZ} \quad (4.11)$$

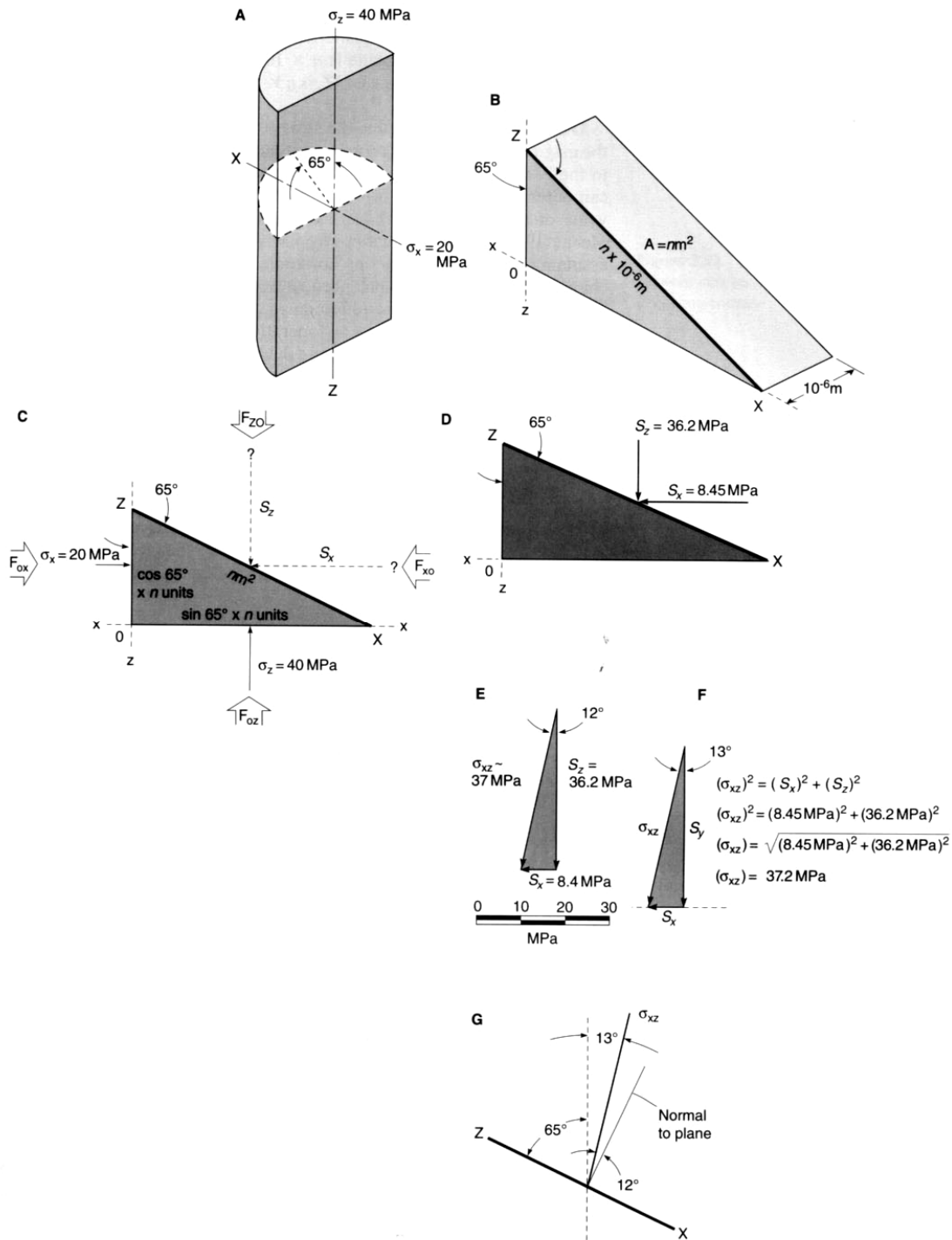
$$F_{OX} = 20 \text{ MPa} \times \cos 65^\circ \times \text{nm}^2 \text{ หรือ } = 20n_x \cos 65^\circ \text{ N}$$

$$\text{และ } F_{XO} = S_x \times n$$

$$\text{เนื่องจาก } F_{OX} = F_{XO}, S_x (\text{nm}^2) = 20 \text{ MPa} (\cos 65^\circ) (\text{nm}^2)$$

$$\text{และ } S_x = 20 \text{ MPa} (0.42)$$

$$\text{นั่นคือ } S_x = 8.4 \text{ MPa}$$



รูป 4.17 การคำนวณหาแรงเค้นบนระนาบ ณ จุด P ที่อยู่ลึกลงไปบนหินแกรนิต (A) เมื่อมองเข้าไปในหินแกรนิต ตามระนาบที่เอียง 65° จาก σ_z (B) แผนภาพสามมิติของระนาบและตัวหินที่อยู่ข้างใต้ (C) ภาวะสมดุลของแรงที่กระทำตรงจุดต่างในหิน (D) ค่าของแรงเค้นซึ่งขนานกับ x และ z ซึ่งคำนวณได้ (E) การคำนวณ ค่าทิศแรง(stress vector) ด้วยกราฟ (F) การคำนวณหาค่าทิศแรง โดยใช้กฎพีทาโกรัส (Pythagorean theorem) และ (G) ความสัมพันธ์ทางเรขาคณิตของทิศแรงต่อระนาบ (Davis & Reynolds, 1996)

ส่วนการคำนวณหาแรงเค้นแนวตั้ง(σ_z) ก็ทำได้เช่นเดียวกัน โดยเรากำหนดให้ S_z เป็นแรงเค้นที่กระทำในแนวตรงกันข้ามกับ σ_z โดยที่ S_z กระทำบนพื้นที่หน้าตัด XZQP จะได้

$$F_{OZ} = \sigma_z A_{OXPR} \text{ หรือ } = 40 \text{ MPa (sin} 65^\circ) (\text{nm}^2)$$

แรงที่กระทำตรงกันข้ามกับ F_{OZ} คือ F_{ZO} ซึ่งกำหนดให้ดังนี้

เพราะว่า

$$F_{ZO} = S_z x n$$

$$\text{ดังนั้น } F_{OZ} = F_{ZO}$$

$$S_z (\text{nm}^2) = 40 \text{ MPa (sin} 65^\circ) (\text{nm}^2)$$

$$\text{นั่นคือ } S_z = 40 \text{ MPa} \times (0.9) = 36.2 \text{ MPa}$$

สำหรับค่าของ S_z (ซึ่งคือ 36 MPa) และ S_x (ซึ่งคือ 8.4 MPa) ดังแสดงในรูป 4.17 D ถ้าเราต้องการคำนวณค่าที่กระทำกับระนาบ PQZX เราอาจคำนวณได้ 2 วิธี คือ แบบวาดรูป ตามหลักของเวกเตอร์ (รูป 4.17 E) โดยกำหนดระยะให้อยู่ในสเกลเดียวกัน หรือจากทฤษฎีของพีทาโกรัส (รูป 4.17 F) ส่วนใหญ่วิธีนี้นิยมทำมากกว่าเพราะรวดเร็วกว่า

$$\text{เนื่องจาก } S_{xz}^2 = S_x^2 + S_z^2$$

$$S_{xz}^2 = (8.4)^2 + (36.2)^2 = 1381$$

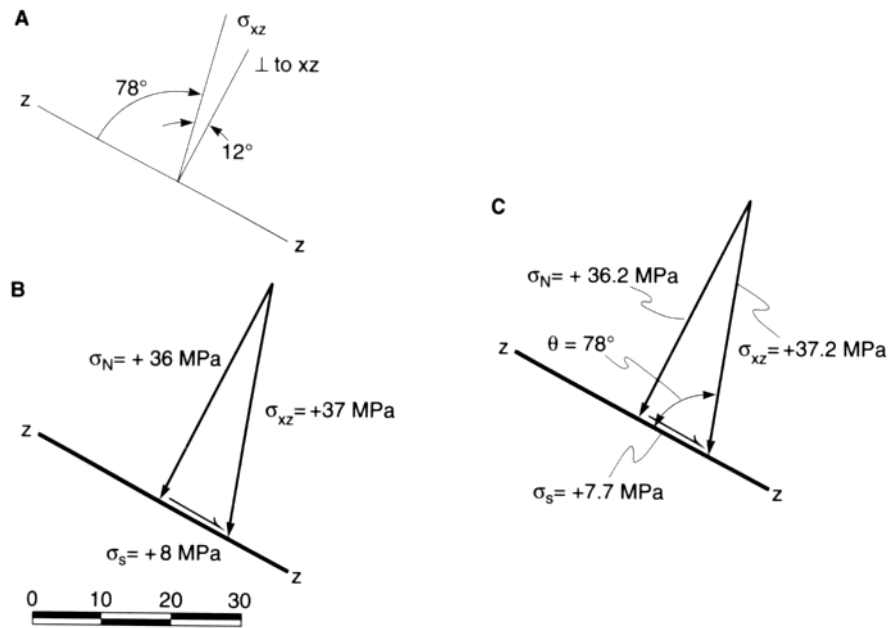
$$\text{นั่นคือ } \sigma_{xz} = 37 \text{ MPa}$$

และมุม β ที่ทำกับแกน z คำนวณได้จากสมการ

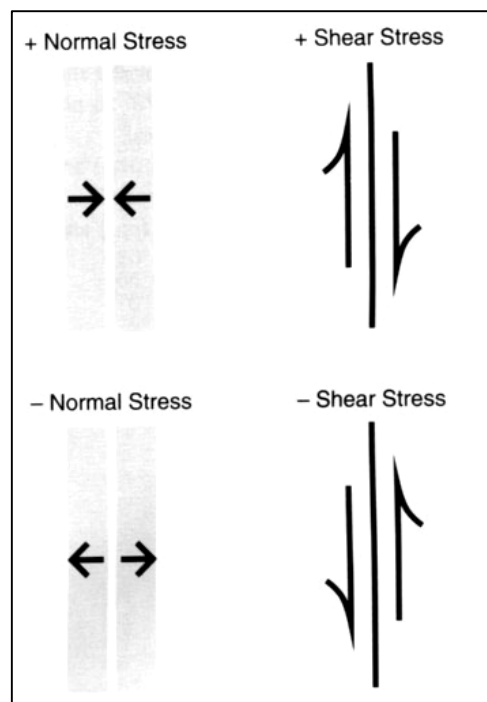
$$\sin \beta = S_x / \sigma_{xz} = 8.4 / 37 = 0.23$$

$$\beta = \arcsin 0.23 = 13^\circ$$

ในกรณีที่ σ_{xz} ไม่ได้ทำมุมตั้งฉากกับระนาบ XZ โดยเบี่ยงเบนไป 12° คือ $[90^\circ - (65^\circ + 13^\circ)]$ ดังรูป 4.17G เราสามารถแยกองค์ประกอบของ σ_{xz} ได้ โดยมีทิศทางตั้งฉากและขนานกับ σ_n และขนาน σ_s ไปกับระนาบ XZ เราเรียกว่า **ระนาบแรงเค้นตั้งฉาก (normal stresses)** และ σ_s เรียกว่า **ระนาบแรงเค้นเฉือน (shear stress)** ดังแสดงในรูป 4.17C สมมติให้มีมุมเบี่ยงเบนไป 12° ค่าของ $\sigma_n = 37 \cos 12^\circ = 36 \text{ MPa}$ และค่าของ $\sigma_s = 37 \sin 12^\circ = 7.7 \text{ MPa}$ (รูป 4.18) โดยที่ความเค้นตั้งฉากถ้าเป็นความเค้นอัดเราจะถือเป็นค่าบวก และถ้าความเค้นตั้งฉากเป็นความเค้นดึงเราจะถือเป็นค่าลบ ส่วนความเค้นเฉือนจะเป็นบวกเมื่อมีทิศทางการเฉือนไปทางขวามือ และจะเกิดลบได้ถ้ามีทิศทางการเฉือนไปทางซ้าย (รูป 4.19)



รูป 4.18 การแตกแรงออกเป็นแรงเค้นจากและแรงเค้นเฉือน (A) เมื่อให้แรงเค้นทำมุมกับระนาบ ZZ ประมาณ $+78^\circ$ ด้วยขนาดทิศแรงเฉือน XZ (B) การหาแรงเค้นจากและแรงเค้นเฉือนโดยกราฟ และ (C) การคำนวณ โดยใช้ตรีโกณมิติ สังเกต (B) และ (C) ได้ค่าเกือบเท่ากัน (Davis & Reynolds, 1996)



รูป 4.19 สัญลักษณ์ที่จำเป็นในการอธิบายชนิดแรงเค้นต่างๆ โดยที่เราให้แรงเค้นจากผิวเป็น+ (บวก) ถ้าเป็นแรงอัด และแรงเค้นจากผิวเป็น- (ลบ) ถ้าเป็นแรงดึง ส่วนแรงเค้นเฉือนเป็น + (บวก) เมื่อเป็นแรงเฉือนทางขวา และเป็น- (ลบ) เมื่อเป็นแรงเฉือนทางซ้าย (Davis & Reynolds, 1996)

ดังนั้นเราสามารถคำนวณหาแรงเค้นรวม แรงเค้นตั้งฉาก และแรงเค้นเฉือนในระนาบหนึ่งระนาบใดก็ได้โดยผ่านจุดใดจุดหนึ่งได้ ดังตัวอย่างที่แสดงในรูป 4.20 A และ B แต่เมื่อแรงเค้นที่ทำมุม 0° และ 90° กับแกน x หรือแกน z จะมีเพียงแรงเค้นตั้งฉากตั้งที่เกิดขึ้นในรูป 4.21 A และ B ส่วนในรูป 4.22 เป็นการคำนวณแรงเค้นรวม แรงเค้นตั้งฉาก และแรงเค้นเฉือน โดยที่ระนาบเปลี่ยนไปทุกๆ 5° ในรูปเราจะเห็นการเปลี่ยนขนาดของแรงเค้นเป็นรูปวงรี โดยมี σ_z ยาวที่สุด และ σ_x สั้นที่สุด ซึ่งเป็นแกนของรูปวงรีนั่นเอง (ดูรูป 4.23, 4.24, 4.25 และ 4.14)

ในกรณีที่แรงเค้นอัดเท่ากันในทุกทิศทาง เราจะให้ความสำคัญเป็นพิเศษ ทั้งนี้เพราะมีลักษณะเฉพาะคล้ายแรงเค้นในน้ำ (hydrostatic stress) ทุกจุดในของเหลวย่อมมีแรงดันที่เท่ากันในทุกทิศทางและด้วยปริมาณที่เท่ากัน ดังนั้นแรงดันจากของเหลวที่กระทำต่อผนังหรือระนาบในแนวตั้งฉากเท่านั้นจึงไม่มีความเค้นเฉือนเกิดขึ้น และความดันของของเหลวยังขึ้นอยู่กับความลึกและความหนาแน่นของของเหลว(หรือน้ำ) โดยไม่ขึ้นกับปริมาตร ตัวอย่างเช่น สมมติหินแกรนิตมีแรงดันในแนวตั้งและแนวนอนเท่ากัน คือ 12 MPa ดังรูป 4.26A โดยแรงนี้ทำมุมกับระนาบผิวแกรนิต = $48^\circ(\theta)$ จากการคำนวณแรงจะได้ $S_x=8.91$ MPa และ $S_x=8.02$ MPa (รูป 3.13 ข) คำนวณหาแรงเค้นจะได้ $\sigma_x=12$ MPa นั่นคือ $\sigma_N=12$ MPa (รูป 4.26C) ลักษณะแรงเค้นของเหลว (hydrostatic stress) เมื่อกำหนดจุดไปตามระนาบทุกๆ 5° (ดูรูป 4.27) กล่าวคือในสภาวะแรงดันของเหลว ณ จุด P' จะมีค่า $\sigma_1 = \sigma_3 = 12$ MPa ถ้าเราใช้สมการแรงเค้นพื้นฐานเพื่อคำนวณหา σ_N และ σ_s ที่กระทำต่อระนาบด้วยมุม $\theta = +30^\circ$ กับ σ_1 เราจะได้

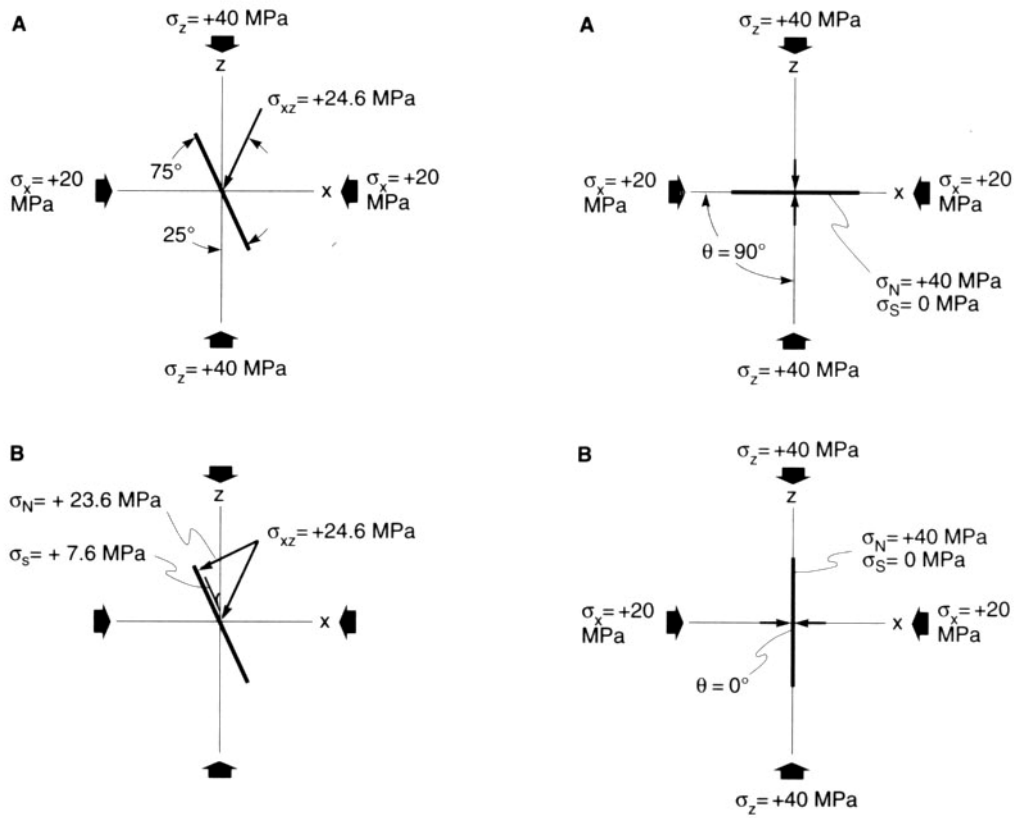
$$\sigma_N = \frac{12\text{MPa} + 12\text{MPa}}{2} - \frac{12\text{MPa} - 12\text{MPa} \cos 60^\circ}{2} = 12\text{MPa}$$

$$\text{และ } \sigma_s = \frac{12\text{MPa} - 12\text{MPa} \sin 60^\circ}{2} = 0\text{MPa}$$

ซึ่งจะเห็นว่าแรงเค้นเฉือน (σ_s) มีค่าเท่ากับศูนย์ นั่นคือ เราพบว่าแรงเค้นของเหลวจะไม่ทำให้หินบิดเบี้ยวหรือเปลี่ยนลักษณะไปเอง และไม่ปรากฏรูปวงรีของความเค้น(จะมีลักษณะเป็นวงกลมแทน) ได้แสดงในรูป 4.27

4.4.4 สมการแรงเค้น

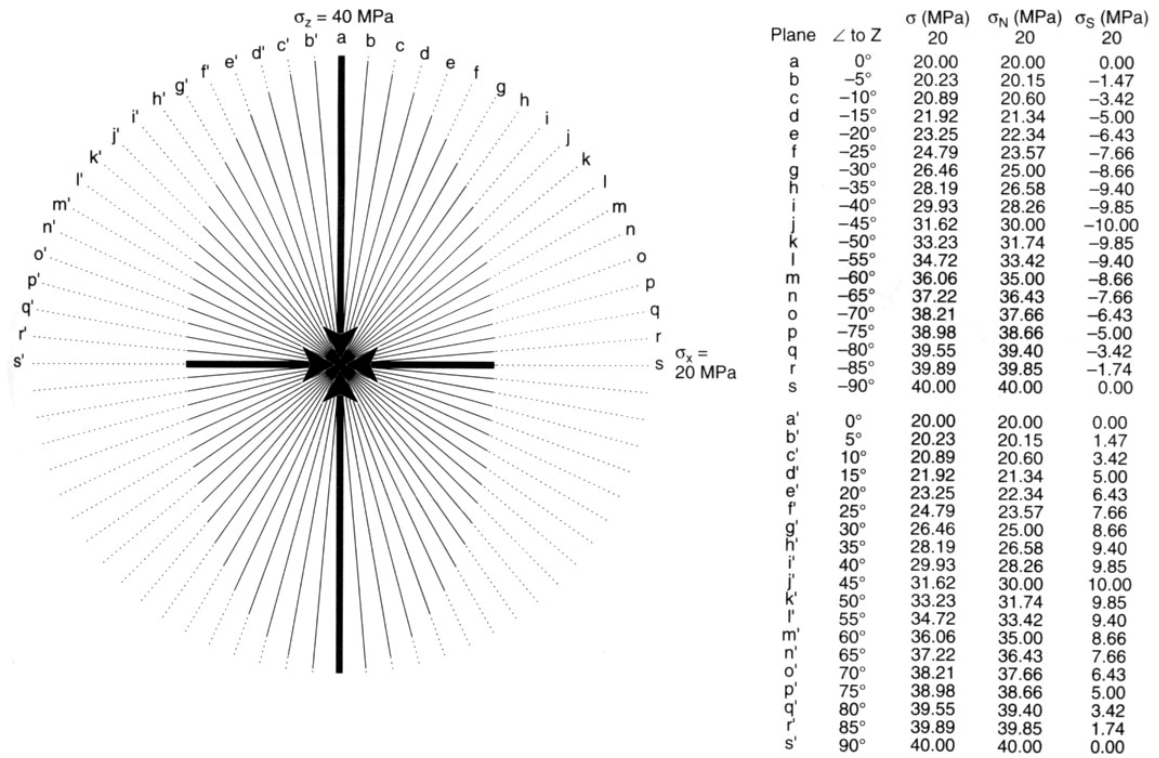
เมื่อเราทราบขนาดและทิศทางของแรงเค้นหลักสามค่าคือ σ_1, σ_2 และ σ_3 ณ จุดใดๆ เราก็สามารถคำนวณหาค่าแรงเค้นฉาก σ_N และแรงเค้นเฉือน σ_s ได้จากสมการ 3.12 และ 3.13 ซึ่งเรา



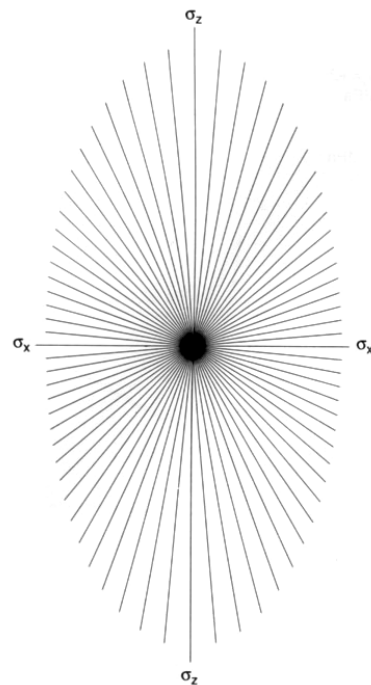
รูป 4.20 (ซ้าย) (A) เมื่อแรงเค้น xz (ขนาด $+24.6 \text{ MPa}$) ทำมุมกับระนาบ 75° และให้แรงเค้น $\sigma_x = +20 \text{ MPa}$ และ $\sigma_z = +40 \text{ MPa}$

(B) การแตกแยกแรงเค้น xz ออกเป็นแรงเค้นจาก 23.6 MPa และแรงเค้นเฉือน $+7.6 \text{ MPa}$

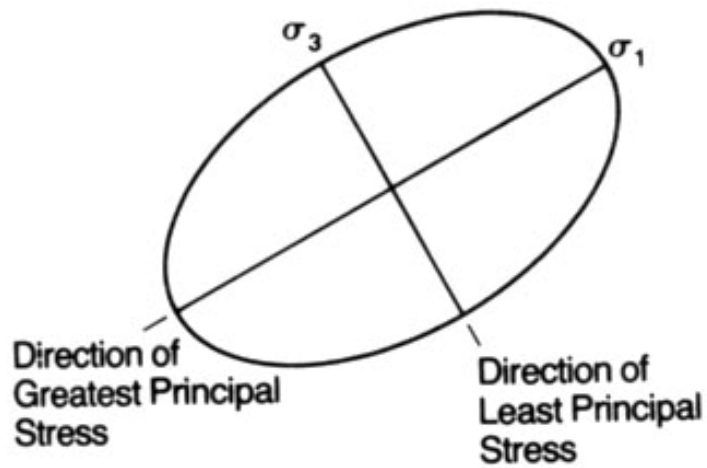
รูป 4.21(ขวา) กรณีพิเศษที่แรงเค้นหลักใหญ่ (σ_z) ขนาด (A) และตั้งฉาก (B) กับระนาบที่ถูกแรงกระทำโดย มี $\sigma_z = +40 \text{ MPa}$ และ $\sigma_x = +20 \text{ MPa}$ (Davis & Reynolds, 1996)



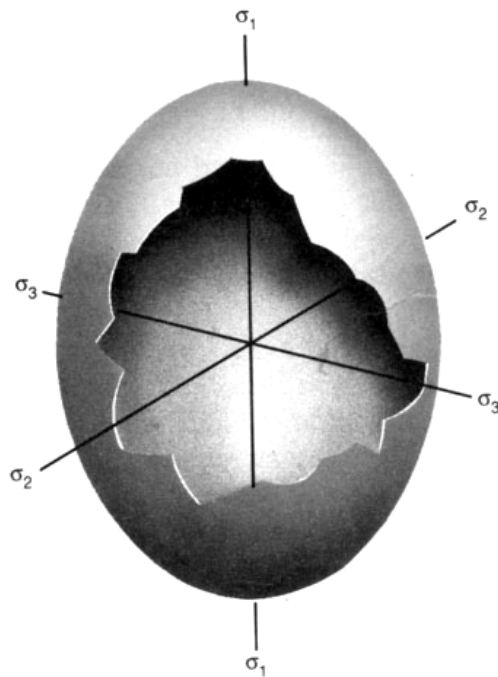
รูป 4.22 (ซ้าย) แรงเค้นค่ามากที่สุด σ_z มีค่า +40 MPa และมีแรงเค้นค่าน้อย σ_x มีค่า +20 MPa ส่วนเส้นที่กำหนดให้เป็น a-s และ b'-r' เป็นเส้นผ่านศูนย์กลาง โดยให้แต่ละเส้นห่างกัน 5° ต่อมาจึงคำนวณจากแรงเค้นประเภทต่างๆ เช่นแรงเค้นฉาก หรือแรงเค้นเฉือนที่กระทำบนระนาบ เพื่อแสดงให้เห็นถึงการเปลี่ยนแปลงอย่างเป็นระบบของแรงเค้น (Davis & Reynolds, 1996)



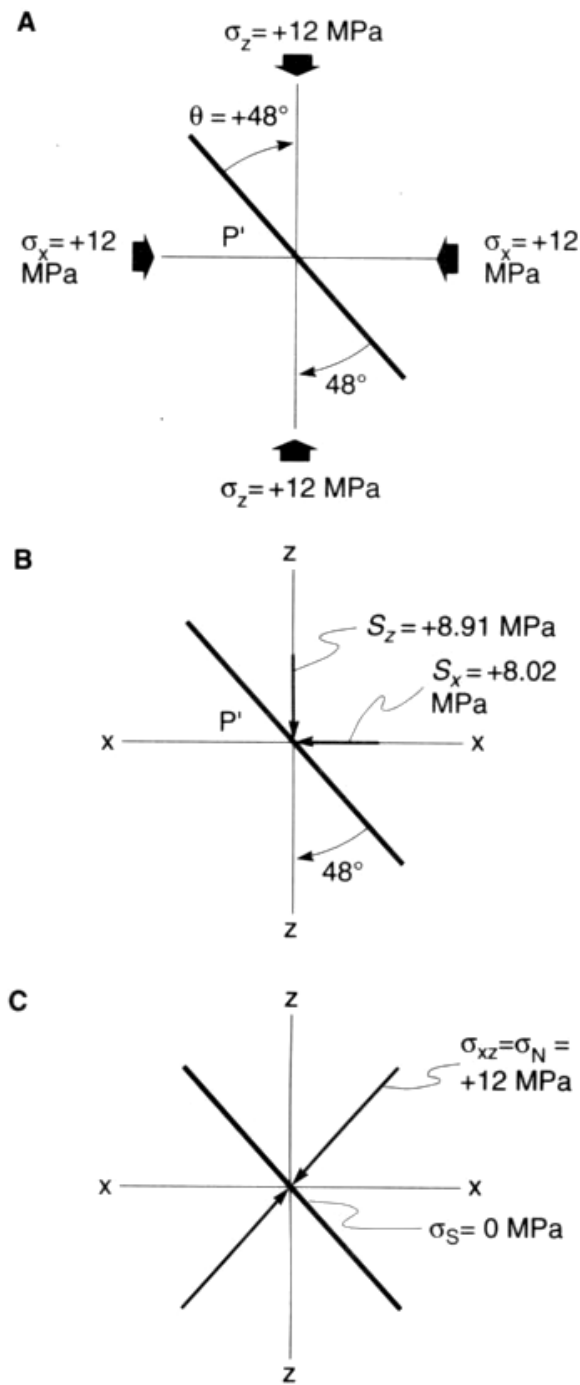
รูป 4.23 วงรีแรงเค้น (stress ellipse) ที่เกิดจากการจัดวาง แรงเค้น (σ) เข้าด้วยกัน และคำนวณหาจากรูปที่ทำไว้ก่อนหน้านี้ และจัดวางโดยให้ส่วนปลายมาพบกัน (Davis & Reynolds, 1996)



รูป 4.24 วงรีแรงเค้นแบบสองมิติที่แสดงถึงทิศและสัดส่วนของแรงเค้นหลักค่ามากที่สุด (σ_1) และค่าน้อยสุด (σ_3) ที่ตั้งฉากซึ่งกันและกัน (Davis & Reynolds, 1996)



รูป 4.25 วงรีแรงเค้นแบบสามมิติที่แสดงถึงทิศทางและสัดส่วนของแรงเค้นหลักค่ามากที่สุด (σ_1) ค่ากลาง (σ_2) และค่าน้อยสุด (σ_3) (Davis & Reynolds, 1996)



รูป 4.26 แรงเค้นเฉือนที่ปรากฏในสถานะที่เป็นแรงเค้นในน้ำ (A) ภาวะแรกเริ่มของแรงเค้นในน้ำ ในที่นี้ แรงเค้นที่ขนานกับ x และ z มีค่า 12 MPa (B) ความสมดุลของแรงที่จุด P ทำให้ได้ค่า $S_z = +8.91 \text{ MPa}$ และ $S_x = +8.02 \text{ MPa}$ และ (C) แรงเค้นเฉือน (σ) ซึ่งมี S_x และ S_z เป็นอวก์ประกอบก็จะ มีขนาด $= +12 \text{ MPa}$ เหมือนกัน (Davis & Reynolds, 1996)

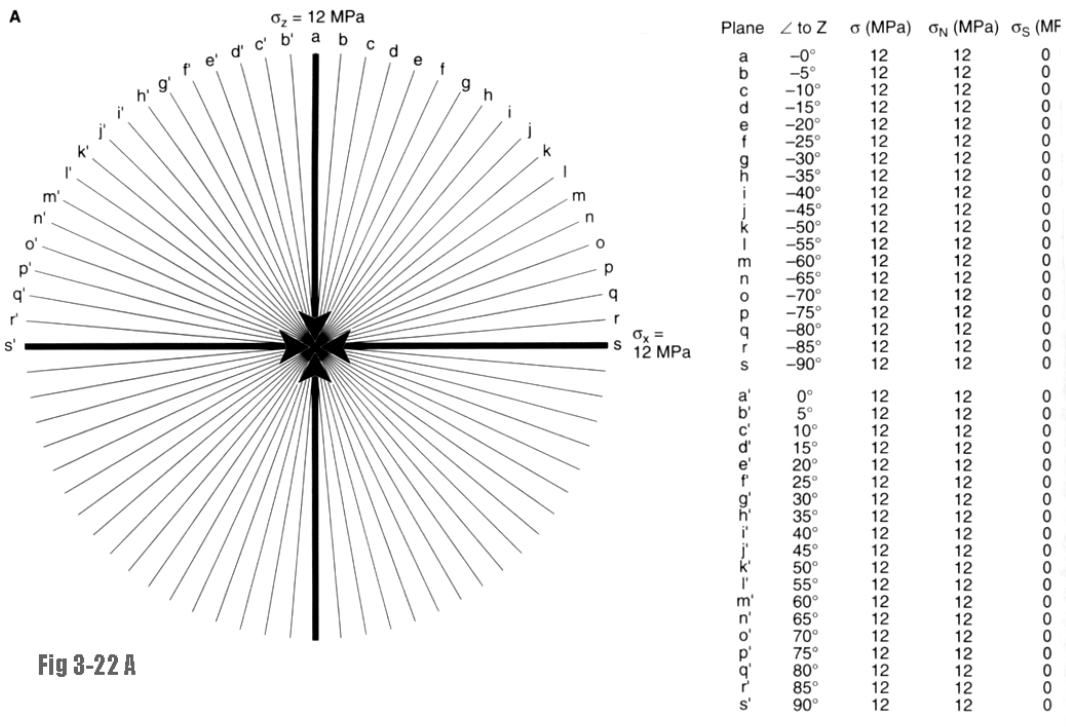
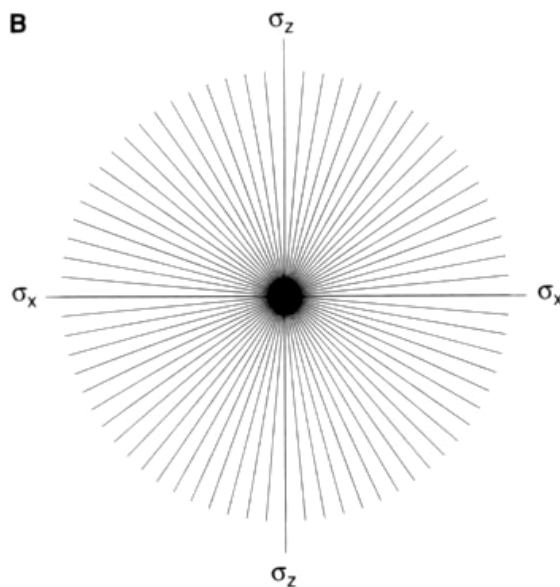


Fig 3-22 A

รูป 4.27 (A) วงกลมแรงเค้น (ซ้าย) ที่แสดงว่าค่าแรงเค้นดิ่ง และแรงเค้นนอน ต่างก็มีค่าเท่ากับ 12 MPa เส้นที่เป็น a-s และ b' - r' เป็นระนาบที่ทิ้งช่วงกันทุกๆ 5° และเรากำหนดค่าแรงเค้นหลัก แรงเค้นฉากและแรงเค้นเฉือนในทุกๆระนาบ (ขาค่าแรงเค้นหลักและแรงเค้นเฉือน) ไม่แสดงการเปลี่ยนแปลง (Davis & Reynolds, 1996)



รูป 4.27 (B) วงรีแรงเค้นที่เกิดจากการจัดวางแรงเค้นจากทุกทิศทุกทาง เพื่อให้ได้ทิศแรงเค้นที่จุดตรงกลาง (จุดศูนย์กลาง) (Hatcher, 1995)

ตาราง 4.2 สรุปการทดลองแรงอัดของหินปูนภายใต้ความดัน 28 103 และ 207 MPa (Davis & Reynolds, 1996)

ลักษณะข้อมูล	ตัวอย่าง 1	ตัวอย่าง 2	ตัวอย่าง 3
Confining pressure	28 MPa	103 MPa	207 MPa
Differential stress at failure	124 MPa	318 MPa	552 MPa
σ_1 at failure	152 MPa	421 MPa	759 MPa
σ_3 at failure	28 MPa	103 MPa	207 MPa
Angle (θ) between fault and σ_1	25°	30°	33°

เรียกสมการแรงเค้น (stress equation) ที่นักธรณีวิทยาโครงสร้างและวิศวกรโครงสร้างจัดว่าเป็นสมการพื้นฐานในการหาแรงเค้น

$$\sigma_N = \frac{\sigma_1 + \sigma_3}{2} - \frac{\sigma_1 - \sigma_3}{2} \cos 2\theta \quad (4.12)$$

$$\sigma_s = \frac{\sigma_1 - \sigma_3}{2} \sin 2\theta \quad (4.13)$$

เมื่อ θ คือมุมระนาบที่วัดในแนวตั้ง

เพื่อให้เกิดความชัดเจน เราขอยกตัวอย่างโดยพิจารณาจากรูป 4.15 และ 4.17 อีกครั้ง ณ จุด P ที่ลึกจากพื้นดิน 1.5 กม ในหินแกรนิตเปลือกโลก ค่าของ $\sigma_1=40$ MPa และ $\sigma_3=20$ MPa เราต้องการหา σ_n และ σ_s ของมุมระนาบ 30° (นั่นคือ $\theta=65$) กับ σ_1 ในที่สุดเราจะได้ตามสมการ

$$\sigma_N = \frac{40 + 20}{2} - \frac{40 - 20}{2} \cos 2 \times 30^\circ$$

$$\sigma_N = 30 - 10(-0.5000) = 36.427$$

$$\sigma_n = 25 \text{ MPa}$$

$$\sigma_s = \frac{40 - 20}{2} \sin 2 \times 30^\circ = 10 \text{ MPa (0.8660)}$$

$$\sigma_s = 8.6 \text{ MPa}$$

4.4.5 แผนภาพมอร์ (Mohr stress diagram)

แผนภาพวงกลมแรงเค้นของมอร์ช่วยให้เราเห็นภาพการเปลี่ยนแปลงแรงเค้นภายในวัตถุ และช่วยให้คำนวณหาแรงเค้นฉากและแรงเค้นเฉือน ที่ระนาบใดๆรอบวงกลม(360°)ได้อย่างรวดเร็ว ดังนั้นถ้าเราทราบค่าแรง σ_1 และ σ_3 เราก็สามารถหาค่าแรงเค้นฉากและเฉือน (σ_n และ σ_s) ได้จากแผนภาพ สำหรับการสร้างวงกลมมอร์มีวิธีการดังนี้ (ดูรูป 4.28)

- (1) สร้างแกน σ_N และ σ_s โดยให้แกน x เป็น σ_N และแกน y เป็น σ_s

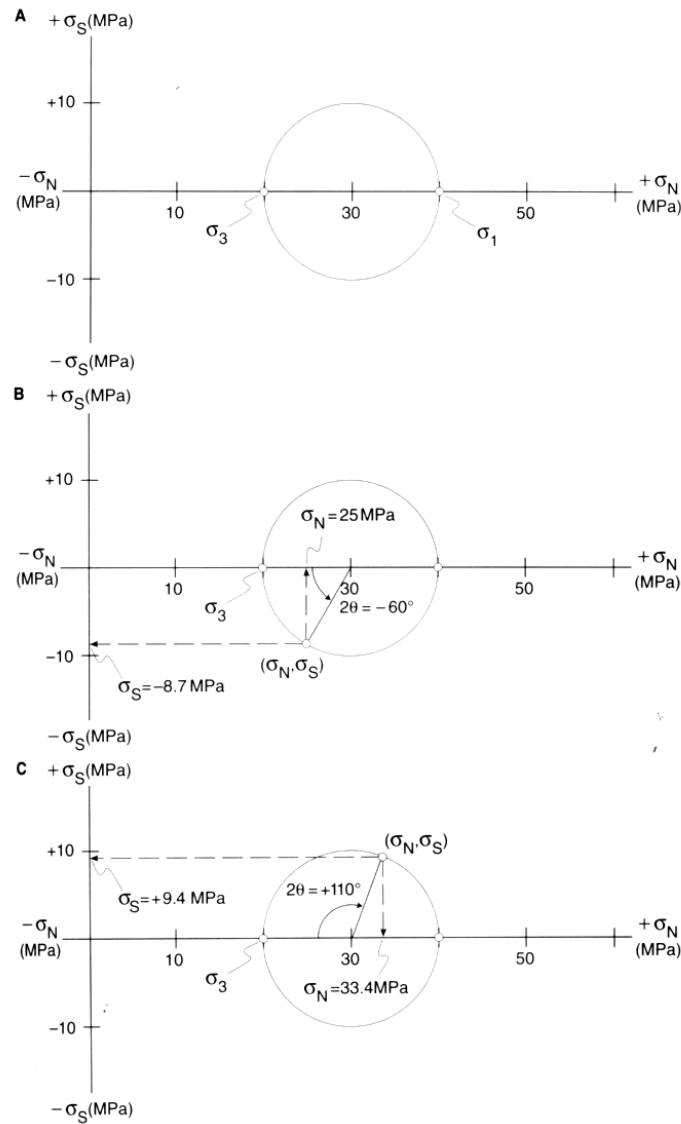
- (2) กำหนดจุดแรงเค้นหลัก σ_1 และ σ_3 ลงในแกนตั้งฉากซึ่ง σ_1 และ σ_3 ไม่มีค่า σ_s จึงกำหนดจุดลงที่ $\sigma_s=0$ นั่นคือบนแกน x
- (3) ลากวงกลมผ่านจุด σ_1 และ σ_3 โดยมีจุดศูนย์กลางกึ่งกลางบนแกน x
- (4) หา σ_N และ σ_s ของระนาบที่ต้องการทราบในมุม θ ต่างๆ ตามที่ต้องการ โดยที่มุมระหว่างเส้นรัศมีในวงกลมมีค่าเป็นสองเท่าของมุมระหว่างแกนตั้งฉากกับระนาบที่ตัดผ่าน
- (5) ในรูป 4.28 แสดงมุม $=-30^\circ$ กับ σ_1 อ่านค่า $\sigma_N=25$ MPa และ $\sigma_s=-8.7$ MPa ส่วนในรูป 4.28C แสดงมุม $+70^\circ$ σ_N และ σ_s อ่านค่า $\sigma_N=33.4$ MPa และ $\sigma_s=9.4$ MPa

ดังนั้นจากตัวอย่างในรูป 4.28 เราทราบว่า $\sigma_1 = 40$ MPa และ $\sigma_3 = 20$ MPa เราต้องการหา σ_N และ σ_s ของระนาบมุม 65° (นั่นคือ $\theta = 65^\circ$) ที่ทำกับ σ_1 เมื่อสร้างวงกลมมอร์ตามวิธีที่กล่าวมาข้างต้นจะได้ดังแสดงในรูป 4.29ก ส่วนรูป 4.29ข เป็นอีกตัวอย่าง ซึ่งเป็นการออกแรงกดแท่งหินให้หินแตกเพื่อหาแรงเค้นตั้งฉากและแรงเค้นเฉือนที่ระนาบการแตก ให้ลักษณะการวัด θ ของรูปที่แสดง

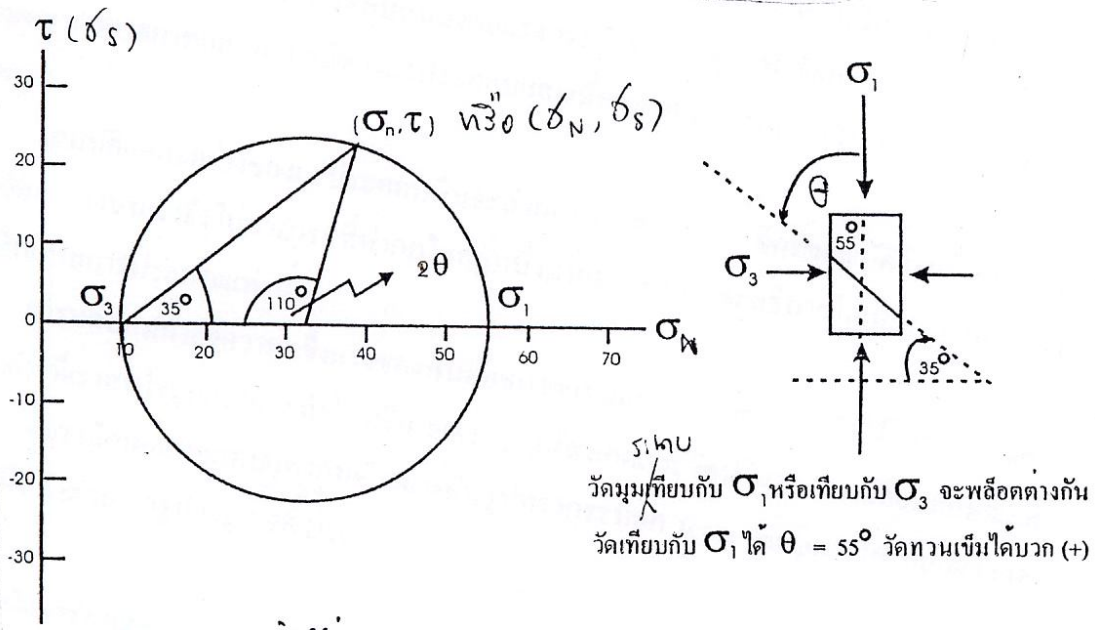
อนึ่ง สำหรับการหาค่าแรงเค้นตั้งฉาก เราต้องพิจารณามุม θ เทียบกับ σ_1 ในแนวตั้งเสมอได้เครื่องหมายเป็นลบในระหว่างภาคแรกและภาคสอง ซึ่งแตกต่างจากการวิเคราะห์แรงเค้นทางวิศวกรรมทั่วไปซึ่งพิจารณามุม θ เทียบแกนนอน (รูป 4.30) และได้เครื่องหมายเป็นบวกในระหว่างภาคแรกและภาคสองของสมการหา σ_n ดังนั้นเราควรพิจารณาให้ดีว่าขีดแกนใดเป็นหลัก หากเราคิดแนวแรงและมุมที่วัดเทียบจากแกนที่คำนวณถูก จะได้ผลการคำนวณที่ได้ค่าเท่ากัน และการกำหนดมุมเพื่อกำหนดจุดในวงกลมมอร์ ถ้ามุมที่วัดได้เทียบกับ σ_1 หรือ σ_3 เป็นแบบทวนเข็มนาฬิกา ซึ่งแตกต่างจากการหาความเครียดเฉือน

คำนิยามที่สำคัญๆ ในเรื่องวงกลมมอร์ได้ แสดงในรูป 4.31 โดยที่รัศมีวงกลมเป็นค่าเบี่ยงเบนแรงเค้น (deviatoric stress) เส้นผ่านศูนย์กลางวงกลมเป็นค่าความแตกต่างทางแรงเค้น (differential stress) และจุดกึ่งกลางวงกลมเป็นค่าเฉลี่ยของแรงเค้น (mean stress)

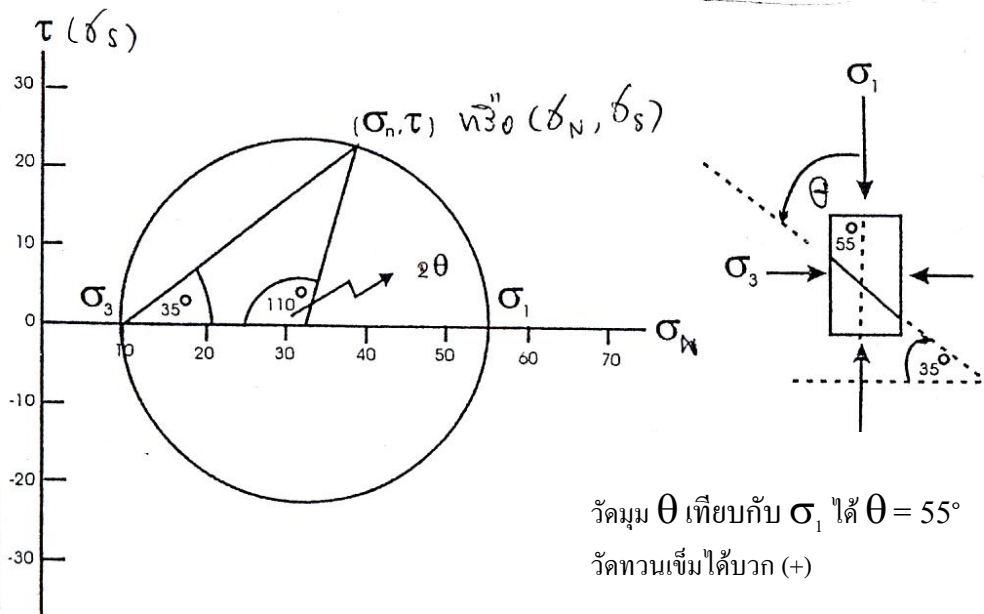
เมื่อเรานำแรงเค้นความดันน้ำมากำหนดจุดลงบนวงกลมมอร์โดยที่ $\sigma_1=\sigma_2=\sigma_3$ เราจะได้เป็นจุดอยู่บนแกน x ดังรูปที่ 4.22A ซึ่งเราไม่สามารถสร้างวงกลมได้ ส่วนกรณีของแรงเค้นแกนเดียว (uniaxial stress) จะมีค่าความเค้นหลักสองค่าเป็นศูนย์กลางอีกค่าหนึ่งไม่เท่ากับศูนย์กลาง เราจะได้วงกลมมอร์ผ่านจุดตัดของแกน x และแกน y ดังรูป 4.22B กรณีของแรงเค้นตามแกน (axial stress) นั้นต้องมีแรงเค้นหลักไม่เป็นศูนย์และแรงเค้นหลักอีกสองค่าต้องเท่ากัน ดังรูป 4.22C และกรณีสุดท้าย แรงเค้นสามแกน (triaxial stress) ซึ่งมีค่าแรงเค้นหลักไม่เท่ากันเลย และไม่เท่ากับศูนย์กลาง ดังรูป 4.22D ในรูป 4.23 เป็นอีกตัวอย่างหนึ่งที่แสดงถึงการใช้ประโยชน์ของวงกลมมอร์



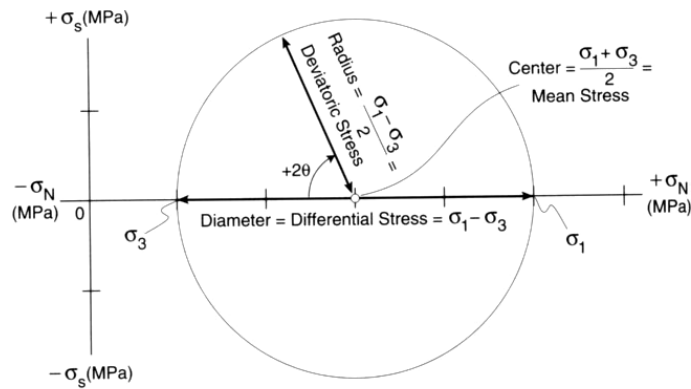
รูป 4.28 การสร้างวงกลมแรงเค้นมอร์ (A) กำหนดจุดของแรงเค้นหลักค่ามากที่สุด (σ_1) และค่าน้อยสุด (σ_2) ภายในและแกน x โดยกำหนดให้แรงเค้นจาก (σ_N) อยู่บนแกน x และแรงเค้นขนาน (σ_S) อยู่บนแกน y ต่อมาจึงสร้างวงกลมให้ผ่านแรงเค้นหลัก โดยมีจุดกึ่งกลางบนแกน x (B) คำนวณหาแรงเค้นจากหลัก (σ_N) และแรงเค้นขนานหลัก (σ_S) สำหรับระนาบทำมุม -30° กับทิศแรงเค้นหลัก วิธีการคือสร้างมุม -60° จากแกน x จุดตัดระหว่างเส้นรัศมีกับวงกลมจะให้จุดพิกัด (x,y) ที่เป็นค่า σ_N และ σ_S และ (C) เมื่อระนาบทำมุมกับทิศแรงเค้นหลักค่ามากที่สุด (σ_1) = $+55^\circ$ (Davis & Reynolds, 1996)



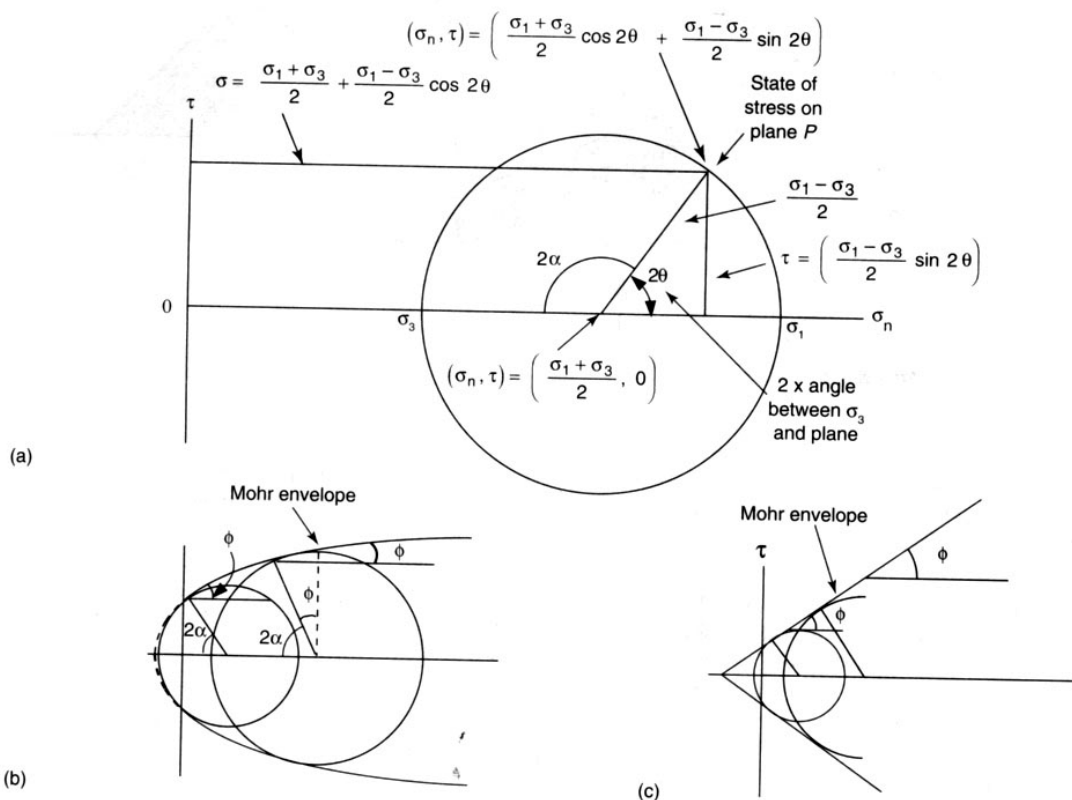
รูป 4.29 ตัวอย่างวงกลมมอร์แสดงการหาแรงเค้นเฉือน (σ_s หรือ τ) และแรงเค้นตั้งฉาก (σ_N) ของตัวอย่างในรูป 4.6 ในรูปได้แรงเค้นเฉือน = 8 MPa และแรงเค้นตั้งฉาก = 35 MPa (เพียงตา ศาตวรรษ, 2546)



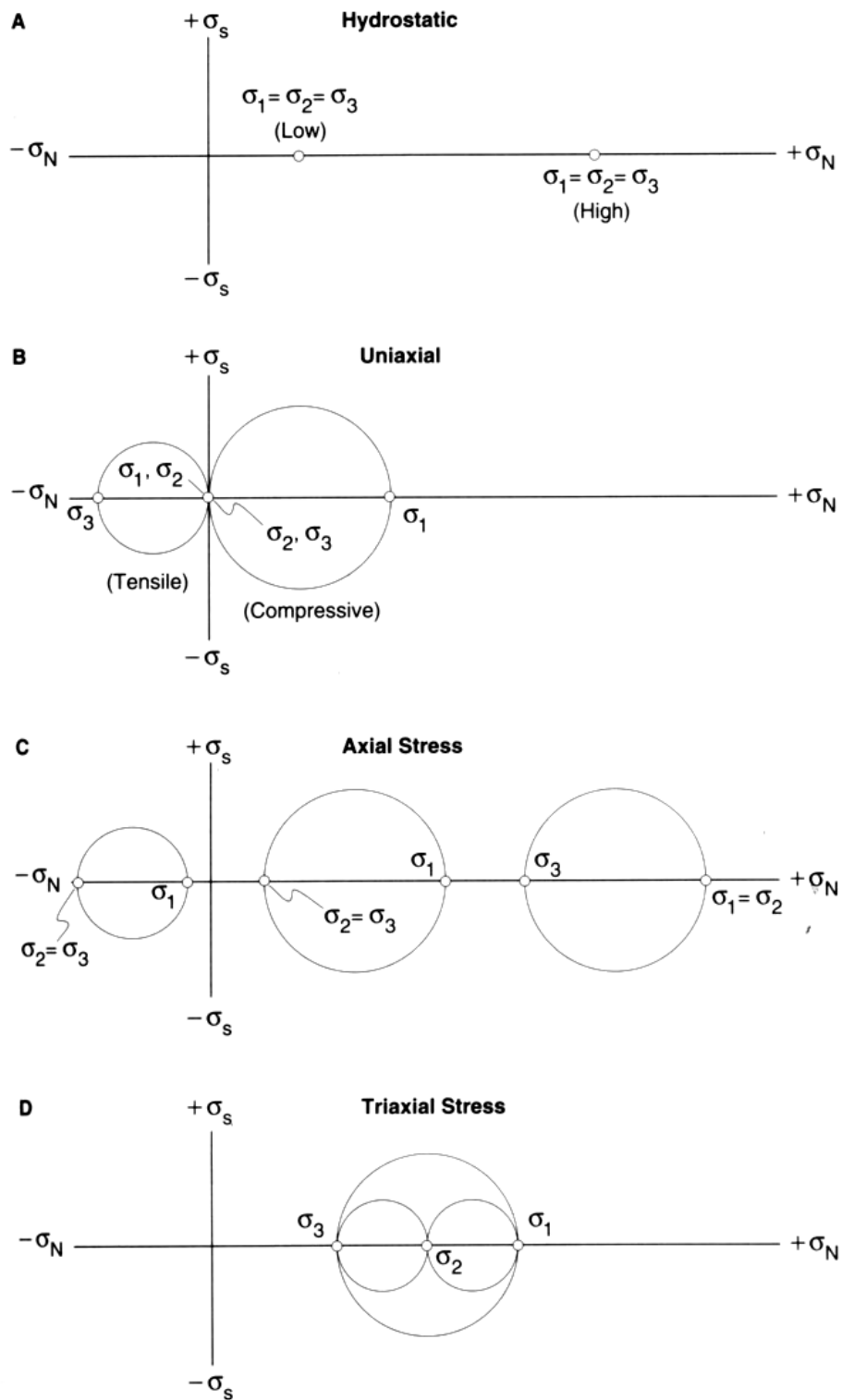
รูป 4.30 ตัวอย่างวงกลมมอร์แสดงการหาแรงเค้นเฉือน และแรงเค้นตั้งฉาก ของแท่งตัวอย่างหินเมื่อออกแรงกดให้แตก โดยวัดมุม θ เทียบกับ σ_1 ซึ่งกำหนดให้มุมที่วัดทวนเข็มนาฬิกาเป็นบวก หรือตามเข็มนาฬิกาเป็นลบ เมื่อเป็นบวกจะวัดแกนบวก แต่ถ้าเป็นลบจะวัดแกนลบ (เพียงตา ศาตวรรษ, 2546)



รูป 4.31 จุดศูนย์กลางของวงกลม(แรงเค้น)มอร์แสดงถึงค่าแรงเค้นเฉลี่ยซึ่งเป็นค่าแรงเค้นในน้ำ (hydrostatic stress) โดยที่ค่าแรงเค้นเฉลี่ยก่อให้เกิดการยืดหด (dilation) ส่วนรัศมีของวงกลมมอร์แสดงถึงค่าแรงเค้นที่ไม่ใช่จากในน้ำ (nonhydrostatic stress) ซึ่งเป็นค่าแรงเค้นที่ทำให้เกิดการบิดเบี้ยว (distortion) และจัดเป็นแรงเค้นเบี่ยงเบน (deviatoric stress) และเส้นผ่าศูนย์กลางของวงกลมมอร์ แสดงถึงค่าแตกต่างของแรงเค้น (differential stress) (Davis & Reynolds, 1996)



รูป 4.33 (a) วงกลม (แรงเค้น) มอร์ที่มีแกน x เป็นค่าแรงเค้นจาก (σ_n) และแกน y เป็นค่าแรงเค้นเฉือน (σ_s หรือในรูปนี้ τ) และความสัมพันธ์ระหว่างมุม 2α กับ 2θ ในรูป (b) และ (c) ขอให้สังเกตความแตกต่าง กล่าวคือถ้าเป็นกรอบเส้นโค้ง ในรูป (b) มุมที่เปลี่ยนแปลงได้คือ ϕ แต่ถ้าเป็นกรอบเส้นตรงในรูป(c) มุม ϕ ไม่เปลี่ยนแปลง และเราจัดว่าเป็นมุมการเสียดสีภายใน (internal friction) และ $\tan \phi$ เป็นค่าสัมประสิทธิ์การเสียดสีภายใน (Hatcher, 1995)



รูป 4.32 ความหลากหลายของแรงเค้นในรูปแบบต่างๆที่อธิบายได้จากวงกลมมอร์

- (ก) ภายใต้แรงดันน้ำ (hydrostatic stress)
- (ข) ภายใต้แรงเค้นแกนเดียว (uniaxial stress)
- (ค) ภายใต้แรงเค้นตามระนาบแกน (axial stress) และ
- (ง) ภายใต้แรงเค้นสามแกน (triaxial stress) (Davis & Reynolds, 1996)

4.5 ความสัมพันธ์ระหว่างแรงเค้นกับความเครียด

วิชาที่ศึกษาเกี่ยวกับความสัมพันธ์ระหว่างแรงเค้นและความเครียดของหินเรียกว่า **วิทยาแรง (rheology)** ซึ่งเสนอโดย T. Engelder และ S. Marshak (1988) โดยอาศัยผลการตอบสนองแรงเค้นของหินในสภาวะต่างๆ เช่น อุณหภูมิ ความดันรอบข้าง ความดันของเหลว(fluid pressure) และอัตราเร็วของการเกิดความเครียด(strain rate) ดังนั้น ถ้าหากเราสามารถบ่งบอกขนาดแรงเครียดของหินที่ถูกแรงกระทำ เราก็สามารถอธิบายปรากฏการณ์ต่างๆ ที่เกิดขึ้นกับโครงสร้างธรณีวิทยาได้ โดยใช้วิธีย้อนกลับ (reconstruction) และแปลความหมายโครงสร้างต่างๆ ได้

เพื่อให้เราเข้าใจถึงสมบัติของหินต่อแรงกระทำ เราจำเป็นต้องทดสอบในห้องปฏิบัติการ โดยนำหินตัวอย่างมาให้อยู่ภายใต้แรงกระทำในเงื่อนไขต่างๆ และสังเกตการเปลี่ยนแปลงลักษณะของหิน เพื่อบ่งบอกลักษณะเฉพาะตัวของการเปลี่ยนแปลงลักษณะนั้น ผลที่ได้จากการทดสอบช่วยให้เราคำนวณและวิเคราะห์แรงเค้นเพื่ออธิบายปรากฏการณ์ของหินต่อการเปลี่ยนแปลงได้

เนื่องจากโลกไม่ได้ประกอบด้วยหินเนื้อเดียวกันเพียงชนิดเดียว ดังนั้นเราจึงไม่สามารถใช้กฎเพียงกฎเดียวมาอธิบายความสัมพันธ์ระหว่างแรงเค้นและความเครียดของหินในโลกได้ อีกทั้งหินภายในโลกมีลักษณะเป็นแบบไม่เป็นเนื้อเดียวหรือวิวิธกัณฑ์(inhomogeneous) และมีแร่ประกอบภายในหินแต่ละชนิดแตกต่างกันด้วย รวมทั้งเนื้อหิน(texture) แต่ละชนิดก็ต่างกันด้วย รวมทั้งการวางตัวของหินและการเกิดโครงสร้างต่างๆ ไม่ว่าจะขนาดเล็กหรือขนาดใหญ่ สิ่งเหล่านี้ล้วนทำให้หินมีสภาพแบบวิวิธกัณฑ์ ดังนั้นเมื่อหินถูกแรงกระทำ การตอบสนองต่อแรงกระทำจึงขึ้นอยู่กับปัจจัยหลัก 2 ประการคือ (1) ลักษณะทางกายภาพและทางเคมีของแร่ประกอบและเนื้อของหิน และ (2) เงื่อนไขของการเปลี่ยนแปลง

สมบัติแต่ละอย่างของแร่ประกอบหินมักส่งผลในภาพรวมที่เกี่ยวข้อง ดังนั้นเราจึงไม่สามารถที่จะหากฎใดกฎหนึ่งมาอธิบายได้ จึงอธิบายได้เพียงปรากฏรวมๆ และเป็นแบบการประมาณการเท่านั้น

ในการทดสอบกำลังความแข็งแรงของหินต่อขนาดแรงเค้น เราสามารถทำได้โดยการนำเอาหินตัวอย่างที่เราสนใจให้ถูกแรงกระทำในปริมาณต่างๆ โดยสังเกตและวัดปริมาณการเปลี่ยนแปลงที่ปรากฏ ซึ่งเรามักนิยมทดสอบแท่งกับตัวอย่างหินรูปทรงกระบอก (core sample) โดยออกแรงกดหรือแรงดึง ดังตัวอย่างรูป 4.34

4.5.1 ชนิดการทดสอบ

ในการทดสอบความแข็งแรงของหินต้องใช้เครื่องมือพิเศษที่เรียก “vessel press” (รูป 4.35) และเราแบ่งการทดสอบออกได้อย่างง่ายเป็น 3 แบบ ได้แก่

ก. การทดสอบแรงกดอัดตามแกนเดียว(Axial compression) เป็นการทดสอบความแข็งแรงของหิน โดยกำหนดให้ $\sigma_2 = \sigma_3$ เป็น ความดันใต้โลก (confining pressure) ที่กระทำทั่วทั้งแท่งหินตัวอย่าง จากนั้นจึงให้แรงกดเพิ่มที่ปลายของแท่งหินตัวอย่าง ทั้งสองด้าน (รูป 4.36A) ให้สังเกตรอยแตกที่เกิดขึ้นและวัดการเปลี่ยนแปลงของแท่งหินตัวอย่างนั้น

ข. การทดสอบการยืดตามแกนเดียว (Axial extension) เป็นการทดสอบความแข็งแรงของหิน โดยการกำหนดให้ $\sigma_1 = \sigma_2$ และออกแรงดึง (σ_3) ที่ปลายทั้งสองด้านของแท่งหินตัวอย่าง (รูป 4.36B) การเปลี่ยนลักษณะจึงได้การยืดออกจากกัน

ค. การทดสอบการดึง(Tensile test) เป็นการทดสอบความแข็งแรงของหินโดยการดึง จากผลของการดึง หินจะมีความแข็งแรงน้อยเมื่อถูกดึง ดังนั้นการทดสอบแบบดึง จึงเป็นที่สนใจมากกว่าการทดสอบวิธีอื่น เพราะเป็นความแข็งแรงที่น้อยที่สุด ดังนั้นหากมีแรงเค้นเกินกำลังความแข็งแรงหินเกิดการวิบัติ (รูป 4.36C)

4.5.2 การหาค่าการยืดหด

ไม่ว่าจะเป็นการทดสอบแรงกดอัดตามแนวแกนเดียวและการทดสอบการยืดตามแกนเดียว เราถือว่าเป็นการทดสอบแบบสามแกน(triaxial test) และนิยมเรียกเป็นภาษาอังกฤษว่า “ไตรเอกเซียว” โดยใช้เครื่องมือที่เรียก “Donath” (เครื่องโดนัท) (ดูรูป 4.37 และ 4.38) การทดลองทำได้โดยใส่น้ำหนักลงไปตามแกนยาว และคำนวณหาแรงเค้นจากสูตร $\sigma = \text{น้ำหนัก/พื้นที่}$ ดังนั้นถ้าแท่งหินมีรัศมี 0.617 ซม พื้นที่รับแรงจึงเท่ากับ 1.19 ซม² แรงเค้นจะมีค่าเท่ากับ 1.524 กก/ซม² ซึ่งคือ 152 MPa เพราะมีแรงกระทำทั้งสามทิศทาง แต่เมื่อพิจารณาถึงหลักการทดสอบแล้ว ไม่ได้ทำให้ $\sigma_1 \neq \sigma_2 \neq \sigma_3$ ทั้งสามแกน

ในการทดสอบเราจะวัดค่าการยืด(ϵ)ของแท่งหินตัวอย่าง และวัดอัตราความเครียด(strain rate, $\dot{\epsilon}$) โดยใช้ความสัมพันธ์ตามสมการ

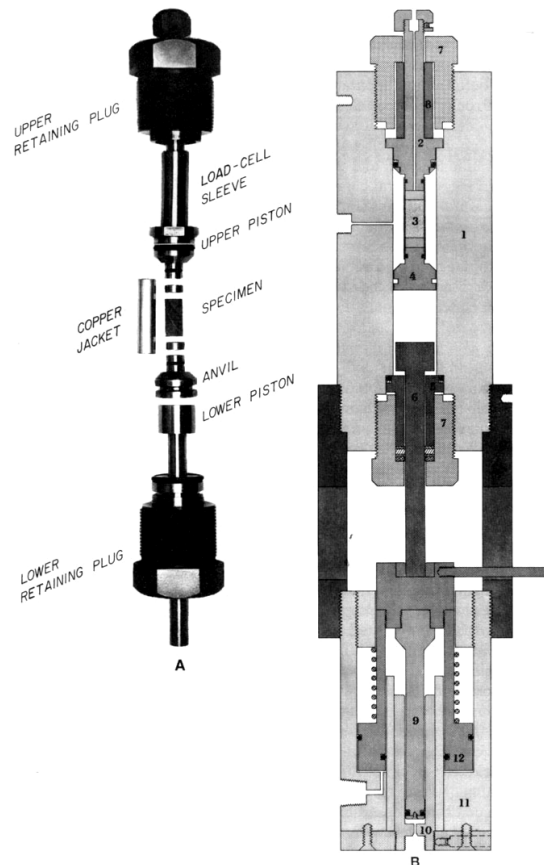
$$\dot{\epsilon} = \frac{e}{t}$$

ตัวอย่างเช่น แท่งหินดินเหนียวมีความยาวเริ่มต้น $I_0 = 2.297$ เซนติเมตร นำมาทดสอบแรงกดอัดตามแนวแกนเดียว ในเวลา 1 ชั่วโมง พบแท่งหินดินเหนียวยาว $I_t = 2.280$ เซนติเมตร ดังนั้นเราจึงหาอัตราความเครียดได้โดยใช้สมการข้างล่างนี้

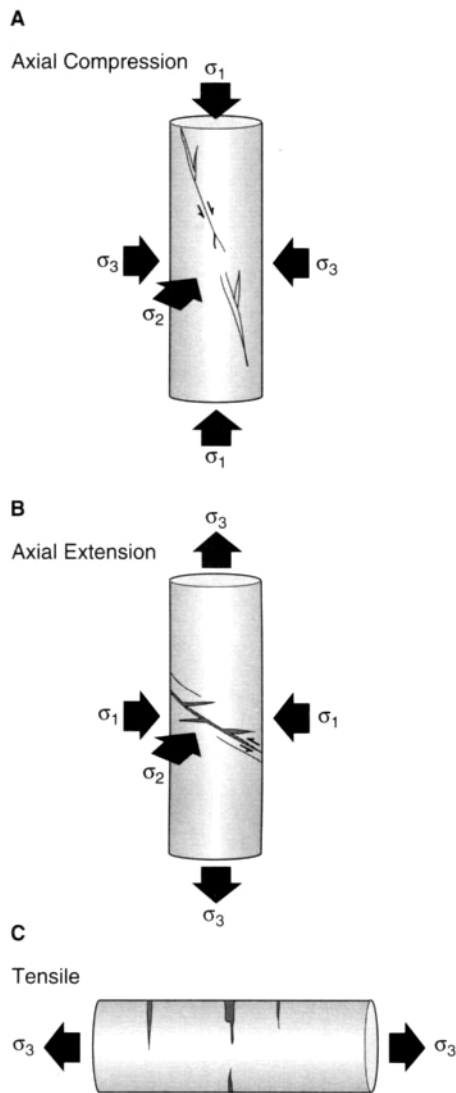
$$\dot{\epsilon} = \frac{e}{t} = \frac{(2.280 - 2.297)/2.297}{60 \text{ min} \times 60 \text{ s/min}} = \frac{-0.017}{2.297} \times \frac{1}{3600 \text{ s}} = -2.1 \times 10^{-6} \text{ s}^{-1}$$



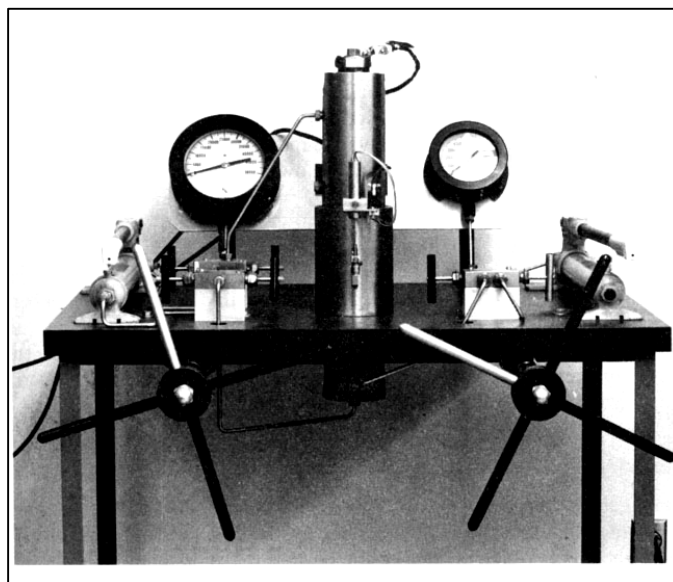
รูป 4.34 การวิบัติของแท่งหินจากการทดสอบความแข็งแรงในห้องปฏิบัติการ โครงสร้างหิน
สังเกตจากปลอกทองแดงผนังบางที่ห่อหุ้มตัวหิน ภาพซ้ายเป็นการวิบัติหรือรอยเลื่อนในหินขนวน
ภาพกลางเป็นรอยเลื่อนไขว้กัน (*conjugate fault*) ของหินทราย และภาพขวาเป็นการบิดย้วย (*ductile
flow*) ก่อนเกิดการวิบัติในหินปูน (Davis & Reynolds, 1996)



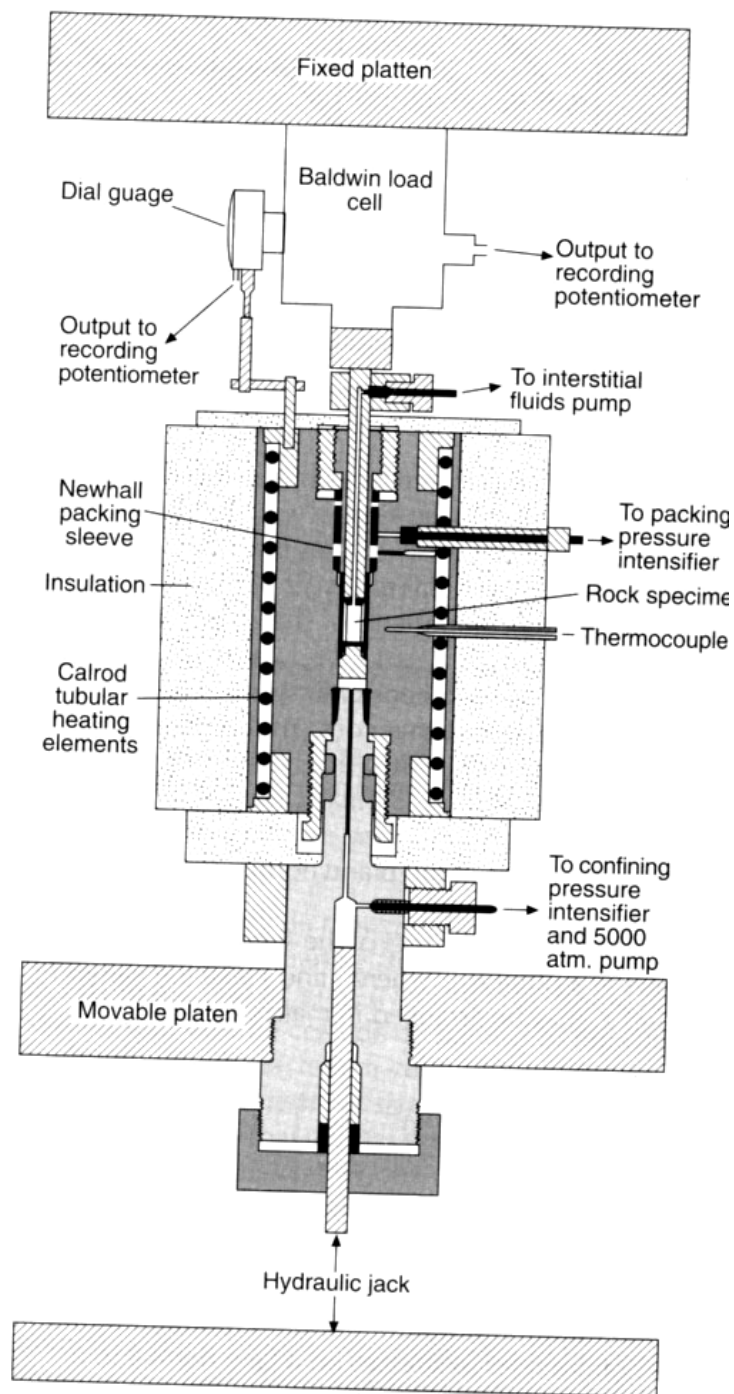
รูป 4.35 (A) ส่วนภายในของกระบอกแรงดัน (*pressure vessel*) โคนัทแสดงถึงความสัมพันธ์
ระหว่าง แท่งหิน (และปลอกทองแดง) กับตัวอัดแรงดัน (B) ในกระบอก โคนัทแสดงส่วนประกอบ
ต่างๆ 1. *pressure vessel* 2. ตัวปิดลิ้นคบน 3. แท่งหินตัวอย่าง 4. ทัง (*anvil*) 5. ตัวปิดลิ้นคกลาง 6.
ลูกสูบ (*piston*) 7. ตัวกัน 8. ส่วนบรรจุตัวอย่าง (*load cell*) 9. ลูกสูบข้างล่าง 10. หรือ 11. ขอบด้านใน
12. ลูกสูบด้านข้าง 13. ปลอก (Donath, 1970)



รูป 4.36 การทดสอบการเปลี่ยนลักษณะแบบ
 ต่างๆ (A) แรงอัดตามแกน (axial compression)
 (B) แรงดึงตามแกน (axial extension) และ (C)
 แรงดึง (tensile stress)



รูป 4.37 เครื่องมือทดสอบแรงอัด-แรงดึงอย่างง่ายของคุณโคไนท์ (Donath, 1970) (Davis & Reynolds, 1996)



รูป 4.38 เครื่องมือวัดแรงอัด-ดึงชนิดสามแกน โดยใช้แจ็กกดอัดเพื่อหาแรงเค้นหลักค่ามากที่สุด (σ_1) และเราสามารถวัดความเครียดได้ทันที โดยคิดจากร้อยละการหดตัวของแท่งหิน (Giggs และคณะ, 1960)

หรืออีกตัวอย่างหนึ่ง แท่งหินปูนมีความยาวเริ่มต้น $I_0 = 3$ เซนติเมตร ถ้าเราทำให้แท่งหินหดสั้นลง ด้วยค่าอัตราการความเครียด -10^{-5} s^{-1} เราจะได้ความยาวเป็นเท่าไรเมื่อเวลาผ่านไป 5 นาที

$$\text{เนื่องจาก} \quad e = \frac{\Delta I}{I} = \frac{\Delta I}{3.0 \text{ cm}}$$

$$\text{และ} \quad \varepsilon = \frac{e}{t} = \frac{-\Delta I / 3 \text{ cm}}{300 \text{ s}}$$

$$\text{ดังนั้น} \quad \varepsilon = \frac{\Delta I}{3 \times 5 \times 60} = -10^{-5}$$

$$\text{หรือ} \quad \Delta I = -900 \times 10^{-5} \text{ cm}$$

$$\text{คิดเป็น} \quad \Delta I = -0.09 \text{ mm}$$

ดังนั้นเราจึงสรุปจากการทดลองได้ว่าเมื่อเวลาผ่านไป 5 นาที หินปูนหดสั้นไป 0.09 มิลลิเมตร โดยมีอัตราการความเครียด -10^{-5} ซึ่งดูเหมือนจะช้ามาก แต่เมื่อเทียบกับการเกิดภูเขาต่างๆ ไปแล้ว อัตราการความเครียดของการเกิดภูเขาจะมีค่าประมาณ 10^{-14} S^{-1} หรือต่อวินาที ที่นี้เพื่อให้เกิดความสนุกสนานคิดเล่นๆ ว่า ถ้าแท่งหินปูนเดิมยาว 3 ซม ใน 5 นาทีแรกมีอัตราการหดสั้น 10^{-14} ต่อวินาที (เท่ากับกระบวนการเกิดภูเขาหรือบรรพตรังสรรค์) ลองคำนวณดูว่าหินปูนหดสั้นไปเท่าใด

การทดสอบแรงกดอัดตามแนวแกนเดียวมักเป็นการให้อัตราการความเครียดคงที่โดยที่เราต้องกำหนดอุณหภูมิ ความดันน้ำ และความดันรอบข้างเสียก่อน โดยให้ถูกกระทำที่ตรงปลายทั้งสองข้าง ซึ่งโดยทั่วไปมีวิธีการดังนี้ เตรียมแท่งตัวอย่างทดสอบที่อุณหภูมิห้อง สมมติให้เป็นหินปูนยาว 2.5 เซนติเมตร และมีรัศมี 0.635 เซนติเมตร โดยกำหนดความดันรอบข้าง 28 MPa และทำให้มีอัตราการความเครียดสูงๆ และกำหนดเวลาการทดลองประมาณ 10-20 นาที ในที่สุดหินปูนจะหดสั้น (dilation) โดยที่เราสามารถคำนวณพื้นที่หน้าตัดของแท่งหินปูนคำนวณได้จากพื้นที่หน้าตัดของหินตัวอย่าง

$$\text{เมื่อ} \quad A = \pi r^2 = 3.1416 (0.635)^2$$

$$\text{เราจะได้} \quad A = 1.267 \text{ cm}^2$$

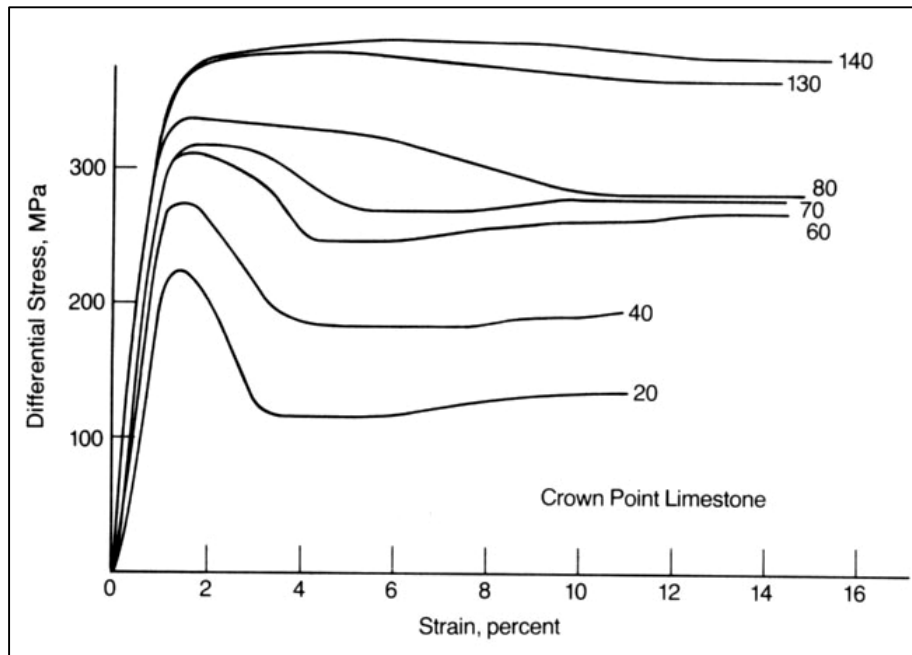
สมมติเราวัดน้ำหนักกดที่ใส่เข้าไปในแท่งหินปูน เราสามารถเขียนแผนภาพแรงเค้นและความเครียดได้ (ดูรูป 4.39 ถึง 4.43) ที่นี้ลองพิจารณา แผนภาพแรงเค้นต่อความเครียด ซึ่งแสดงถึง

แกน Y คือความต่างความเค้น (differential stress) นั่นก็คือ $\sigma_d = \sigma_1 - \sigma_3$ และแกน x เป็นค่าการหดสั้น (คิดเป็น %) ($=\Delta l/l$) ถ้าหินมีสมบัติยืดหยุ่นจะพบความสัมพันธ์ระหว่างแรงเค้นกับความเครียดเป็นเส้นตรง ซึ่งเมื่อเราเอาน้ำหนักกดทับออกหมดความยาวของหินที่ลดลงจะกลับมาเท่าเดิมทันที (หรืออาจจะต้องใช้เวลาบ้างในการกลับคืนสู่สภาพเดิม) เมื่อมีน้ำหนักกดทับเพิ่มขึ้น หินจะหดสั้นลงเส้นทางคืนสู่สภาพเดิมของหินเมื่อเอาน้ำหนักกดทับออก เรียกว่า วงจรฮิสเทอรีซิส (hysteresis loop) ดังรูป 4.44 แต่อาจต้องใช้เวลาในการกลับสู่สภาพเดิมนานกว่า (time lag)

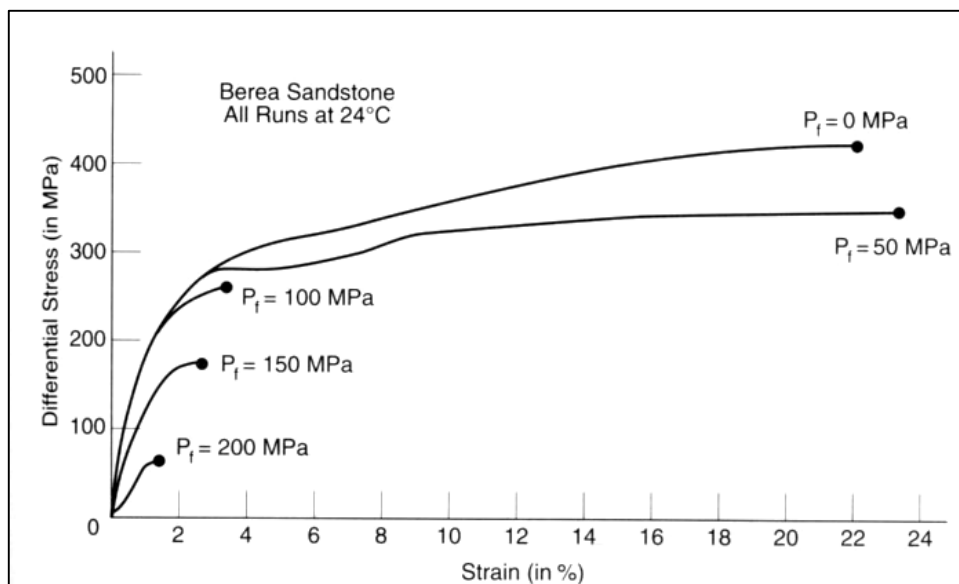
แต่ถ้าเราเอาน้ำหนักเพิ่มต่อไปอีกเรื่อยๆ จนหินเปลี่ยนลักษณะไปเป็นแบบพลาสติกก่อนเกิดการวิบัติ (ดังรูป 4.43ข และ 4.45) การเปลี่ยนลักษณะแบบพลาสติกนี้ไม่ทำให้หินคืนสู่สภาพเดิมแต่ก็ยังไม่ถึงกับวิบัติ ซึ่งเราทราบว่า มีสถานะพลาสติกเกิดขึ้น เมื่อเส้นแรงเค้นยืด และเส้นความเครียดไม่เป็นเส้นตรงอีกต่อไป (รูป 4.43ค) โดยเราเรียกจุดที่เริ่มเปลี่ยนความชันของเส้นตรงว่า “ขีดจำกัดความยืดหยุ่น (elastic limit)” ซึ่งจุดนี้บ่งบอกถึงความแข็งแรงของหินที่ยอมให้เกิดการยืดหยุ่น (yield strength) (รูป 4.43ง) ถ้าแรงเค้นมากกว่าความแข็งแรงของหินที่ยอมให้ยืดหยุ่น หินจะมีลักษณะเป็นพลาสติกและอาจเกิดการวิบัติได้เมื่อใส่แรงให้มากขึ้นหรือให้กาลเวลาผ่านไปยาวนานขึ้น อนึ่งความสัมพันธ์ระหว่างแรงเค้น-ความเครียดได้แสดงในรูป 4.46

ที่นี้ลองพิจารณาในรูป 4.47 ถ้าหินปูนอยู่ในสถานะยืดหยุ่น หินอาจจะทนรับแรงได้ (รูป ก) เพราะค่าความดันรอบข้างนั้นน้อย (เช่นน้อยกว่า 28 MPa) แต่เมื่อความดันรอบข้างสูงขึ้น หินปูนจะแสดงลักษณะพลาสติก แต่ถ้าหากยังมีน้ำหนักกดเพิ่มขึ้นเรื่อยๆ รอยแตกจะพัฒนาจนใหญ่ขึ้น โดยมีขนาดรอยแตกที่กว้างขึ้น ดังรูป ข และการทดลองจะหยุดเมื่อหินวิบัติ และเกิดรอยแตกเลื่อนมากมาย (รูป ค) ปกติการยืดหยุ่นมีค่า e (การยืด) น้อยกว่า 5% หากเพิ่มความดันรอบข้างจาก 28 MPa เป็น 103 MPa หรือ 2.7 MPa เมื่อแสดงในแผนภาพแรงเค้นและความเครียด ดูเหมือนหินปูนจะมีความแข็งแรงมากขึ้น ซึ่งค่าความแข็งแรงของหินยอมให้หินเกิดการยืดหยุ่น (yield strength) หรือเกิดความแข็งแรง (ultimate strength) และความแข็งแรงต่อการวิบัติ (rupture strength) จะมากขึ้น ดังนั้นเมื่อหินอยู่ในสถานะกึ่งยืดหยุ่นและพลาสติก ค่าการยืด (e) จะประมาณ 5-10% แต่เมื่อเป็นพลาสติกค่าการยืดจะมากกว่า 10%

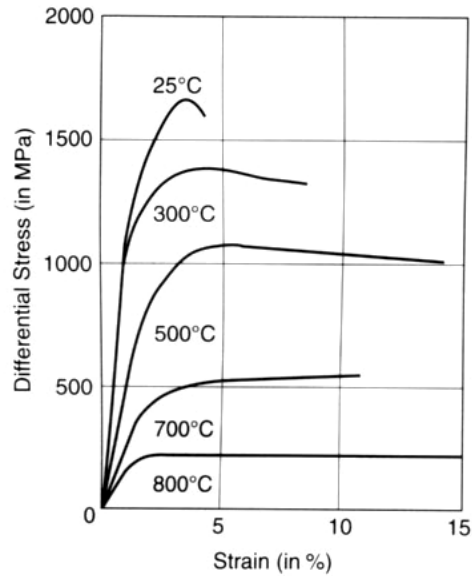
อนึ่งการทดสอบความแข็งแรงของหินอาจทำได้โดยวัดค่าแรงเค้นมากที่สุดและน้อยสุด (ตาราง 4.3) และกำหนดค่าลงในวงกลมมอร์ (รูป 4.48) จนทำให้เราทราบว่าวัตถุที่เราสนใจเป็นวัตถุชนิดแตกเปราะหรืออ่อนตัว (รูป 4.49) และแสดงสมบัติอะไร (รูป 4.50)



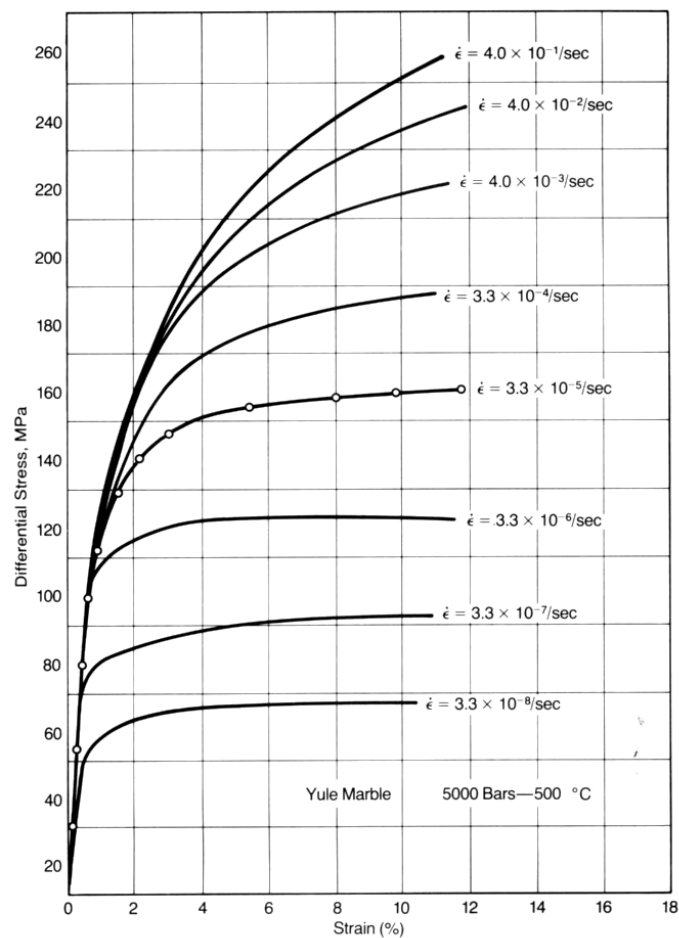
รูป 4.39 แผนภาพแรงเค้น-ความเครียดของหินปูนที่เปลี่ยนลักษณะ ณ ความดันรอบข้างที่แตกต่างกัน (หน่วย MPa) และ ณ อุณหภูมิห้อง ค่าความแกร่งและความเป็นพลาสติก เพิ่มขึ้นตามความดัน (รอบข้าง) ที่เพิ่มขึ้น (Donath, 1970)



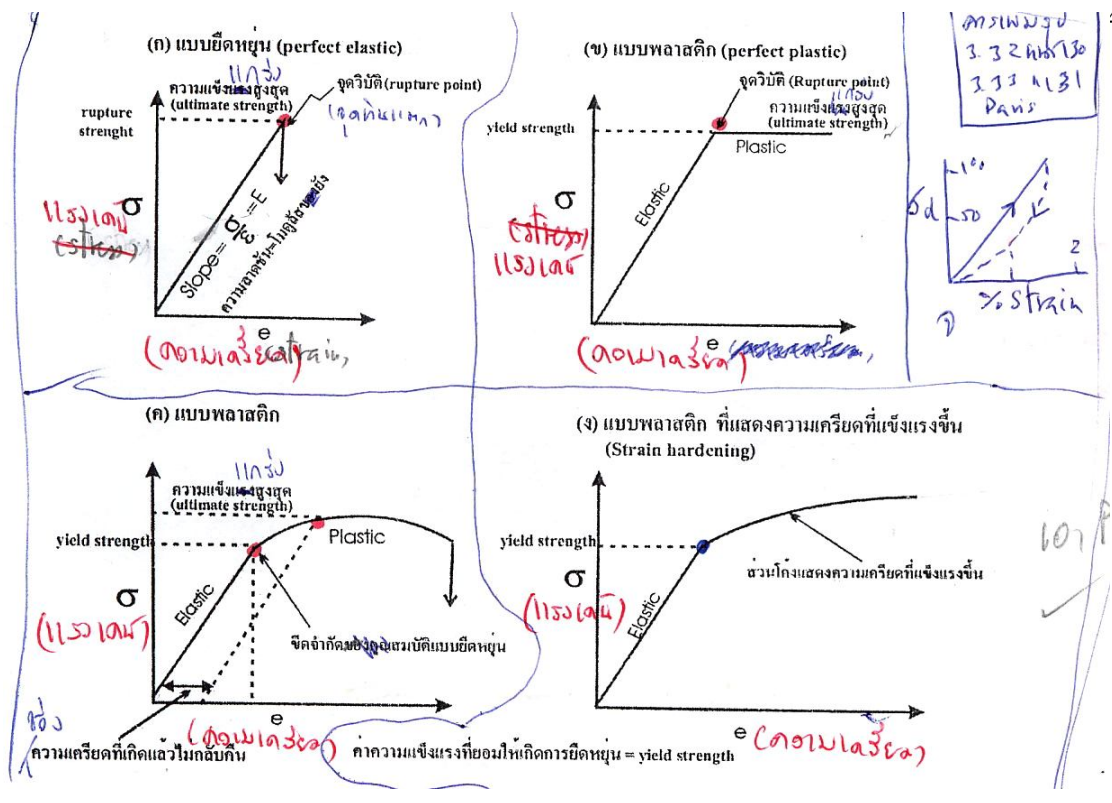
รูป 4.40 แผนภาพแรงเค้น-ความเครียดของหินทรายบีเรีย (Berea sandstone) แสดงถึงอิทธิพลความดันของไหลในช่องว่างกับความแกร่งและการอ่อนตัวของหิน ณ ความดันรอบด้าน 200 MPa และอุณหภูมิ 24°C ค่าความดันของไหล (P_1) สำหรับทุกการทดลองแต่ละครั้งแสดงด้วยเส้นโค้งถัดไป (Marshak & Mitra, 1988)



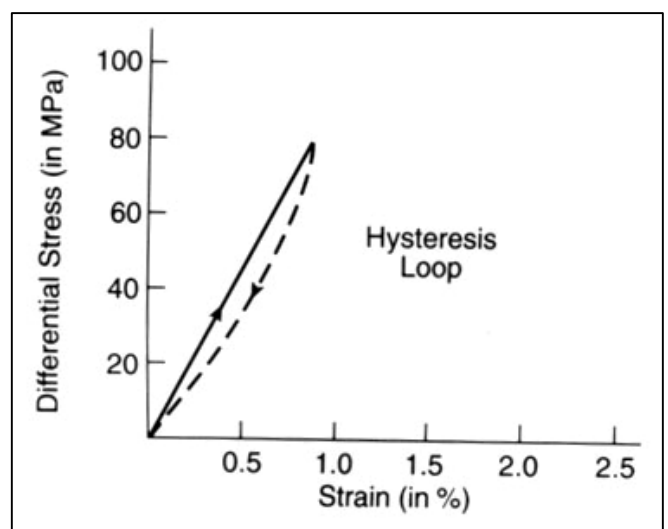
รูป 4.41 แผนภาพแรงเค้น-ความเครียดของหินบะซอลต์ที่เปลี่ยนลักษณะไป ณ ความดันรอบตัว 5 Kbar และอุณหภูมิที่ต่างกัน (25° - 800° ซ) (Griggs และคณะ, 1960) (Davis & Reynolds, 1996)



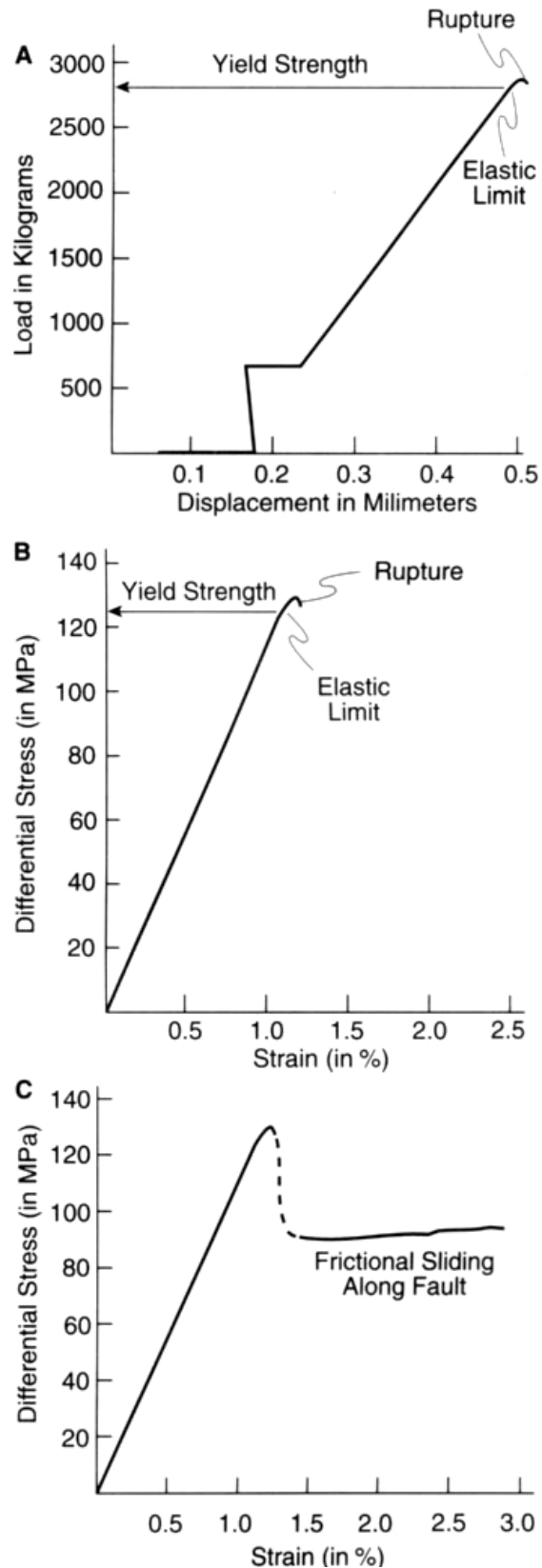
รูป 4.42 แผนภาพแรงเค้น-ความเครียดของหินอ่อนยูล (Yule marble) ที่เปลี่ยนลักษณะไป ณ อัตราความเครียดที่แตกต่างกัน ให้สังเกตว่าอัตราความเครียดสูง หินยังมีความแข็งแกร่งเพิ่มมากขึ้น (Heard, 1963)



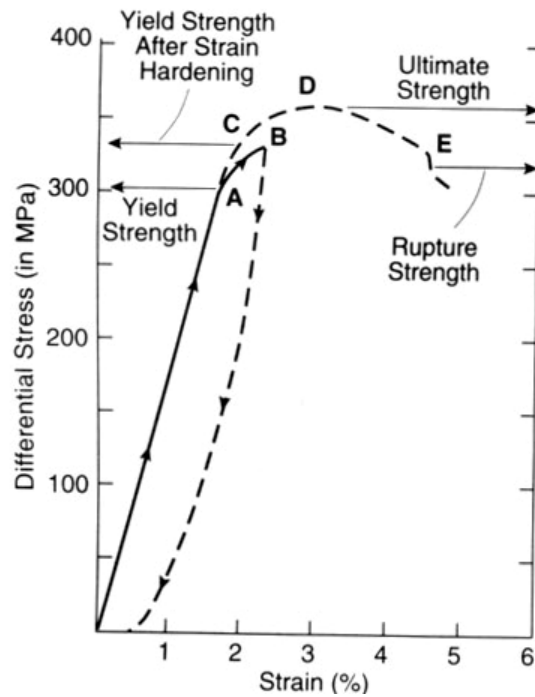
รูป 4.43 (ก) ความสัมพันธ์ของแรงเค้นและความเครียดตามกฎของฮุก ค่าความลาดชันของกราฟเป็นค่าโมดูลัสของยัง (ข) ความสัมพันธ์ของความเค้นและความเครียดของวัสดุที่ถูกความเค้นกระทำเกินขีดจำกัดของคุณสมบัติยืดหยุ่นและเกิดความเครียดแบบพลาสติกแบบสมบูรณ์ (perfect plastic) (ค) และ (ง) ความสัมพันธ์ของความเค้นและความเครียดของวัสดุที่ถูกความเค้นกระทำเกินขีดจำกัดของคุณสมบัติยืดหยุ่นและเกิดความเครียดแบบพลาสติกไม่สมบูรณ์ก่อนที่จะเกิดการวิบัติ (เพียงตา สาทรรักษ์, 2546)



รูป 4.44 กราฟแสดงความสัมพันธ์ระหว่างความเครียดกับความแตกต่างของแรงเค้น เมื่อเอาแรงออกจากตัวอย่างที่เปลี่ยนลักษณะแบบยืดหยุ่น ตัวอย่างจะเข้าสู่สภาพเดิม แต่พอเวลากลับคืนรูปจะไปตามเส้นทางอีกเส้นหนึ่งที่ใช้เวลายาวนานกว่า ซึ่งเราเรียกการย้อนกลับแบบนี้ว่า “วงจรฮิสเตอร์ซิส (hysteresis loop)” (Davis & Reynolds, 1996)



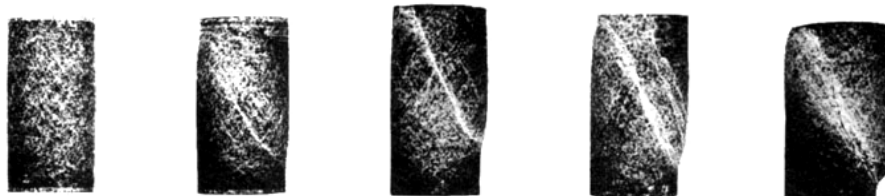
รูป 4.45 จุดเริ่มต้นของการเปลี่ยนลักษณะแบบพลาสติก จนเกิดการวิบัติโดย (A) กราฟแสดงน้ำหนักกดทับต่อระยะการเคลื่อนที่ (B) กราฟแสดงความเครียดต่อแรงเค้น และ (C) ความเครียดต่อความแตกต่างแรงเค้น ให้สังเกตการหดสั้นเพิ่มมากขึ้นเมื่อเพิ่มแรงอีกนิดเดียวหลังจากการวิบัติ ซึ่งทำให้เกิดการเลื่อนตัวไปตามแนวรอยเลื่อนนั่นเอง (Davis & Reynolds, 1996)



รูป 4.46 ความสัมพันธ์ระหว่างแรงเค้นกับความเครียดในหินปูนที่เกิดการเปลี่ยนแปลงลักษณะแบบพลาสติก ส่วนจุด B แสดงถึงภาวะหลังเอาน้ำหนักตามแกนออก ให้สังเกตการเปลี่ยนแปลงลักษณะเป็นแบบพลาสติกไม่คืนรูป จุด C แสดงถึงจุดภายใต้แรงคั้นจากน้ำหนักกดทับใหม่ครั้งที่ 2 และจุด D เป็นการเปลี่ยนแปลงลักษณะแบบพลาสติก ก่อนเกิดการวิบัติที่ E (Davis & Reynolds, 1996)



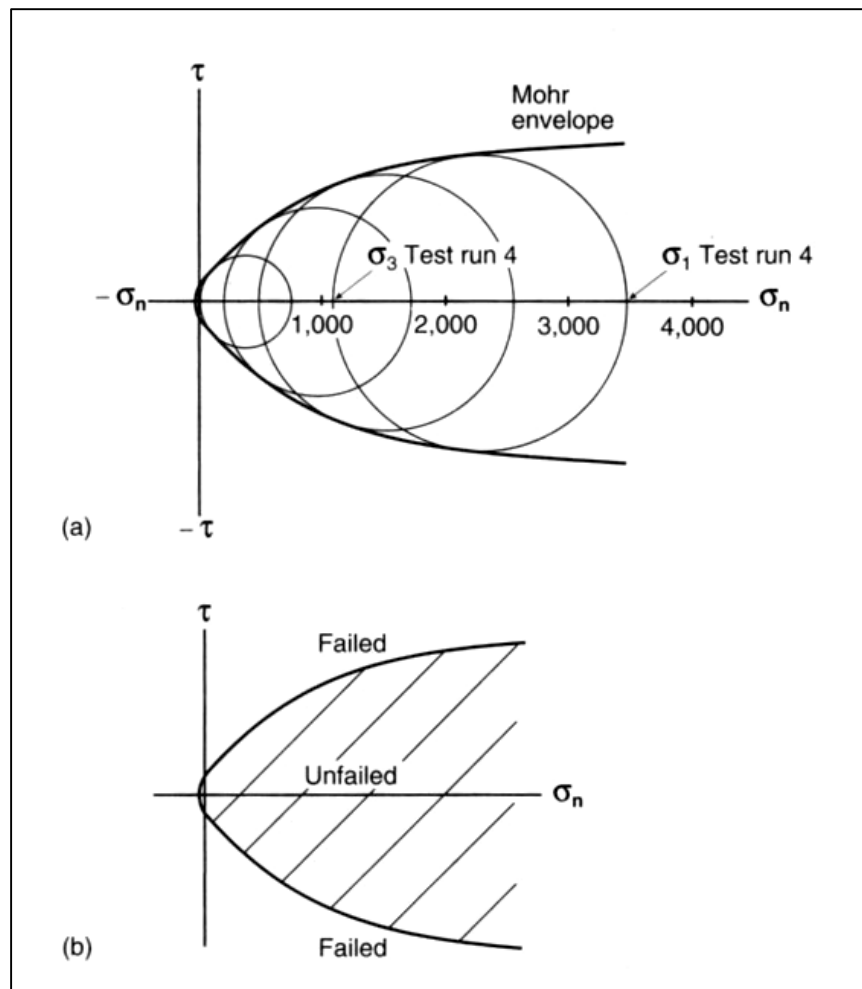
รูป 4.47 ลักษณะแท่งตัวอย่างที่เกิดรอยเลื่อนในหินปูน รูปซ้าย-สภาพก่อนเปลี่ยนลักษณะ รูปกลาง-สภาพเกิดรอยเลื่อนหนึ่งรอย รูปขวา-สภาพเกิดรอยเลื่อนถี่ๆ (Davis & Reynolds, 1996)



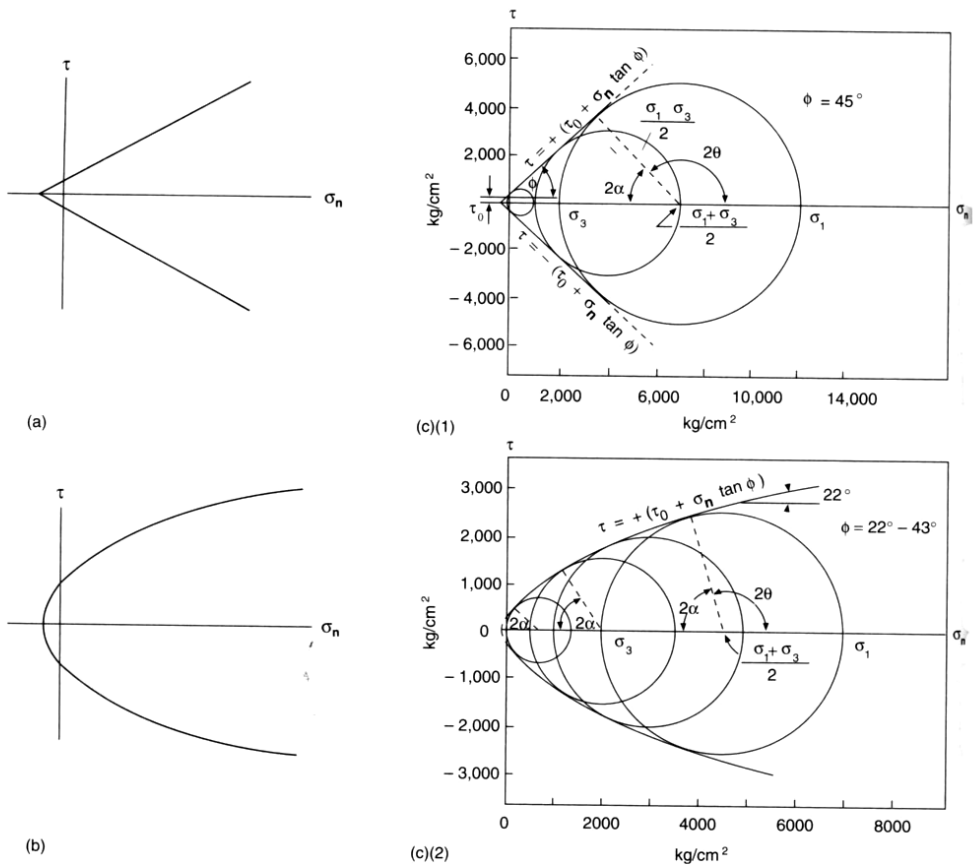
รูป 4.48 ตัวอย่างแท่งหินปูนที่เปลี่ยนลักษณะจนเกิดความเครียดเท่ากับ (~15%) ภายใต้ความดันรอบข้างแตกต่างกัน จนทำให้เกิดการเลื่อนตัวได้หลายรูปแบบ ตั้งแต่แบบประจวบจนถึงอ่อนนุ่ม (Donath, 1970)

ตาราง 4.3 การทดลองแต่ละครั้งที่แสดงถึงค่าแรงเค้นแกนหลักมากที่สุดและแรงเค้นแกนหลักน้อยสุด (Hatcher)

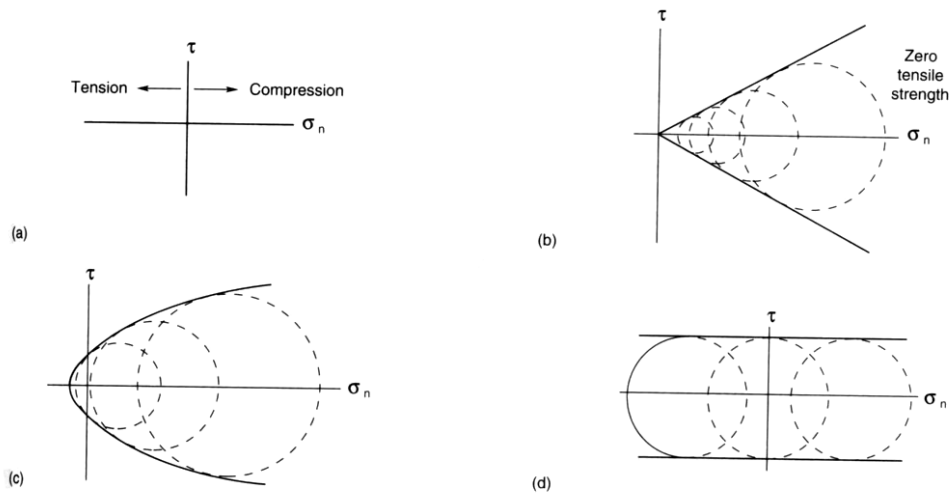
Test Run	σ_3 (kg cm ⁻²)	σ_1 (kg cm ⁻²)
1	0	750
2	250	1,750
3	500	2,400
4	1,050	3,550



รูป 4.49 แผนภาพวงกลมมอร์ (a) ที่กำหนดค่าที่ได้จากการเปลี่ยนลักษณะของหินปูน ณ ความดันรอบข้างต่างๆ จากตาราง 4.2 (b) ที่แสดงถึงอาณาเขตวิบัติ (failed) หรือไม่เสถียร (unstable) กับอาณาเขตไม่วิบัติ (unfailed) หรือเสถียร (stable) (Hatcher)



รูป 4.50 แผนภาพวงกลมมอร์ สำหรับวัสดุที่แตกเปราะ (a) และอ่อนตัว (b) และ (c) (บน) หินทราย ออยล์ครีก (Oil Creek Sandstone) และ (ล่าง) หินเกลือจืดเบรนต์ (Braine Anhydrite) ที่เปลี่ยน ลักษณะ ณ อุณหภูมิห้อง (24^oC) และความดันบรรยากาศตั้งแต่ 0 ถึง 2,000 atm (Hubbert&Willis, 1957) (Hatcher)



รูป 4.51 แผนภาพวงกลมมอร์ แสดง(a) แกนแรงเค้นดึง (Extensional axis มีค่า $-\sigma_n$ ซึ่งมีค่าเป็นลบ) และแกนแรงเค้นอัด (compressional axis ซึ่งมีค่าเป็นบวก) (b) ในตะกอนทรายควอร์ตซึ่งไม่แสดง ความแข็งแรงหรือความแกร่งจากการดึง (c) ในหินโดยเฉลี่ยที่แสดงลักษณะการดึงเมื่อมรแรงเค้น ต่ำๆและแรงอัดเมื่อแรงเค้นสูงขึ้น จนกระทั่งหินแสดงการอ่อนตัว ณ ที่แรงเค้นสูงมากๆ (d) ใน เหล็กกล้า มีค่าของแรงเค้นอัดและแรงเค้นดึงที่มีขนาดเท่าๆกัน และในที่สุดแสดงลักษณะแรงดึง(Hatcher)

4.5.3 ความแข็งแรงของหิน(Rock strength)

ปัจจัยที่มีผลต่อความแข็งแรงของหิน (rock strength) ชนิดเดียวกันเมื่ออยู่ในสภาวะที่แตกต่างกันย่อมทำให้หินมีความแข็งแรงแตกต่างกันไป ปัจจัยที่สำคัญได้แก่

(ก) ความดันรอบข้าง (confining pressure) ถ้าหินได้รับความดันรอบข้างเพิ่มขึ้นหินจะมีความแข็งแรงมากขึ้น ดังรูป 4.52ก นั่นคือทำให้ค่าการยืดหยุ่น (yield strength) และค่าการอ่อนนุ่ม (ductility) เพิ่มขึ้นด้วย

(ข) อุณหภูมิ (temperature) ถ้ามีอุณหภูมิสูงขึ้นหินจะมีความแข็งแรงน้อย และมีค่าความเป็นพลาสติกมากขึ้น ดังรูป 4.52ข

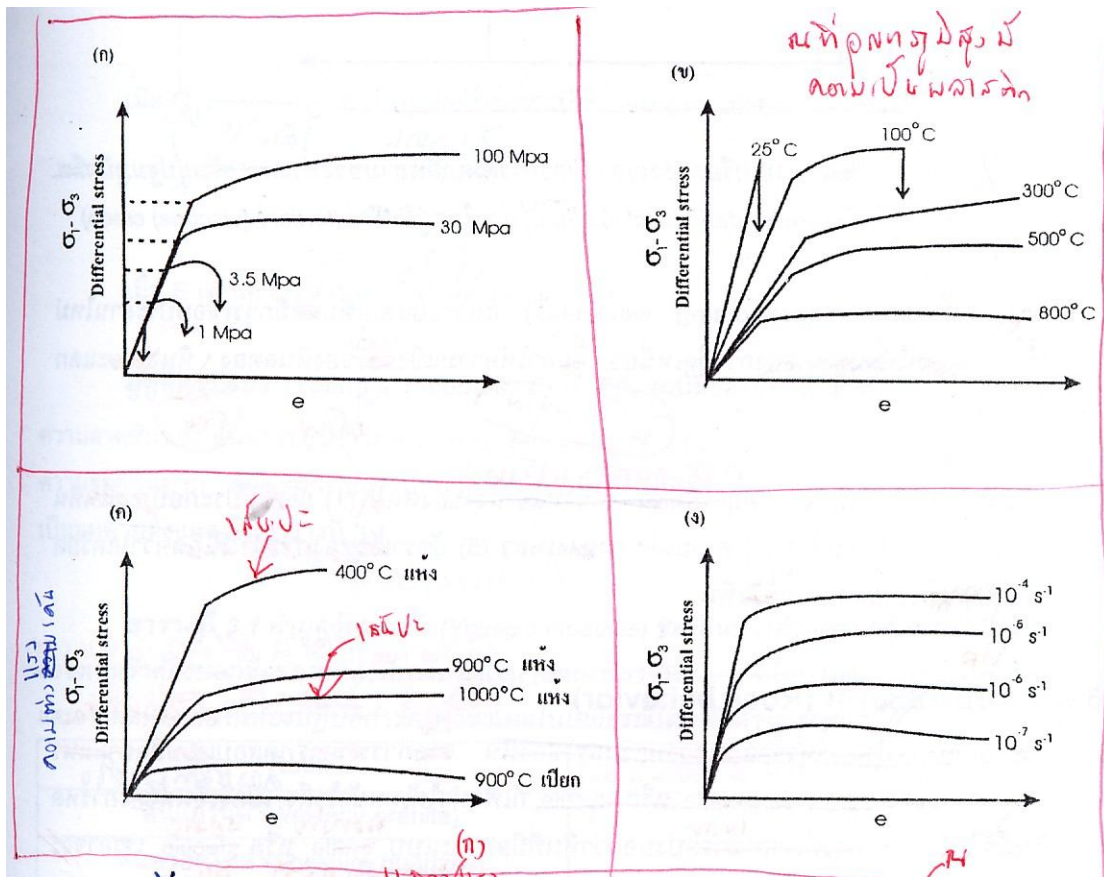
(ค) ความดันของเหลว (pore fluid pressure) ถ้ามีค่าของความดันของของเหลว หินจะมีค่าความแข็งแรงลดลง ดังรูป 4.52ค

(ง) อัตราเร็วของความเครียดที่เกิดขึ้น (strain rate) ถ้าการทดลองกำหนดให้มีอัตราเร็วของการเกิดความเครียดต่ำ หินจะมีคุณสมบัติยืดหยุ่นน้อยแต่มีคุณสมบัติเป็นพลาสติกมาก ดังแสดงในรูป 4.52ง

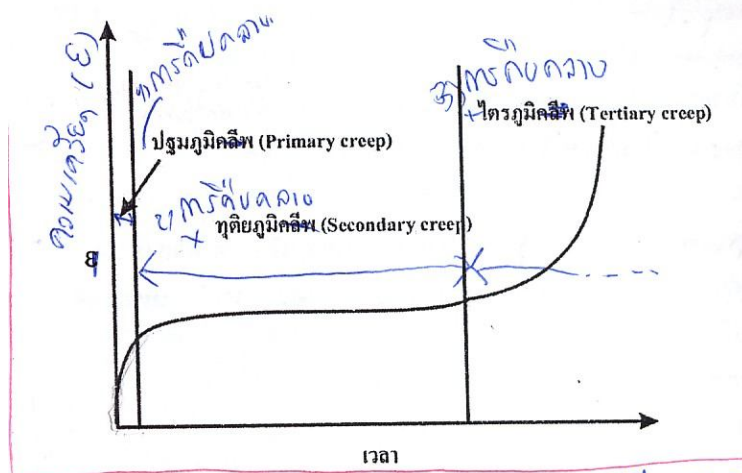
โดยปกติหินมักมีความแข็งแรงลดลงเมื่อรับน้ำหนักไว้นานๆ (เหมือนเราแบกของนานๆ แล้วเรารู้สึกเจ็บ) เพราะเกิดความล้าซึ่งเราเรียกสภาวะความล้านี้ว่าการคืบคลาน (creep) ความเครียดที่เกิดขึ้นภายใต้ความแตกต่างแรงเค้นที่ต่ำกว่าความแข็งแรงของหินต่อการวิบัติ จากรูป 4.53 ทำให้หินภายใต้แรงเค้นเปลี่ยนลักษณะได้ 3 ช่วง คือ ช่วงแรกการคืบคลานปฐมภูมิ (primary creep) ช่วงที่สอง การคืบคลานทุติยภูมิ (secondary (plastic) creep) และช่วงที่สามการคืบคลานไตรภูมิ (tertiary (viscous) creep) ซึ่งในความเป็นจริงการคืบคลานทั้งแบบพลาสติก และที่หนืดแปรผันตามเวลา

(จ) แนวรอยแตกเดิม (preexisting weakness) แนวรอยแตกเดิมที่มีการเชื่อมประสานใหม่ หรือแนวแตกที่แสดงการยึดเหนี่ยวที่ไม่สมบูรณ์ มักทำให้ความแข็งแรงของหินลดลง จนหินจะแตกออกตามแนวแตกเดิม

ดังนั้นเราจึงสรุปได้ว่าปัจจัยสำคัญๆ ที่ควบคุมความแข็งแรงของหินได้แก่ (1) แร่ประกอบหิน (2) เนื้อหิน (3) ความดันรอบข้าง (4) ความดันของเหลว (5) อัตราความเครียด (6) อุณหภูมิ และ (7) รอยแตกเดิมในหิน



รูป 4.52 (ก) กราฟจำลองความเค้นและความเครียดของหิน เมื่อทดสอบที่ความดันรอบข้างปริมาณไม่เท่ากัน (ข) กราฟจำลองความเค้นและความเครียดของหิน เมื่อทดสอบในสภาวะที่มีอุณหภูมิในขณะที่ทดสอบไม่เท่ากัน (ค) กราฟความเค้นและความเครียดของหิน เมื่อทดสอบด้วยการยอมให้มีความดันน้ำเกิดขึ้นที่เท่าตัวอย่างในปริมาณที่ไม่เท่ากัน (ง) กราฟความเค้นและความเครียดของหิน เมื่อทดสอบที่กำหนดปริมาณอัตราการเกิดความเครียดปริมาณไม่เท่ากัน (เพียงตา สাত্রักษ์, 2546)



รูป 4.53 กราฟแรงเครียดและเวลาของการคืบคลานสามช่วง ได้แก่ (1) ช่วงปฐมภูมิ(primary creep) (2) ช่วงทุติยภูมิ(secondary (plastic) creep) และ (3) ช่วงไตรภูมิ(tertiary(viscous)creep) (เพียงตา สাত্রักษ์, 2546)

4.6 สมบัติของหิน (Rock behavior)

ในการทดสอบการยึดหดตามแกนเดียว ก็เพื่อให้เราเข้าใจถึงความมากน้อยในการหดสั้นก่อนที่หินวิบัติ ในการบ่งบอกว่าหินที่มีสภาวะแบบ แดง่าย หรือ งอง่าย เราอาจบอกได้ทันทีเมื่อเห็นหินเสียการยึดเหนี่ยว (cohesion) ของเม็ดแร่ซึ่งแสดงว่าหินเกิดในสภาวะแบบแดง่าย แต่ถ้าหินไม่เห็นอาจแสดงว่าอยู่ในสภาวะแบบงอ ในรูป 4.54 เราอาจสังเกตเห็นได้ชัดว่าในสภาพที่หินเสียการยึดเหนี่ยว การเปลี่ยนแปลงลักษณะเกิดในพื้นที่แคบๆ แต่ถ้าหินมีสภาพแบบงอได้ การเปลี่ยนแปลงลักษณะเกิดในพื้นที่กว้างๆ จากสมบัติเชิงกลของหินเราอาจจัดแบ่งหินตามความแข็งแกร่งเป็น 3 ประเภทได้แก่

- (1) สมบัติการยืดหยุ่น (elastic behavior)
- (2) สมบัติพลาสติก (plastic (ductile) behavior) และ
- (3) สมบัติความหนืด (viscous behavior)

นอกจากนี้ยังมีลูกผสมกันระหว่างยืดหยุ่นกับพลาสติก (elastic-plastic) (viscoplastic) และ (elastico-viscous) แบบจำลองคุณสมบัติของหินได้แสดงในรูป 4.55

4.6.1 สมบัติการยืดหยุ่น (elastic behavior)

มนุษย์เราพยายามเอาชนะความเครียดมานานแล้วด้วยวิธีต่างๆ แต่ทั้งนี้ย่อมขึ้นอยู่กับชนิดของวัตถุที่นำมาใช้ด้วย ดังรูป 4.56 และ 4.57 ความยืดหยุ่นเป็นสมบัติแบบหนึ่งของวัตถุในการกลับคืนสู่สภาพเดิม เมื่อแรงที่มากระทำต่อวัตถุนั้นหมดไป วัตถุแต่ละชนิดจะมีความยืดหยุ่นมากน้อยต่างกัน เช่น พลาสติก ยาง สปริง เหล็ก หิน แร่ ไม้ ฯลฯ หากเราเขียนกราฟแสดงความสัมพันธ์ระหว่างแรงเค้นต่อความเครียด (รูป 4.43 และ 4.52) สำหรับวัตถุที่มีความยืดหยุ่น เราจะได้ความสัมพันธ์ที่เป็นไปตามกฎฮุก (Hooke's Law)

$$\sigma \propto \epsilon$$

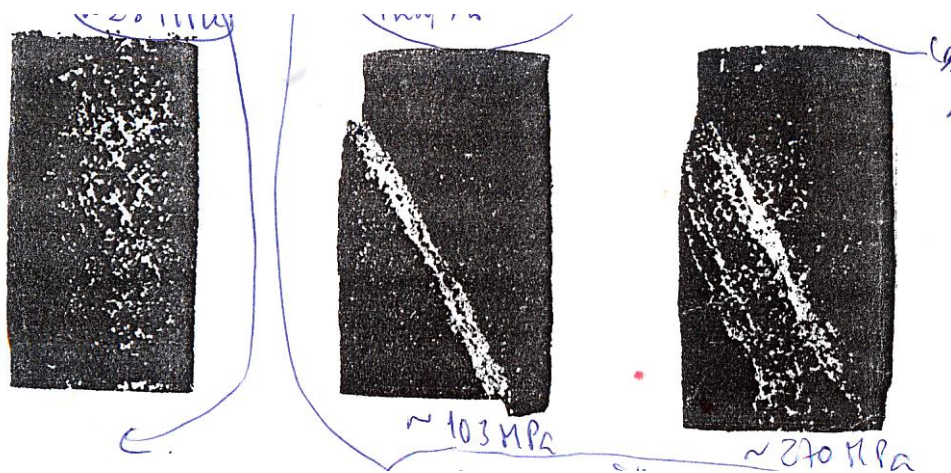
หรือ
$$\sigma = C\epsilon$$

เมื่อ C = ค่าคงที่ ถ้าวัตถุมีความเป็นเนื้อเดียวกัน

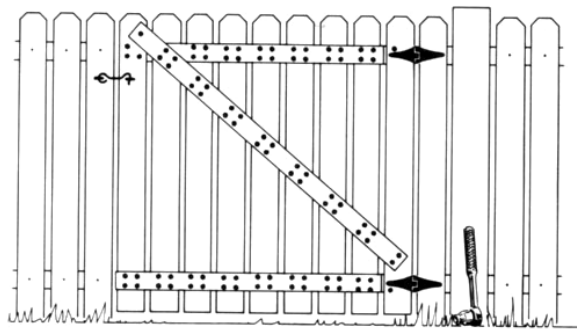
$$\sigma = E\epsilon$$

เมื่อ E แทนค่ามอดูลัสยัง (Young's modulus)

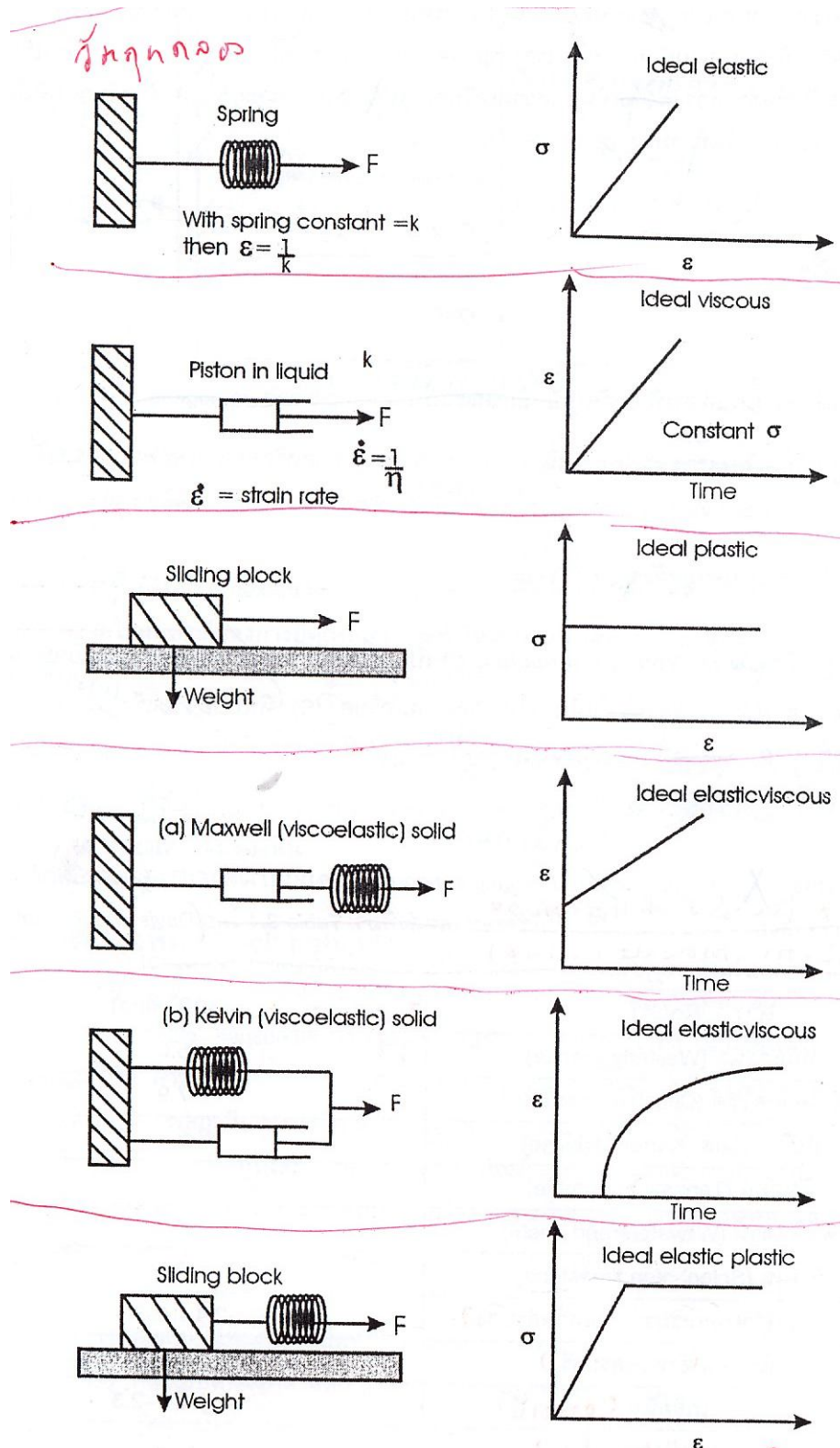
มอดูลัสยัง (Young's modulus, E) เป็นสมบัติของวัตถุยืดหยุ่น โดยค่าความลาดชันของเส้นตรงของแรงเค้น (σ) ต่อความเครียด (ϵ) ด้วยเหตุนี้หินที่แข็งแกร่งมาก กราฟจะแสดงความลาดชันมาก โดยปกติเรามักให้แรงเค้นอัดเป็นบวก (+) และการยืดเป็นลบ (-) ดังนั้นค่ามอดูลัสยัง จึงมีค่าเป็นลบด้วยดังแสดงในตาราง 4.4



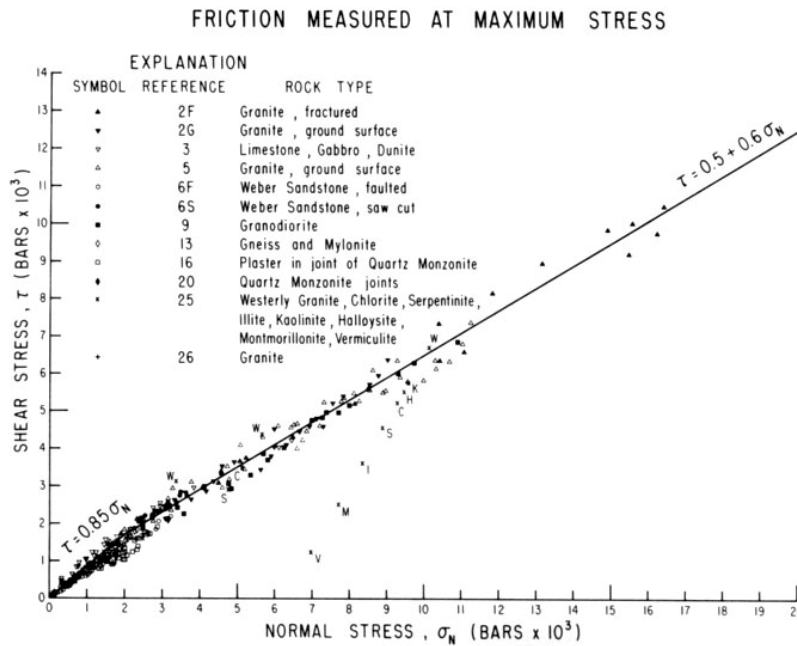
รูป 4.54 ตัวอย่างของหินปูนที่ถูกกดแบบการทดสอบแบบกดอัดตามแนวแกนเดียว(เพียงตา สาด รักษ์, 2546)



รูป 4.56 การเอาชนะความอ่อนตัวหรืออ่อนไหว (ของพื้นดิน) จำเป็นต้องอาศัยทั้งเวลาและลักษณะการใช้ประโยชน์ (ของประตู) แนวทางการแก้ไขที่ดีที่สุด (ที่มนุษย์คิดออก...คือไม่แน่ใจว่า...ได้ เพียวชั่วคราวหรือไม่) ก็คือยึด (มัน) ให้แน่น (Davis & Reynolds, 1996)



รูป 4.55 แบบจำลองสมบัติของหิน และกราฟแสดงความสัมพันธ์ระหว่างแรงเค้นกับความเครียด หรือระหว่างความเครียดกับเวลาเมื่อมีหินเปลี่ยนลักษณะ(ปรับปรุงจากเพิงตา ศาสตร์ภักย์, 2546 และ Richardson, 1996)



รูป 4.57 กราฟความสัมพันธ์ระหว่างแรงเฉือนเทียบกับแรงเค้นหลัก แสดงถึงสมบัติการเสียดทานของหินที่เกือบเท่าๆกัน ยกเว้นแรงเค้นหลักต่ำสุดบนระนาบรอยแตก จึงเกิดความสัมพันธ์ที่แสดงถึงแรงเค้นฉาก (σ_n) บนระนาบรอยแตก กับแรงเค้นเฉือน (σ_s) ที่รวมกันแล้วมากกว่า 1 (Byerlee, 1978) (Davis & Reynolds, 1996)

ตาราง 4.4 ค่ามอดูลัสของยัง (Young's modulus) ของหินบางตัวอย่าง ซึ่งเป็นค่าเฉพาะตัวของแต่ละหินซึ่งมีค่าแตกต่างกัน จึงเห็นว่่าต้องบอกชื่อของแหล่งที่มาให้ชัดเจน (แหล่งที่มา Davis and Reynolds, 1996) (เพียงตา ศาสตร์ภัย, 2546)

หิน (Rock)	มอดูลัสยัง = E(x10 ⁴ MPa)
หินแกรนิต(Westerly granite)	-5.6
หินควอตไซต์(Cheshire quartzite)	-7.9
หินไดอะเบส(Karoo diabase)	-8.4
หินอ่อน(Tennessee marble)	-4.8
หินดินดาน(Witwatersrand shale)	-6.3
หินปูน(Solenhofen limestone)	-5.3
หินทราย (อำเภอเสริมงาม จังหวัดลำปาง)	-2.4 ถึง -2.8
หินอ่อน (จังหวัดสระบุรี)	-5.5 ถึง -8.9
เกลือหิน (อุครธานี)	-2.1 ถึง -2.3
หินทรายแป้ง (ชุดภูทอก)	-0.52
หินทรายเนื้อปูนเชื่อมประสาน	-4.5
หินโคลน (ชุดมหาสารคาม) (เปียก)	-0.4 ถึง -0.8
หินโคลน(ชุดมหาสารคาม) (แห้ง)	-1.6

อัตราส่วนปัวซองส์ (Poisson's ratio, ν) เป็นสมบัติของวัสดุยืดหยุ่น โดยที่อัตราส่วนนี้เป็นความสัมพันธ์ระหว่างอัตราส่วนความเครียดแกนขวางต่อความเครียดแกนยาวเมื่อมีแรงเค้นเกิดตามแกนยาวของวัตถุ (รูป 4.58) ค่าอัตราส่วนปัวซองส์ไม่มีหน่วย ตัวอย่างของค่าอัตราส่วนปัวซองส์ ของหินต่างๆ ได้แสดงในตาราง 4.5 และสมการอัตราส่วนปัวซองส์ได้แสดงในรูป 4.58

ตาราง 4.5 ค่าอัตราส่วนปัวซองส์ (Poisson's ratio) ในหินบางชนิด ค่าเหล่านี้ได้จากหินที่มีเนื้อแน่นขณะทำการทดสอบ ค่าที่แสดงเป็นค่าโดยประมาณจากความเร็วคลื่นอัดและคลื่นเฉือน (ข้อมูลจาก Davis & Reynolds, 1996 และ เฟียงตา สาตวรรษ, 2546)

ชนิดหิน (Rock)	อัตราส่วนปัวซองส์ (Poisson's ratio)
หินปูนเนื้อละเอียด (limestone, fine grain)	0.25-0.32
หินปูนมีรูพรุนมาก (limestone, porous)	0.22-0.32
หินแกรนิต (granite)	0.22-0.27
หินไดออไรต์ (diorite)	0.22-0.25
หินทราย (sandstone)	0.20-0.32
หินควอตไซต์ (quartzite)	0.18-0.22
หินอ่อน (marble)	0.24-0.30

บัคส์โมดูลัส (Bulk Modulus, K) นิยมใช้สัญลักษณ์ “ K ” บัคส์โมดูลัส เป็นสมบัติของวัสดุยืดหยุ่น มีค่าเท่ากับอัตราส่วนระหว่างการเปลี่ยนแปลงความดัน (pressure gradient, ΔP) รอบๆข้างของวัตถุต่อการเปลี่ยนแปลงปริมาตร (dilation, ΔV) ของวัตถุ ดังนั้นค่าบัคส์โมดูลัสคือความสามารถของวัตถุในการต่อต้านแรงอัด ตัวอย่างเช่น สมมติว่าเรามีแท่งหินทรายและแท่งฟองน้ำขนาดเท่ากัน ถ้าเราออกแรงบีบแท่งหินทรายและแท่งฟองน้ำ เราจะพบว่าแท่งฟองน้ำออกแรงบีบเพียงเบาๆ ก็สามารถเปลี่ยนลักษณะและสังเกตได้ง่ายกว่าแท่งหินทราย ดังนั้นเราจึงกล่าวได้ว่าบัคส์โมดูลัสของแท่งฟองน้ำมีค่าน้อยกว่าบัคส์โมดูลัสของแท่งหินทราย ด้วยเหตุนี้เราจึงอนุมานว่าค่าบัคส์โมดูลัสของหินแข็งมีค่ามากกว่าดิน หรือค่าบัคส์โมดูลัสของหินแกรนิตมีค่ามากกว่าหินทราย ตาราง 4.5 แสดงค่าบัคส์โมดูลัสของวัตถุต่างๆได้ และสมการข้างล่างแสดงสมการบัคส์โมดูลัส

$$K = \Delta P / \Delta V$$

โมดูลัสเฉือน (Shear Modulus, G) บางทีนิยมใช้สัญลักษณ์ “ μ ” โมดูลัสเฉือนเป็นสมบัติของวัสดุยืดหยุ่น และมีค่าเท่ากับอัตราส่วนระหว่างความเค้นเฉือน (σ_s) ต่อค่าความเครียดเฉือน (γ) ของวัตถุเมื่อถูกแรงกระทำ ค่าโมดูลัสเฉือนใช้บอกถึงความสามารถของหินในการต่อต้าน

การเปลี่ยนแปลงลักษณะต่อแรงเฉือน ดังนั้นเราอาจจะพอมองออกแล้วว่าอากาศกับของเหลวไม่สามารถจะต่อต้านความเค้นเฉือนได้ โมดูลัสเฉือนจึงมีค่าเท่ากับศูนย์ ค่าโมดูลัสเฉือนของวัตถุบางชนิดได้แสดงในตาราง 4.6 และสมการข้างล่างแสดงสมการโมดูลัสเฉือน

$$\mu = \sigma_s / \gamma$$

ตาราง 4.6 ค่าคงที่เฉพาะของความยืดหยุ่น K, E, μ, ν บางชนิด (Lay และ Wallace, 1995) ยกเว้นค่า E ได้มาจากการคำนวณจากค่าความสัมพันธ์ร่วมกับค่าอื่นๆ ไม่ได้วัดโดยตรง

วัตถุ	K(Gpa)	μ (Gpa)	E(Gpa)	ν	ρ (kg/m ³)
น้ำ	2.1	0	0	0.5	1,000
หินทราย	17.	6	19	0.34	1,900
แร่โอลิวีน(Olivine)	129	82	202	0.24	3,200
แร่เพอร์รอฟสไกต์ (Perovskite)	266	153	385	0.26	4,100

หมายเหตุ: GPa คือ Giga Pascal

ในที่นี้ขอยกตัวอย่างเรื่องโมดูลัสยั้งดังนี้ สมมติเหล็กทรงรถไฟมีค่าของการขยายตัวด้วยความร้อน (thermal expansion) (α) ประมาณ 11×10^{-6} ซึ่งหมายความว่าถ้าอุณหภูมิ 0° ซ เหล็กยาว 30 เมตร เมื่อมีอุณหภูมิสูงขึ้น 40° ซ เหล็กยาว 30.013 เมตร โดยคำนวณจากสมการ

$$e_{ij} = \alpha_{ij} \Delta T$$

เมื่อพิจารณาทิศทางเดียว เราจะได้

$$\text{Thermal expansion } \alpha = \frac{I}{I_0} \times \frac{\Delta I}{\Delta T} = 11 \times 10^{-6}$$

$$= \frac{1}{30m} \times \frac{\Delta I}{40} = 11 \times 10^{-6}$$

นั่นคือ $\Delta I = 0.013m$

การเปลี่ยนแปลงความยาวเป็น 0.013 เมตรหรือ 1.3 เซนติเมตร โดยมีค่าโมดูลัสของยั้งของเหล็กประมาณ $20 \times 10^{10} \text{ N/m}^2$ หากเราต้องการคำนวณหาแรงเค้นและแรงที่ทำให้เหล็กยืดออกไป 1.3 เซนติเมตรเมื่อเหล็กมีพื้นที่หน้าตัด 30 ตารางเซนติเมตร เราอาจคำนวณได้ดังนี้

$$\sigma = E\varepsilon = \frac{F}{A}$$

$$\sigma = E \times \frac{\Delta I}{\Delta I_0} = 20 \times 10^{10} \times \frac{0.013}{30} = 8.67 \times 10^7$$

$$F = \sigma A = 8.67 \times 10^7 \times 0.003 = 2.6 \times 10^5 \text{ N}$$

$$F = 2.6 \times 10^5 \text{ N} = 2.6 \times 10^5 \text{ kg} \cdot \text{m/s}^2 = 2.6 \times 10^4 \text{ kg}$$

$$F = 26 \text{ tons}$$

นั่นคือเราต้องออกแรง 26 ตันเพื่อยืดเหล็กทรงกลมไฟ ดังนั้นถ้าเราทราบค่า E, ν , และแรงเค้นตั้งฉากในแนว x, y, z เราก็สามารถคำนวณหาค่า extension, e หรือ ε) ได้จากสมการ

$$e_z = \frac{1}{E} [\sigma_z - \nu(\sigma_x + \sigma_y)]$$

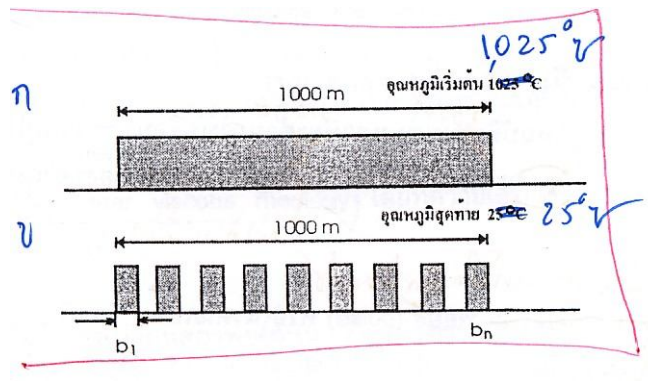
$$e_y = \frac{1}{E} [\sigma_y - \nu(\sigma_z + \sigma_x)]$$

$$e_x = \frac{1}{E} [\sigma_x - \nu(\sigma_z + \sigma_y)]$$

จากสมการ เมื่อเราแทนค่าของ E และ ν ของหินแกรนิตที่เหมาะสมเราสามารถคำนวณหาค่า e ในแกน x, y และ z ได้ ถ้าเราทราบค่า σ_x , σ_y , σ_z , E และ ν ในสมการที่กล่าวมาข้างต้น

จากรูป 4.11 การขยายตัวของวัตถุเมื่อถูกความร้อน ทำให้แนวการยึดเกาะของโมเลกุลยาวขึ้น และแรงการยึดเกาะลดลง ดังนั้นวัตถุจึงมีกำลังรับน้ำหนักหรือความแข็งแรงลดลง ตัวอย่างอีกตัวอย่างของการขยายตัวจากความร้อน เช่น กรณีของการเย็นตัวของลาวาเบซอลต์ (basaltic lava) ที่เรามักพบเห็นเป็นรูปแท่ง (columnar joint) ดังแสดงในรูป 4.59

จากรูป 4.59 กำหนดให้อุณหภูมิลาวาเริ่มต้น $1,025^\circ \text{C}$ และเมื่อเย็นตัวมีอุณหภูมิ 25°C



รูป 4.59 ลักษณะการไหลของหินหลอมละลายก่อนการเย็นตัว (ก) หลังการเย็นตัว (ข) ซึ่งจะเห็นว่าเราพบช่องว่างจากการเย็นตัว

ดังนั้น

$$\Delta T = T_f - T_0$$

$$\Delta T = 25 - 1025 = -1000^\circ \text{C}$$

ถ้า $\alpha = 2.5 \times 10^{-6} \text{ } ^\circ \text{C}^{-1}$ จะได้

$$e = \alpha \Delta T$$

$$e = 2.5 \times 10^{-6} \times -1000$$

$$e = -2.5 \times 10^{-3}$$

ถ้าความยาวเริ่มต้นเท่ากับ 1,000 เมตร ดังนั้นอัตราการเปลี่ยนความยาว (ΔI) จะได้

$$e = \frac{I_f - I_0}{I_0} = \frac{\Delta I}{I_0}$$

$$\Delta I = e I_0$$

$$\Delta I = -2.5 \times 10^{-3} \times 1000 = -2.5 \text{ m}$$

ดังนั้น เมื่อเราวัดระยะห่างของรอยแยกระหว่างแท่งหิน เทียบกับระยะ 1,000 เมตร ระยะห่างจะรวมกันได้ 2.5 เมตร

4.6.2 สมบัติพลาสติก (Plastic (ductile) behavior)

พลาสติกเป็นคุณสมบัติที่เมื่อหินถูกทำให้เกิดความเครียดจนหินเกิดการเปลี่ยนลักษณะและเมื่อเปลี่ยนลักษณะไปแล้วจะไม่สามารถกลับคืนสู่สภาพเดิมได้ จากเส้นแสดงความสัมพันธ์ของความเค้นและความเครียดช่วงพลาสติกพบหลังที่เกินขีดจำกัดของสุกไปแล้วแต่ยังไม่ถึงจุดที่เกิดการวิบัติ ดังแสดงในรูปกราฟของความเค้นและความเครียดรูป 4.43

4.6.3 สมบัติการหนืด (Viscous behavior)

ความหนืด เป็นสมบัติของของเหลวต่อการต้านการเคลื่อนที่ของวัตถุในของเหลว ซึ่งโดยมากแปรผันกับความหนาแน่นคือ ถ้าของเหลวมีความหนาแน่นมากจะมีความหนืดมาก ปกติเราเรียกแรงต้านภายในของของเหลวต่อวัตถุที่เคลื่อนที่ผ่านว่า แรงหนืด

โดยทั่วไปหน่วยความหนืดมักนิยมใช้ พอยส์ (poise) หรือนิวตัน/เมตร² วินาที โดยที่ 1 พอยส์ (poise) คือแรงเส้นเฉือน 1 dyne/cm³ กระทำกับของเหลวทำให้เกิด strain rate 1.0 วินาที⁻¹ (10 poise = 1 Pa sec) ค่าความหนืดแสดงในตาราง 4.7

ตาราง 4.7 ค่าความหนืดของวัสดุ (Davis & Reynolds, 1996)

วัสดุ	พอยส์ (Poises)
เนื้อโลก	10^{21} - 10^{23}
หินทราย	10^{18}
เกลือหิน	10^{17}
น้ำแข็ง	10^{12}
หินไรโอไลต์	10^9
ทาร์	10^7
หินบะซอลต์	10^3
น้ำเชื่อม*	10^2
น้ำผึ้ง*	4
น้ำมะกอก*	0.8
น้ำที่อุณหภูมิ 30° ซ	0.08
อากาศ*	10^{-5}

*ไม่ใช่วัสดุทางธรณีวิทยา

4.7 สมบัติแรงเค้นและความเครียดของแผ่นเปลือกโลก (Rheology of the plates)

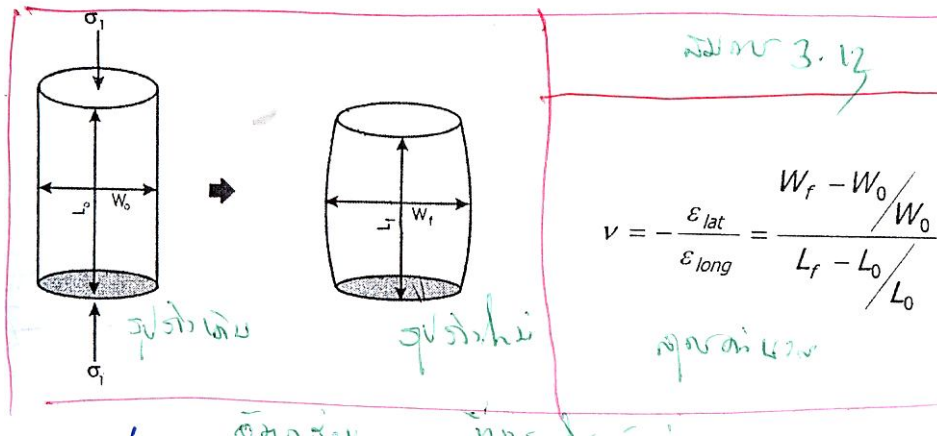
แผ่นเปลือกโลกหรืออีกชื่อเรียกว่า ธรณีภาค (lithosphere หรือ lithospheric plate) หมายถึงชั้นเปลือกโลกและบางส่วนของชั้นเนื้อโลกตอนบน(upper mantle) โดยทั่วไปเปลือกโลกแบ่งออกเป็น 3 ส่วน เปลือกโลกชั้นบน ชั้นกลาง ชั้นล่าง ซึ่งความหนาของแผ่นเปลือกโลกไม่เท่ากัน ถ้าเป็นเปลือกทวีปหนาระหว่าง 80-120 กิโลเมตร แต่ถ้าเป็นเปลือกสมุทรมักมีความหนาอยู่ระหว่าง 40-60 กิโลเมตร สมบัติของแผ่นเปลือกโลกเกี่ยวกับแรงเค้นและความเครียด โดยที่เราพบลักษณะแบบยืดหยุ่นในส่วนบนของเปลือกโลกตอนบน กึ่งยืดหยุ่นและพลาสติกอยู่ระหว่างเปลือก

โลกชั้นกลางและชั้นล่าง และพบลักษณะอ่อนนุ่มในแถบบริเวณใต้เปลือกโลกชั้นล่าง (ดูรูป 4.60) สมบัติแรงเค้นและความเครียดของแผ่นเปลือกโลกแบบอุดมคติมีอยู่ 5 รูปแบบดังนี้

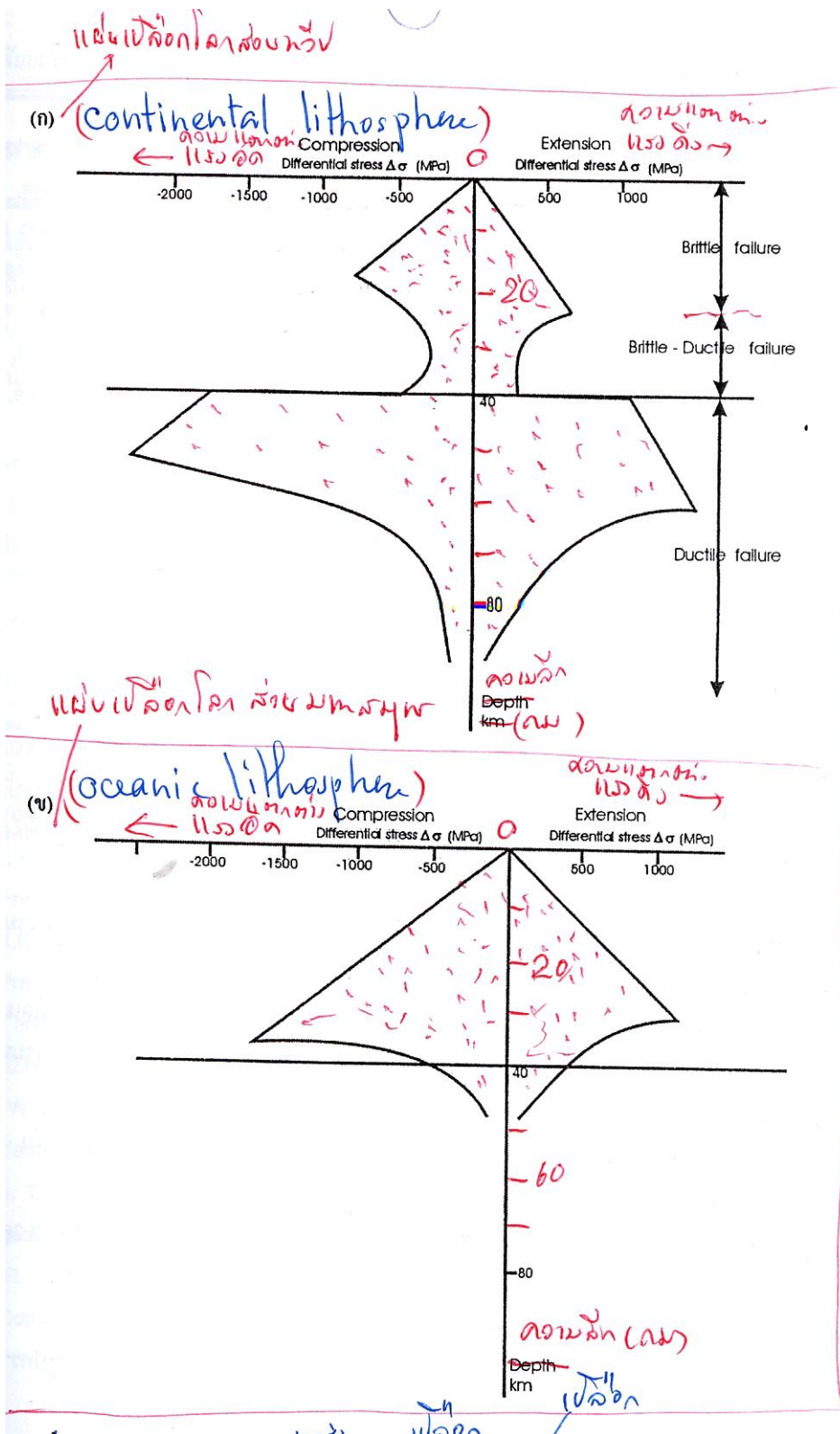
- (1) แรงทำให้ยืดหยุ่น (elastic rheology)
- (2) แรงทำให้หนืด (viscous (Newtonian) rheology) และ
- (3) การผสมผสานระหว่างแรงทั้งสองแบบ (combination of elastic/viscous rheology) โดยที่ออกแรงดึง จนเกิดความเครียดแบบยืดหยุ่น จากนั้นจะเกิดแบบหนืด
- (4) แรงเคลื่อน (Kelvin rheology) โดยที่ออกแรงดึงจนเกิดความเครียดที่เป็นแบบการเพิ่มขึ้นแบบโค้งรูป(exponential)
- (5) แรงทำให้หนืดแบบไม่เป็นเส้นตรง (Nonlinear viscous rheology) โดยที่ความเครียดที่เกิดขึ้นเป็นสัดส่วนกับกำลังของแรงเค้น

การที่เราเข้าใจถึงการเปลี่ยนสภาพหิน ลักษณะการเปลี่ยนสภาพภายใต้อุณหภูมิ ความดันที่เพิ่มขึ้นของแผ่นเปลือกโลก ทำให้เราอธิบายถึงปรากฏการณ์ที่พบเห็นเมื่อโพล์ขึ้นมาสู่ผิวโลก แผ่นเปลือกโลกจะมีการเปลี่ยนลักษณะจากยืดหยุ่นที่สามารถใช้กฎของไบเยอร์ลีมาอธิบาย และเมื่อที่ระดับลึกประมาณ 10-15 กิโลเมตร แผ่นเปลือกโลกจะมีการเปลี่ยนลักษณะในแบบกึ่งยืดหยุ่นและพลาสติก เมื่อลึกมากกว่า 15 กิโลเมตร แผ่นเปลือกโลกแสดงลักษณะแบบพลาสติกและหนืด แต่ลึกกว่านั้นจะเป็นแบบของหนืดเมื่ออยู่ในส่วนของเนื้อโลก

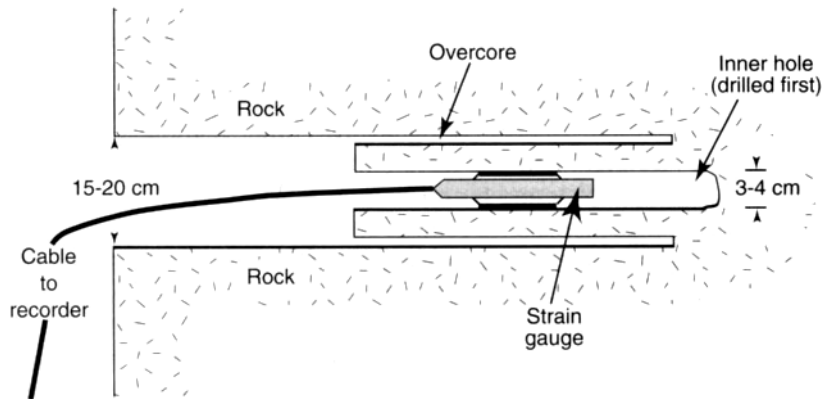
จากรูป 4.60 เราพบว่าแผ่นเปลือกโลกที่เป็นส่วนของทวีปมีความแข็งแรงมากขึ้นในบริเวณรอยต่อระหว่างชั้นเปลือกโลกและชั้นเนื้อโลก (mantle) ซึ่งรอยต่อนี้เรียกว่า **โมโฮโรวิคิก (Mohorovicic)** หรือเรียกสั้นๆ ว่า **“โมโฮ”** ค่าความแข็งแรงจึงอยู่ระหว่างช่วงเปลือกตอนกลางและตอนล่างเพราะเปลือกโลกที่แร่ควอตซ์เป็นองค์ประกอบอยู่มาก ทำให้เป็นส่วนที่ไม่แข็งแรงของเปลือกโลก เมื่อถึงชั้นเนื้อโลกตอนบนพบเป็นแร่โอลิวีน โดยที่แร่ควอตซ์เปลี่ยนเฟส (phase) ไปเป็นซิลิเกตของแร่โอลิวีนจึงทำให้มีความแข็งแรงขึ้น เมื่อลึกลงไปอีกจนถึงตอนล่างของแผ่นเปลือกโลก ความแข็งแรงกลับลดลงเนื่องจากอุณหภูมิและความดันที่เพิ่มตามความลึก ทำให้แร่โอลิวีนเปลี่ยนลักษณะเป็นแบบอ่อนนุ่ม เมื่อลึกลงไปจนถึงชั้นธรณีภาคชั้นกลาง (asthenosphere) อนึ่งในการสร้างรูปจำลองแผ่นเปลือกโลก เราอาจพูดรวมๆถึง**การเปลี่ยนลักษณะของแผ่นเปลือกโลกว่าเป็นแบบยืดหยุ่นทั้งหมด ส่วนชั้นธรณีภาคชั้นกลางเป็นชั้นที่มีการเปลี่ยนลักษณะแบบอ่อนนุ่ม**



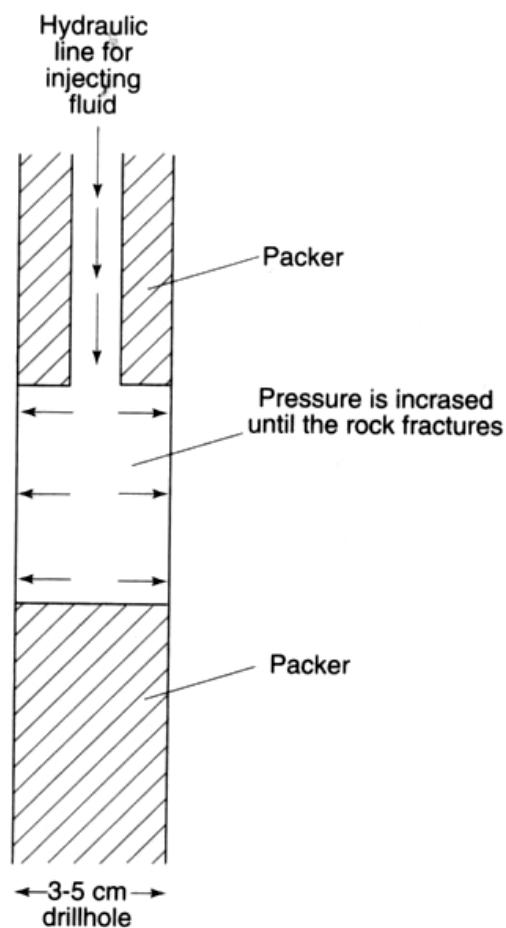
รูป 4.58 อัตราส่วนปัวซอง ที่แสดงให้เห็นว่าแรงดึงทรงกระบอกถูกกดด้วยแรง σ_1 ตามแนวยาว จนทำให้เกิดการขยายตัวหรือป่องออกด้านข้าง (ปรับปรุงจาก เพียงตา สาตวรรษ, 2546)



รูป 4.60 ลักษณะความแข็งแกร่งของแผ่นเปลือกโลกเมื่อได้รับแรงกระทำ (ก) แผ่นเปลือกทวีปที่มีสภาพถูกยืดหรือถูกดึง และ (ข) แผ่นเปลือกสมุทรที่มีสภาพถูกยืดหรือถูกดึง (เพียงตา สาตวรรษ, 2546 และ Richardson, 1996)



รูป 4.61 เทคนิคการวัดและเจาะ (overcoring) หรือโอเวอร์คอร์ริงที่ใช้วัดค่าแรงเค้น ณ แหล่ง (in situ stress) โดยตัววัดแรงเค้น (strain gauge) ที่หย่อนลงไปหลุมเจาะ (borehole) และวัดแรงเค้น ณ แหล่งได้โดยตรง โดยเราวัดไปเจาะไปโดยบันทึกขนาดและทิศทางที่เปลี่ยนแปลงจากเจาะหลุมกลมไปเป็นหลุมรี (Hatcher, 1995)

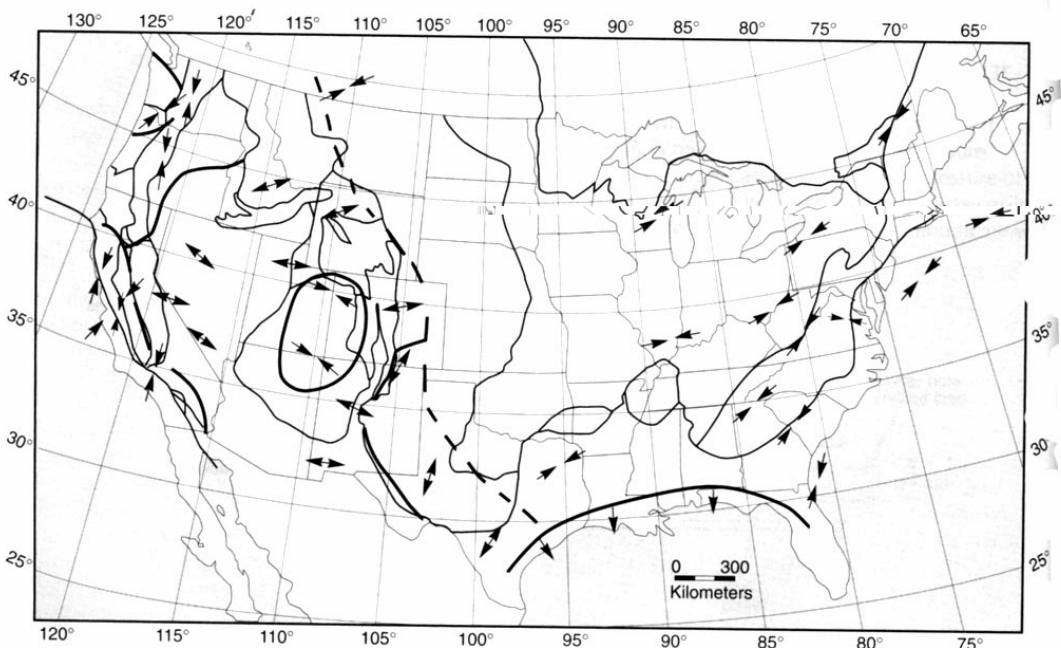


รูป 4.62 วิธีสร้างรอยแตกพลังน้ำโดยการวัดแรงเค้น ณ แหล่ง โดยการสร้างหลุมเจาะให้มีเส้นผ่าศูนย์กลางขนาดใหญ่ขึ้น โดยอาศัยหลักที่ว่าความดันที่ใช้ทำให้หินแตกเพิ่มมากขึ้นเมื่อหลุมเจาะขยายใหญ่ขึ้นในลักษณะความสัมพันธ์แบบยกกำลัง (power-law relation) (Kehle, 1964)

ตาราง 4.8 แสดงการแตกร้าวจากพลังน้ำของรอยเลื่อนซานแอนเดรียส

Well	Depth (m)	Distance San Andreas Fault (km)	Fracture Breakdown Pressure (bars)	Opening Pressure (bars)	Pore Pressure (bars)	σ_3	σ_1	σ_2	Tensile Strength (bars)	τ_{max} (bars)	Direction of Maximum Compression
1	167	4	200	69	17	73	133	45	131	30	N 4° W
1	196	4	209	74	20	77	138	53	135	31	N 1° E
2	338	4	109	63	34	74	125	91	46	26	N 43° W
2	561	4	163	130	56	150	264	152	33	57	N 20° W
2	787	4	192	124	78	183	346	213	68	82	N 19° W
3	80	2	144	24	8	23	38	18	120	8	N 20° W
3	185	2	250	73	19	56	73	43	177	6	N 23° W
4	167	4	139	47	17	51	89	45	92	19	N 83° E
4	230	4	164	85	23	83	140	62	79	29	N 14° W

(From Zoback, Tsukahara, and Hickman, *Journal of Geophysical Research*, v. 85, © 1980 by the American Geophysical Union. Used by permission.)



รูป 4.63 อาณาจักรแรงเค้นหลักในทิศทางต่างๆของประเทศสหรัฐอเมริกา ลูกศรเข้าหากันแสดงถึงแรงอัด ส่วนลูกศรออกจากกันแสดงถึงแรงดึง

รูป 3.1 แรง(force) ขนาดเท่ากันที่กระทำกับลูกบาศก์ที่มีขนาดต่างกัน หากลูกบาศก์มีการเปลี่ยนแปลงลักษณะ ผลของแรงของลูกบาศก์ขนาดเล็กจะเกิดมากกว่าลูกบาศก์ขนาดใหญ่

รูป 3.2 เวกเตอร์แรงเค้นที่กระทำบนระนาบแนวราบ (ก) กรณีความลึกคงที่ เวกเตอร์ 115 จะมีขนาดเท่ากัน (ข) กรณีความลึกเปลี่ยนไปเนื่องจากพื้นผิวไม่ราบเรียบ เวกเตอร์แรงจะไม่เท่ากัน (ดัดแปลงจาก Hatcher, 1995)

รูป 3.3 แรงเค้นแนวตั้ง(vertical stress) ที่กระทำต่อระนาบ ABCD ลาดชัน 30° จากแนวนอน บนพื้นที่ 2,184 ตารางเมตร

รูป 3.4 แรงเค้นในสามมิติ โดยมีพิกัด x, y และ z เมื่อมีแรงเค้นกระทำตรงจุด O และให้รูปลูกบาศก์เป็นแบบจิ๋ว(infinitesimal size)แต่ขยายให้เห็นชัดขึ้นเพื่อให้เห็นองค์ประกอบของเวกเตอร์ได้ชัดเจน เมื่อมีแรงเค้นเข้ามากระทำ σ_{xx} โดยที่ x ตัวแรกบอกถึงแกนที่ตั้งฉากกับทิศทางแรงเค้นส่วน x ตัวหลังบอกระนาบที่ขนานไปกับแนวแรงเค้น

รูป 3.5 วงรีความเค้นที่ประกอบด้วย σ_1 เป็นแกนความเค้นหลักค่ามากที่สุด, σ_2 เป็นแกนความเค้นหลักค่าปานกลาง และ σ_3 เป็นแกนความเค้นหลักค่าน้อยสุด (ก) วงรีความเค้นในสภาพสองมิติ (ข) วงรีในแบบสามมิติ

รูป 3.6 การคำนวณหาแรงเค้น ณ จุด P ทรงฐานหินแกรนิตรูปลูกบาศก์ที่มีขนาด $2,000 \times 800 \times 1,500$ เมตร

รูป 3.7 สภาวะที่แสดงถึงแรงเค้นแนวตั้งเนื่องจากน้ำหนักกดทับ($\sigma_z=40$ MPa) และแรงเค้นแนวนอนเนื่องจากแรงทางกระบวนการแปรสัณฐานทางตะวันออก-ตะวันตก($\sigma_x=20$ MPa)

รูป 3.8 แนวทางการคำนวณความเครียดของหินแกรนิตบนระนาบ ณ จุด P ที่ระดับ 1,500 เมตร (ก) มองทะลุเข้าไปในระนาบที่มีการแตกทำมุม 65° กับ σ_z (ข) รูปลิ่มที่มีระนาบของการแตก (ค) แนวแรงที่กระทำในแกน z และ แกน x แสดงการสมดุลของแรง

รูป 3.9 ทิศแรง σ_{xz} ที่กระทำกับระนาบเอียง XZ ด้วยมุม β และมุม α

รูป 3.10 แรงเค้นตั้งฉาก(normal stress, σ_n) และแรงเค้นเฉือน(shear stress, σ_s) ที่คำนวณจากองค์ประกอบของเวกเตอร์ σ ที่กระทำต่อระนาบ xy

รูป 3.11 ตัวอย่างการหาแรงเค้น (ก) บนระนาบเอียง (ข) บนระนาบแรงกดตั้งฉาก(normal stress) (σ_n) และ แรงเค้นเฉือน(shear stress) (σ_s) ที่คำนวณได้จากองค์ประกอบทิศแรง σ จากรูปถ้า $\sigma = 30 \text{ MPa}$, $\sigma_n = \sigma \cos 40 = 22.98 \text{ MPa}$ และ $\sigma_s = \sigma \sin 40 = 19.25 \text{ MPa}$ (ค) และ (ง) กรณีพิเศษที่ไม่มี σ_s หรือ $\sigma_s = 0 \text{ MPa}$

รูป 3.12 ลักษณะแรงคั้นที่เข้าหาจุดกึ่งกลางในแบบรูปวงรีโดยมี $\sigma_z = 40 \text{ MPa}$ และ $\sigma_x = 20 \text{ MPa}$ เส้นที่กำกับด้วยอักษร a ถึง s และอักษร b' ถึง r' เป็นแนวระนาบในทุกๆ 5° เมื่อแรงเค้น=stress (σ), normal stress(σ_n) และ shear stress(σ_s) คำนวณได้ดังแสดงในรูปพบการเปลี่ยนแปลงอย่างเป็นระบบ (แหล่งที่มา: Figure 3.17 โดย Davis and Reynolds, 1996)

รูป 3.13 การสาธิตที่แสดงว่าแรงเค้นเฉือน(shear stress) ไม่เกิดขึ้นในสภาวะของแรงคั้นน้ำ (ก) เมื่ออัดแรงเค้นความคั้นน้ำที่เข้ามาสู่แกน x และ z ด้วยขนาด 12 MPa (ข) แรงเค้นที่สมมูล ณ จุด P' ซึ่งทำให้ S_z มีค่า 8.91 MPa และ S_x มีค่า 8.02 MPa (ค) แรงเค้นอันเดียวที่มีองค์ประกอบของ S_x และ S_z จะมีขนาด 12 MPa และตั้งฉากกับระนาบที่แรงกระทำ จึงไม่ปรากฏแรงเค้นเฉือน (คัดแปลงจาก Davis และ Reynolds, 1996)

รูป 3.14 ลักษณะแรงคั้นที่เข้าหาจุดกึ่งกลางในแบบเป็นวงกลมเมื่อ $\sigma_z = 12 \text{ MPa}$ และ $\sigma_x = 12 \text{ MPa}$ ของความคั้นน้ำ(hydrostatic stress) เส้นที่กำกับด้วย a จนถึง s และ b' ถึง r' เป็นแนวของระนาบทุกๆ 5° stress (σ), normal stress(σ_n) และ shear stress(σ_s) คำนวณได้ดังแสดงในรูปเปรียบเทียบกับรูป 3.7 (แหล่งที่มา: Figure 3.22A โดย Davis and Reynolds, 1996)

รูป 3.15 วงรีแรงเค้นในแกนมิติและสามมิติของความคั้นน้ำ(hydrostatic stress)

รูป 3.16 การหาแรงเค้นด้วยวงกลมมอร์(ก) กำหนดวงกลมมอร์ด้วย σ_1 และ σ_3 บนแกน x สร้างวงกลม (ข) หา σ_n และ σ_s ของระนาบที่ต้องการทราบในมุม $\theta = -30^\circ$ และ (ค) หา σ_n และ σ_s ของระนาบที่ต้องการทราบในมุม $\theta = 70^\circ$

รูป 3.17 (ก) ตัวอย่างวงกลมมอร์แสดงการหาแรงเค้นเฉือน(σ_s หรือ ∞) และแรงเค้นตั้งฉาก(σ_n) ของตัวอย่างในรูป 3.8 ในรูปได้แรงเค้นเฉือน = 8 MPa และแรงเค้นตั้งฉาก = 35 MPa

รูป 3.17 (ข) ตัวอย่างวงกลมมอร์แสดงการหาแรงเค้นเฉือน และแรงเค้นตั้งฉาก ของแท่งตัวอย่าง หินเมื่อออกแรงกดให้แตก โดยวัดมุม θ วัดเทียบกับ σ_1 ซึ่งกำหนดให้มุมที่วัดทวนเข็มนาฬิกาเป็นบวก หรือตามเข็มนาฬิกา เมื่อเป็นบวกจะวัดแกนบวก แต่ถ้าเป็นลบจะวัดแกนลบ

รูป 3.18 การวัดมุมและการกำหนดค่ามุม(θ) เทียบกับ σ_1 (ข) เทียบกับ σ_3 สมการการหาค่าแรงเค้น ตั้งฉากและความเค้นเฉือน หากพิจารณามุม θ เทียบกับ σ_1 ในแนวตั้งดังรูป ก ได้เครื่องหมายเป็น ลบในระหว่างภาคแรกและภาคที่สอง หากพิจารณามุม θ เทียบกับแกนนอน(ข) และได้ เครื่องหมายเป็นบวกในระหว่างภาคแรกและภาคที่สอง และพล็อตมุมจากต่างกัน

รูป 3.19 องค์ประกอบวงกลมมอร์ที่สำคัญๆ ได้แก่ ค่าเส้นผ่าศูนย์กลางเป็นความแตกต่างของแรง เค้น ดังนั้นถ้าค่าความแตกต่างมากจะเกิดการบิดเบี้ยวได้มาก จุดศูนย์กลางของวงกลมเป็นค่าเฉลี่ยเป็น ตัวแทนของแรงเค้นในน้ำ (hydrostatic stress) และค่าของรัศมีของวงกลมแทนแรงเค้นอื่นที่ไม่ใช่ จากน้ำ(nonhydrostatic stress) ซึ่งเป็นค่าที่ทำให้เกิดการเปลี่ยนนั่นเอง

รูป 3.20 รูปแบบแรงเค้นที่อธิบายได้จากวงกลมมอร์(ก) ภายใต้แรงดันน้ำ (Hydrostatic stress) และ (ข) ภายใต้แรงแกนเดียว(Uniaxial stress)(ค) ภายใต้ระนาบแกน(Axial stress) และ (ง) ภายใต้แรง 3 แกน(Triaxial stress)

รูป 3.21 การวิบัติของหินจากการทดสอบความแข็งแรง ภาพจากซ้ายไปขวาเป็นภาพของการวิบัติ แบบเป็นระนาบของหินชนวน ภาพกลางเป็นภาพการวิบัติแบบรอยเลื่อนตัดกัน(conjugate faults) ในหินทราย และภาพการวิบัติแบบพลาสติกในหินปูน (Davis and Reynolds, 1996)

รูป 3.22 ชนิดการทดสอบความแข็งแรงของหิน (ก) การทดสอบแบบกดอัดตามแนวแกนเดียว (axial compression) (ข) การทดสอบแบบยืดตามแนวแกนเดียว(axial extension) (ค) การทดสอบ แบบดึง(tensile test)

รูป 3.23 (ก) ความสัมพันธ์ของแรงเค้นและความเครียดตามกฎของฮุก ค่าความลาดชันของกราฟ เป็นค่าโมดูลัสของยัง (ข) ความสัมพันธ์ของความเค้นและความเครียดของวัตถุที่ถูกความเค้นกระทำ เกินขีดจำกัดของคุณสมบัติยืดหยุ่นและเกิดความเครียดแบบพลาสติกแบบสมบูรณ์(perfect plastic) (ค) และ (ง) ความสัมพันธ์ของความเค้นและความเครียดของวัตถุที่ถูกความเค้นกระทำเกินขีดจำกัด ของคุณสมบัติยืดหยุ่นและเกิดความเครียดแบบพลาสติกไม่สมบูรณ์ก่อนที่จะเกิดการวิบัติ

รูป 3.24 ตัวอย่างของหินปูนที่ถูกกดแบบการทดสอบแบบกดอัดตามแนวแกนเดียว(Davis and Reynolds, 1996)

รูป 3.25 (ก) กราฟจำลองความเค้นและความเครียดของหิน เมื่อทดสอบที่ความดันรอบข้างปริมาณไม่เท่ากัน (ข) กราฟจำลองความเค้นและความเครียดของหิน เมื่อทดสอบในสถานะที่มีอุณหภูมิ ในขณะที่ทดสอบไม่เท่ากัน (ค) กราฟความเค้นและความเครียดของหิน เมื่อทดสอบด้วยการยอมให้มีความดันน้ำเกิดขึ้นที่แท่งตัวอย่างในปริมาณที่ไม่เท่ากัน (ง) กราฟความเค้นและความเครียดของหิน เมื่อทดสอบที่กำหนดปริมาณอัตราการเกิดความเครียดปริมาณไม่เท่ากัน

รูป 3.26 กราฟแรงเครียดและเวลาของการคืบคลานสามช่วง ได้แก่ (1) ช่วงปฐมภูมิ(primary creep) (2) ช่วงทุติยภูมิ(secondary (plastic) creep) และ (3) ช่วงไตรภูมิ(tertiary(viscous)creep)

รูป 3.27 รูปจำลองทางอุดมคติของคุณสมบัติของหิน และกราฟของความเค้นและความเครียด หรือความเครียดและเวลาเมื่อมีการเปลี่ยนแปลงลักษณะ(ภาพปรับปรุงต่อจาก Randy M. Richardson, Lecture note in Geodynamics, University of Arizona)

รูป 3.28 แสดงนิยามของปัวซองเรโซ แห่งหินทรงกระบอกถูกกดด้วย σ_1 ตามแนวยาวจนทำให้เกิดการขยายออกด้านข้าง

รูป 3.29 ลักษณะการไหลของลาวาก่อนการเย็นตัว และหลังการเย็นตัว พบลักษณะของช่องว่างจากผลของการเย็นตัว

รูป 3.30 ลักษณะความแข็งแรงของแผ่นโลก (ก) แผ่นโลกของทวีปที่มีสภาพแบบถูกยึดหรือถูกดึง (ข) แผ่นโลกของมหาสมุทรที่มีสภาพแบบถูกยึดหรือถูกดึง (ภาพปรับปรุงจาก Randy M. Richardson, 1996), Lecture note in Geodynamics, University of Arizona)